

六、根据上面的 Al-Zn 相图，将纯 Al 和 Zn 形成扩散偶，在 600K 长时间保温，示意画出扩散层中 $x(\text{Zn})$ 随扩散距离 d 的变化曲线及相应出现的物相。(10 分)

七、一个多晶体试样经变形后，在再结晶温度以上退火，请画出位错密度、晶粒（不包括亚晶）平均尺寸、强度、塑性以及电阻率随退火时间变化的示意图（把各种变化分别画一个图，注意它们的对应关系），并对其作出简单说明。

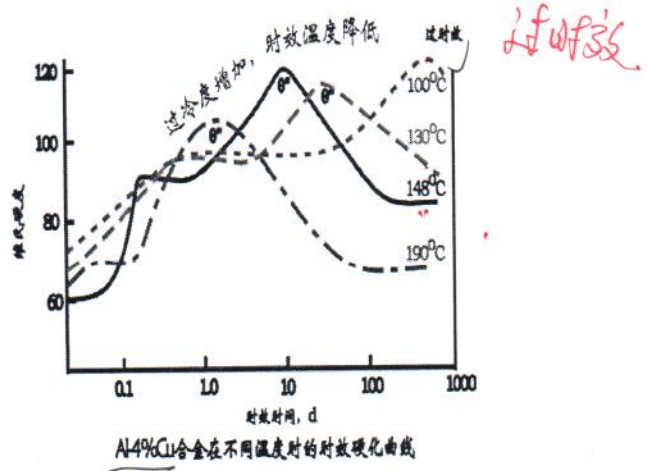
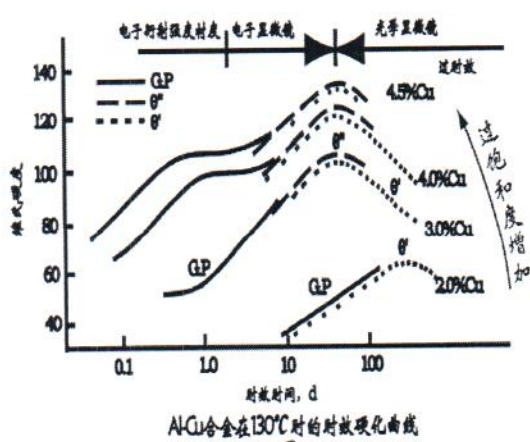
(10 分)

八、叙述金属或合金塑性变形的主要方式，并分别写出 Al 和 Mg 合金的滑移系，同时说明每种合金经拉伸变形后的显微组织形貌特征及产生原因。(10 分)

九、共析转变是典型的扩散型固态转变，指出其转变的驱动力和阻力，并讨论共析成分合金转变完成后可能出现的典型组织形态。(10 分)

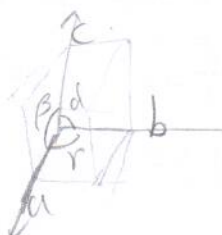
过时效阶段的组织和组织与脱溶相的帮助表现出的组织结果

十、结合下面给出的 Al-Cu 合金时效硬化曲线，讨论在不同成分和热处理条件下可能出现的脱溶贯序，各阶段脱溶相的大小、形状和分布特点、与母相的界面关系及强化效果。(10 分)





2012

1. 三斜 $a \neq b \neq c$ $\alpha \neq \beta \neq \gamma \neq 90^\circ$ 单斜 $a \neq b \neq c$ $\alpha = \gamma = 90^\circ \neq \beta$ 正交 $a \neq b \neq c$ $\alpha = \beta = \gamma = 90^\circ$ 立方 $a = b = c$ $\alpha = \beta = \gamma = 90^\circ$ 四方 $a \neq b \neq c$ $\alpha = \beta = \gamma = 90^\circ$ 六方 $a_1 = a_2 = a_3 \neq c$ $\alpha = \beta = 90^\circ \gamma = 120^\circ$ 菱方 $a \neq b = c$ $\alpha = \beta \neq 90^\circ$ 

2. 滑移分切应力：晶体的滑移是在切应力作用下进行的，但其中许多滑移系并非同时发生滑移，而只有当外力达到某一滑移值时，该滑移系可以触发滑移。该分切应力称为临界分切应力，该分切应力与无关，它是一个比例常数与材料本身性质有关，与外力取向无关。

3. 一级相变：能够引起化学成分和结构变化的相变，新旧两相化学势相等，金属但一级偏微熵不等。相变时会有体积、熵的突变，晶体混乱度增加，一级相变都属于一级相变。

二级相变除一级相变之外有其它相变，新旧两相化学势相等，一级偏微熵也相等但是二级偏微熵不等，相变中熵增加焓变对于铁石英体之间的转变。

二级相变无体积变化和相变潜热系数相等但一级有。

$$\text{一级 } \mu^d = \mu^e \quad \left(\frac{\partial \mu^d}{\partial T}\right)_P \neq \left(\frac{\partial \mu^e}{\partial T}\right)_P, \quad \left(\frac{\partial \mu^d}{\partial P}\right)_T \neq \left(\frac{\partial \mu^e}{\partial P}\right)_T$$

4. 对于 $\alpha < 2$ (粗糙) 在正温度梯度下生长形呈平面状，界面液体相等温面平行，在负温度梯度下形成树枝晶。

对于 $\alpha > 2$ (光滑) 在正温度梯度下其断开结晶所状组成阶段的界面是晶体的一次晶面，在负温度梯度下也会出现树枝晶但不明显。

α 接近 2 时

5. 再结晶温度：在规定时间内完成再结晶的最低温度，可用重结晶法测定，以显微镜中出现第一颗再结晶晶核所对应温度称为再结晶温度。工业上常以经大变形量(大于 70%)的金属经 1 小时加热退火能完成再结晶(大于 95%)时对应的温度称再结晶温度。

2012-1

二. 錄錄體 $a = 0.3615\text{nm}$

圖

1. Cu 面心立方 配位數 12.

2. Cu 半徑 $\frac{\sqrt{2}}{4}a = r$ 密度 $\frac{nV}{V} = \frac{4 \times r^3}{a^3} = \frac{4 \cdot (\frac{\sqrt{2}}{4}a)^3}{a^3} = 0.74$.

四面体间隙 0.225 八面体间隙 0.414.

3. $d = \frac{0.3615}{\sqrt{1^2 + 1^2}} \quad r + r = \frac{\sqrt{3}}{4} \quad r/r = \frac{\sqrt{3}}{2}$



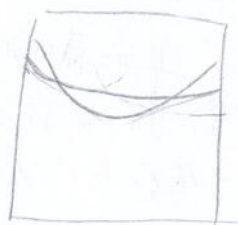
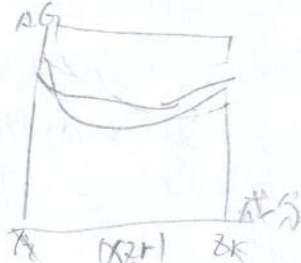
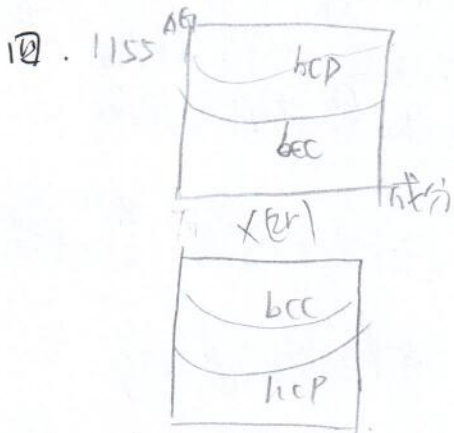
$$\text{致密度} \rho = \frac{4\pi r^2 \cdot 2}{\frac{1}{2}(\sqrt{2}a)^2 \cdot \sin 60^\circ} = \frac{8\pi \cdot (\frac{\sqrt{2}}{4}a)^2}{\frac{\sqrt{3}}{2}a^2} = \frac{2\sqrt{3}\pi}{3}$$

2.5

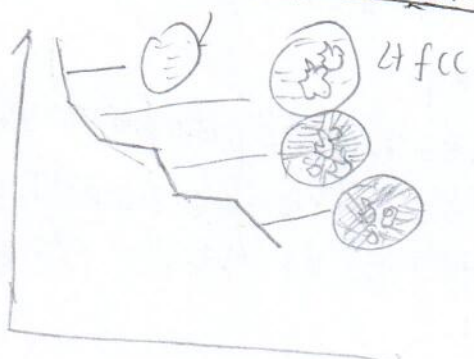
三. 1. NaCl 面心立方. 銀離子 Cl^- 形成的八面体间隙

2. CaF_2 面心立方 Ca^{2+} 位于及離子 F^- 之間的八面体间隙.

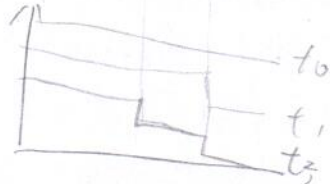
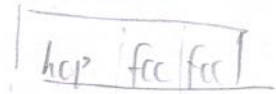
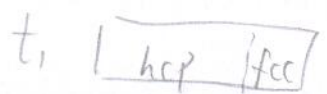
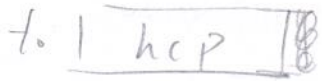
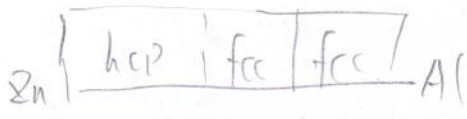
3. CuTiO_3 簡單立方. Cu^{2+} 及 O^{2-} 构成面心立方 Ti^{4+} 间隙



五. $\text{l} \rightarrow \text{Al} + \text{Zn}$ $\xrightarrow{\text{fcc+hcp}} 654^\circ \text{ liquid} \xrightarrow{0.87} \text{fcc}_{0.67} + \text{hcp}_{0.97}$
 $\xrightarrow{\text{fcc}} \text{Al} \rightarrow \text{Zn} + \text{Al}_{2}\text{Zn}_3 \xrightarrow{550} \text{fcc}_{0.16} + \text{hcp}_{0.98}$



2012-2

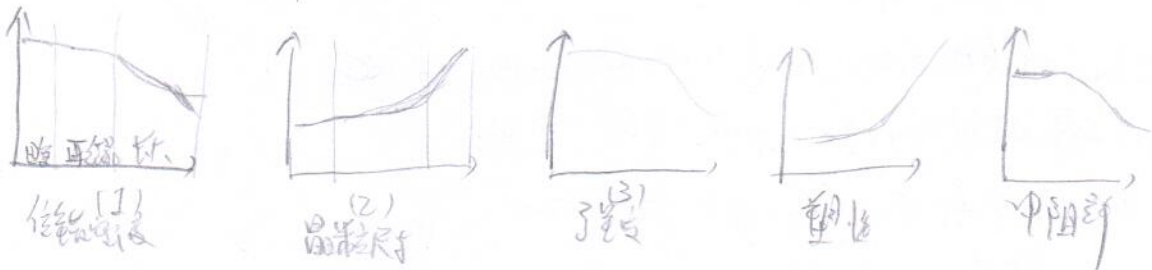


t. (1) 位错密度在固溶阶段有所减小，但幅度不大。仍保持较高的位错密度，直至再结晶
之后，位错密度显著降低。

(2) 在固溶阶段，由于不发生大角度晶界向迁移，原来的形变孪生和位错带形成的状态（纤维状或扁平状）通过再结晶之后，在没有变形的区域形成无畸变的亲生孪生轴，伴随着消耗周围形变晶粒而长大，最后在母晶粒与新生成的晶粒互相侵食而长大。

(3) (4) 由于固溶阶段位错密度下降不大，强度下降不大，而在固溶阶段位错密度降低。对比强度明显下降。同时，塑性在固溶阶段并不在再结晶阶段明显上升。

(5) 由图可知，由(1)起，强度增加，直至电子显微镜下观察到孪生带，在固溶阶段强度已有所下降，孪生率下降。再结晶阶段，孪生率继续下降，强度明显下降。



八 Al fcc $\langle 111 \rangle$ $\langle 110 \rangle$

主要方式：滑移切变，滑移是指晶体的两个部分之间沿着滑移面而相对滑移的切变，这种切变不改变晶体的晶格类型，也不影响晶体取向，只是在晶体表面留下切变的阶段痕迹。孪生：晶体在切变作用下，一部分相对另一部分沿孪生面和孪生轴发生相对的切变，切变量是原子间距离的分数，这种切变不改变晶体类型的类型，但改变晶体取向，使对称切变是镜面对称的取向时切变过程。

Al fcc $\{111\} <110\}$

孪生 bcc $\{112\} \times \{111\}$

Mg hcp $\{10\bar{1}0\} \times \{11\bar{2}0\}, \{10\bar{1}\bar{1}\} \times \{11\bar{2}0\}$ fcc $\{111\} \times \{112\}$

在Mg合金中常形成滑移带或滑移线，原因：晶体受到拉伸时首先在表面产生
对称性垂直滑移带

-一些分布较密的细微的小颗粒和小块起着微滑移带而形成一些较大的颗粒分布
不出的，每一台阶相等于一个滑移带

Mg合金中会出现孪晶，原因：在密集六方金属中由于称对称滑移带少，滑移过
程难以进行往往促使孪晶发生，使得切变区的体积减小而使体积减小从而
易于形成孪晶

①共析转变是一种固态转变，因此驱动力是化学能的改变。因为一碳素钢中固溶相之间每
产生一个碳原子的增加，另一方面碳与富碳相之间由于此差或其他原因而导
致碳能的增加。

②典型的组织形式：共析转变后的合金组织形式是为了适应固溶体的冷却
和组织转变克服相变阻力而表现出的综合结果，既是由变质和界面分离两种形
式来抑制组织的混乱。当变性能作为阻力作为主要作用时，新相就成为
饼状或片状；当界面能作为相变阻力的主要因素时新相以球状、粒状为
主。当两者作用相近，新相成纤维状机会较大，对扩散方法的研究
来说，新相的组织形式还受冷却速率的影响。

+ 1. 在 130°C 时 $\text{W}(\text{Cu}) 2.0\%$ 时 $\text{Al}-\text{Cu}$ GP区 $\rightarrow \theta'$

$\text{W}(\text{Cu}) 3.0\%$ 时 $\text{Al}-\text{Cu}$ 合金 GP区 $\rightarrow \theta'' \rightarrow \theta'$

② $\text{W}(\text{Cu}) 4\% \text{ Al-Cu}$ 合金 GP区 $\rightarrow \theta'' \rightarrow \theta'$
4.5.

2. $\text{Cu} 4\% \text{ Al-Cu}$ 钢 100°C 时 GP区 $\rightarrow \theta'$ 和

$130^{\circ}\text{C}/148^{\circ}\text{C}$ 时 GP区 $\rightarrow \theta''_{\text{fill}} \rightarrow \theta'_{\text{fill}}$

190°C 时 $\theta''_{\text{fill}} \rightarrow \theta'_{\text{fill}}$

GP区是 Cu 原子富集区，尺寸小，光学显微镜下无法观察到形状的分布。基体中，Cu
没有完全脱溶，且分布不均匀； θ'' 相的形态结构更细小，尺寸比 GP 区大，在光学显
微镜下仍无法观察，均匀分布在基体中。沿基体 $\{110\}$ 滑移带具有共格界面，是主要的
强化相。其相的形态为亚晶粒相，尺寸大于 θ' 相。光学显微镜下观察到形状分布
不大均匀，沿基体 $\{100\}$ 面板片具有共格界面。

当光强化时存在时效区变化曲线，石英的随时间变化，先变大，达到峰值后逐渐减小
石英在邵氏出胶时达到峰值后逐渐降低直至在邵氏出胶时达到第一个台阶，持续
延长时间，由于“相”的析出，石英再次升高，对于平坦区曲线的第二个峰值，但是
延长的时效时间，使“相”溶解 ~~和~~ 形成，石英下降，导致许吸反残余
邵氏出了老化速度大于GP区，~~和~~ 光强化之后量

总结：① “相”是半晶体系统，强化之后量大，因此老化速度是GP区的数倍
量大随着“相”的析出，邵氏升至后增大，石英越来越离

虽然保护其拉伸率一定弹性回复



北京科技大学

2011 年硕士学位研究生入学考试试题

试题编号: 814 试题名称: 材料科学基础 (共 3 页)

适用专业: 材料科学与工程

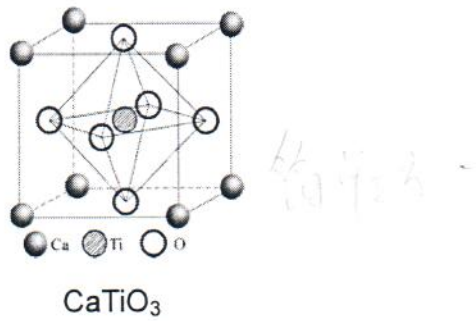
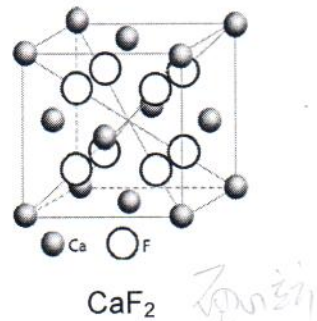
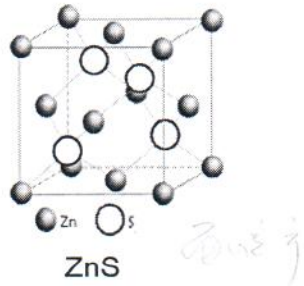
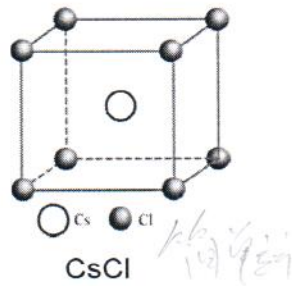
说明: 所有答案必须写在答题纸上, 做在试题或草稿纸上无效。

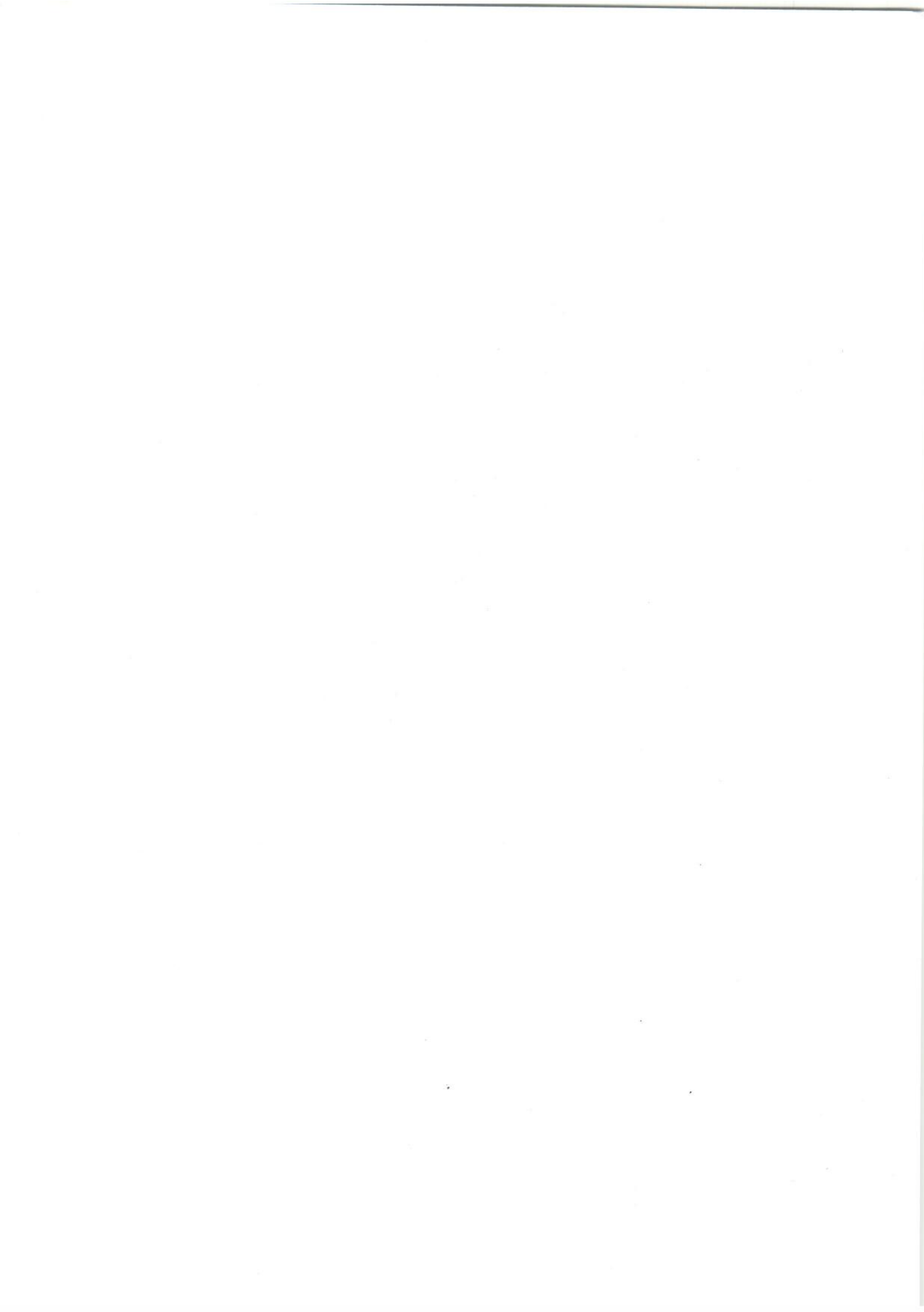
一、名词解释 (5 分/题, 共 40 分)

- 1) 空间点阵
- 2) 临界分切应力
- 3) 滑移系
- 4) 堆垛层错
- 5) 调幅分解
- 6) 脱溶
- 7) 上坡扩散
- 8) 再结晶温度

二、分别给出下列离子晶体的布拉菲点阵类型和下面晶胞中正、负离子的个数。

(下图中的点阵参数均为 $a=b=c$, $\alpha=\beta=\gamma=90^\circ$) (15 分)





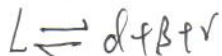
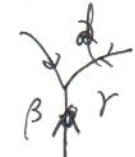
三、写出面心立方结构和体心立方结构金属的密排面(或相对密排面)的晶面指数、画出密排面(或相对密排面)上原子的具体排列情况，并在晶胞中标出所有八面体间隙的位置。(15分)

四、组元A和组元B的熔点分别为1000℃和700℃，室温时B在A的固溶体 α 中的固溶度是 $x_B=0.05$ ，A在B的固溶体 β 中的固溶度是 $x_A=0.10$ ；在700℃时有一个三相平衡，在此温度 α 固溶体的成分是 $x_B=0.1$ ，一个成分为 $x_B=0.30$ 的合金在稍高于700℃时存在50% α 相和50%液相，在稍低于700℃时则存在液相和化合物 A_3B 两相；在500℃时存在另一个三相平衡，液相($x_B=0.65$)分解为化合物 A_3B 和 β 固溶体($x_B=0.85$)两相。试构造一个合理的A-B二元相图。(15分)

$$X_B = 0.3$$

五、根据下面的Al-Cr-Si体系的局部液相面投影图，写出该图中的四相不变反应式。(15分)(引自J. Phase Equil. Diff. 2009, 30(5):462-479)

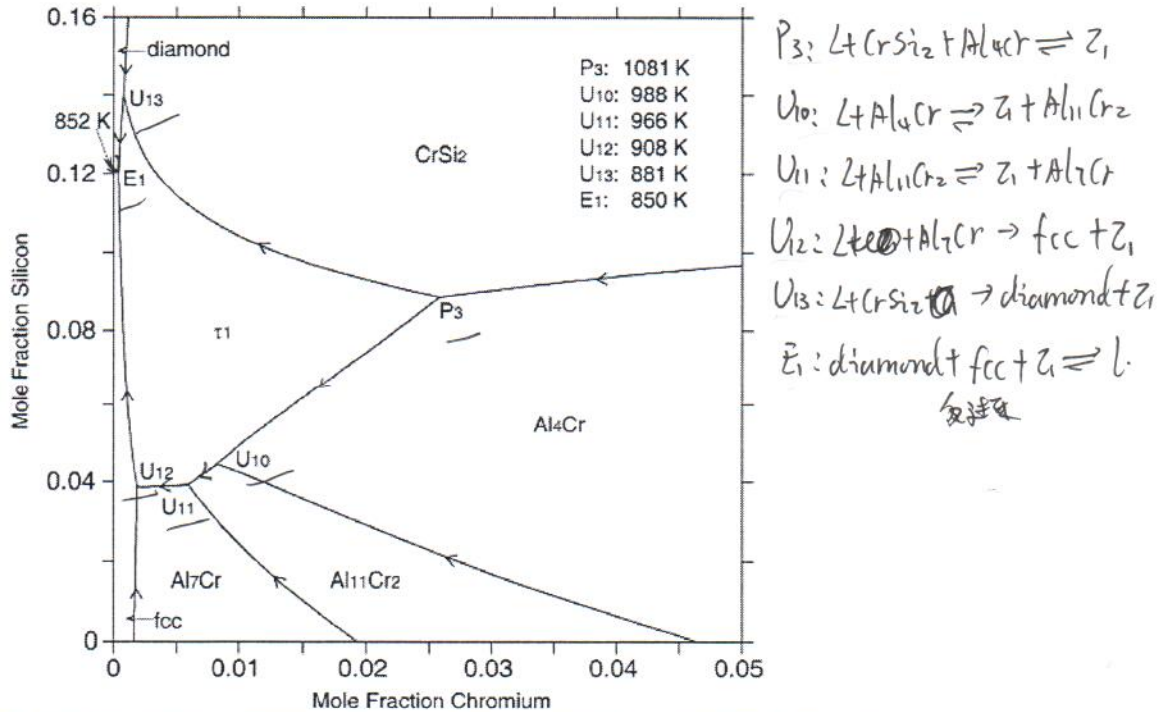
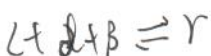
① 三相平衡指针 -&



② 四相平衡指针 -& -& -&



③ -& -& -& -& -&



六、按热力学参数变化特征，固态相变可以分为一级相变和二级相变两类。阐述发生一级相变和二级相变时热力学参数的变化特征及相关性质的变化特点。(10分)



七、从热力学（能量）角度分析纯金属在凝固过程中均匀形核时的临界晶核形成过程。（10分）

八、简述金属和合金回复与再结晶概念，并讨论在回复与再结晶过程中组织与性能的变化情况。（10分）

九、讨论点缺陷与位错的交互作用及对位错运动的影响。这种交互作用在低碳钢应力-应变曲线和材料加工过程中会出现什么现象？有何防止方法？（10分）

十、液体冷却时形成晶体或非晶玻璃体的内部原因和外部条件是什么？解释为什么金属材料凝固时大多形成晶体，而陶瓷材料易于形成非晶玻璃体？（10分）

内部原因：速度 外部原因：冷却速度。

当冷却速度足够快，原则上任何液体均可形成玻璃体。

特别是对于结构较复杂的材料，融化时速度很大，即液体间的摩擦力大或粘滞阻力等过大的物质，冷却时扩散困难，则液体的凝固过程很难进行，形成过冷液体。随温度下降过冷液体程度增大，原子的运动速度更加困难，当温度下降至某一临界温度即固化为玻璃体。

对于金属材料，晶体结构比较简单，融化后扩散程度比较小，冷却时很难阻止结晶过程的产生，因此大多数金属一般为晶体。

陶瓷材料结构较复杂，基本结构单元是 SiO_4^4- 四面体几乎不发生迁移，所以陶瓷材料易形成非晶玻璃体。



2014

1. 空间点阵：为便于分析研究晶体质点的排列规律，可将实际晶体抽象为点阵。空间点阵的几何学称为阵点，这些点在空间中呈周期性规律排列并具有完全相同的周围环境。这种由它们在三维空间规则排列所形成的空间点阵。

2. 临界剪切应力：晶体的滑移是在切应力作用下进行的，但其中许多滑移系并非同时产生而只有当剪切在某一滑移系中的剪切应力达到某一临界值时该滑移系才可首先发生滑移。 $\tau_c = 6s \sin \phi \text{ mPa}$ $s = \frac{F}{A} \text{ mPa}$ F 为剪切力。

3. 滑移系：一个滑移面和此滑移面上的一个滑移方向称一个滑移系。一个滑移系表示晶体在进行滑移时可能采取的一个空间取向。

4. 推挤层错：实际晶体结构中，密排面上的正常堆垛顺序有可能遭到破坏或错排，称为推挤层错，简称层错。

5. 调幅分解：分解时无形核阶段，过饱和固溶体在一定条件下通过自身成分涨落，由上坡扩散使溶质成分不断增加，分解成结构与母相不同的，但成分不同的两种固溶体的脱溶过程，无需开裂，而是通过溶质原子的上坡扩散形成红色带而完成的。

6. 脱溶：当固溶体因温度变化等原因而在呈过饱和状态时，将自发地分解过程，其所含的溶质原子通过扩散而形成新相析出，此过程称为脱溶。

7. 上坡扩散：指物质自发地从浓度低高浓度扩散的现象。

扩散驱动力实质上是化学位梯度，只是大多数时候化学梯度与浓度梯度方向相同，表现为下坡扩散，当两者不一致时表现为上坡扩散。

8. 再结晶温度：冷变形金属在规定时间内完成再结晶的最低温度，它可用金相法或硬度法测定，即显微镜中出现第一张新晶粒时的温度或从硬度下降 50% 所对应的温度。定义为再结晶温度。工业上以经大变形量（~70% 以上）的冷变形金属，经加热能完全再结晶 ($\eta R \geq 95\%$) 时对应的温度称为再结晶温度。

二、
NaCl 立方晶系 面心立方点阵。 Na^+ 位于 Cl^- 形成的八面体空隙中 ($\frac{r_{\text{Na}^+}}{r_{\text{Cl}^-}} = 0.525$)。 Na^+ 位于 Cl^- 形成的八面体空隙中， NaCl 结构可看成两个面心立方点阵。一个钠离子和一个氯离子相互在棱边上穿插而成，其中每个钠离子被 6 个氯离子包围，反过来氯离子也被等数量的氯离子包围。每个晶胞的离子数为 8。 $\text{Na}^+ 4f \text{ Cl}^- 4f$

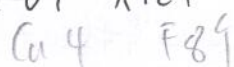
CsCl 立方晶系 简单立方点阵。 $\frac{Cs^+}{Cl^-} = 0.933$ Cl^- 离子构成正方体。 Cs^+ 在其中心， Cs^+ 和 Cl^- 配位数均为 8，通过共面连接。一个晶胞内含 Cs^+ 和 Cl^- 各一个。 CsBr 、 CsI 也是。

ZnS 立方晶系 面心立方点阵。 S^{2-} 位于立方晶胞的顶角于面心，构成一套完整的面心立方晶胞，而 Zn^{2+} 也构成一套面心立方点阵，在体对角线处互相穿插。

Zn^{2+} 配位数 4 S^{2-} 配位数也是 4。正负离子数均为 4，负离子数为 4。

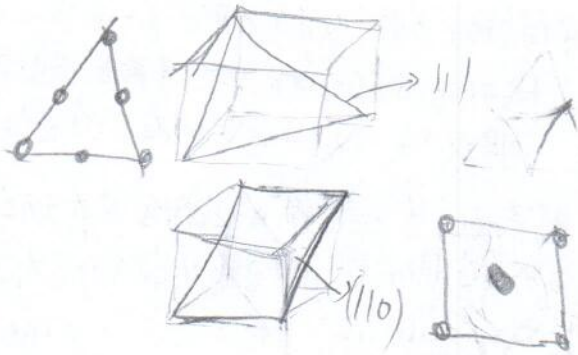
CuF_2 立方晶系 面心立方点阵。正负离子数 1:2 正 6 个 负 12 个

CaTiO_3 理想情况立方晶系 $\text{Ca}^{1/2} \text{ Ti}^{1/2} \text{ O}_3$

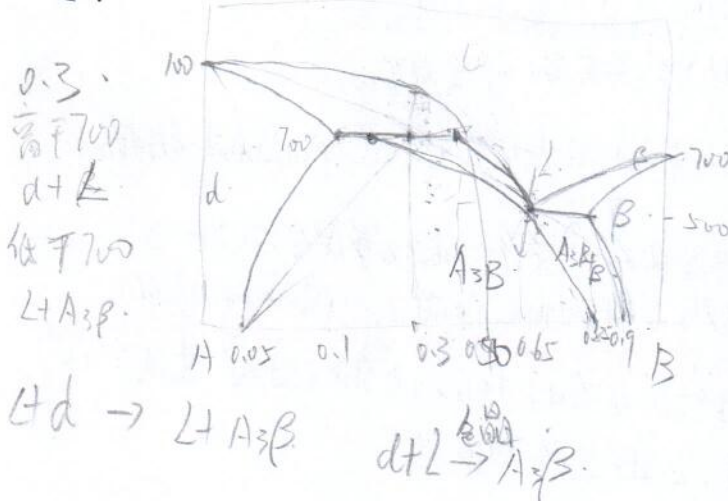


三、面壁方 密斜面 31115 密斜面 31107

角川書店 電子辞書 1105 向<1117



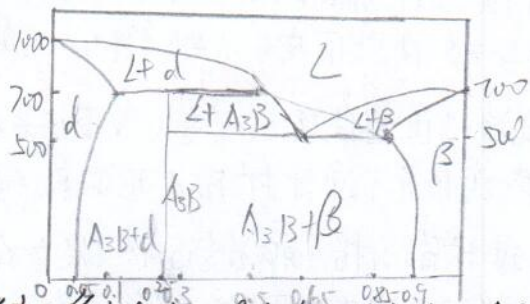
10



$$\frac{1}{4} \quad \frac{1}{4} \quad \frac{3}{4}$$

体的运动而使体液运动

$$\frac{1}{4} \quad \frac{3}{4} \quad \frac{1}{4} \quad \frac{1}{4}$$



五

-级相变：类似于雨林化带势相变，但一下偏移幅度不等的转变，具体表现为植被引起气候成分技术类型变化的圈层转变，伴随体积分子质量的释义，所有一级相变均需经形成阶段。

$$u^d = u^B \quad \left(\frac{\partial u^d}{\partial \tau} \right)_P \neq \left(\frac{\partial u^B}{\partial \tau} \right)_P \quad \left(\frac{\partial u^d}{\partial p} \right)_T \neq \left(\frac{\partial u^B}{\partial p} \right)_T$$

由 $\frac{\partial \bar{P}}{\partial T} = -S$ 和 $\frac{\partial \bar{U}}{\partial P} = V$ 表明：液体相变伴随熵变和体积改变。

的转变和石墨性转变有序转变

七 晶体熔化后的液体结构为长程无序，短程有序但不长程。由于液体中原子热运动较为强烈，在其平衡位置停留时间甚短，故这种局部有序原子集团叫做活区，称又叫活核或起伏，当温度降到熔点时这种短程局部有序原子集团就可能成为新的形核的晶胚，其中原子呈次晶高的规则排列，其外层原子在液体中紊乱排列的原子相接触而构成界面。因此当过冷液体形成晶胚时一方面由于在这个区域中原子由游离的聚集状态为晶态相变，此为相变驱动力。

另一方面，晶片还构成集气的表面，又会引起己表面的能的增加，构成相变膜了。

假設晶胞為球形半徑為 r 液液體中出現一個角隅
 $\frac{4}{3}\pi r^3 \rho = \frac{2\pi r^2}{3} \cdot 4\pi r^3 \rho \Rightarrow r = \frac{2mAT}{3\pi \rho}$

一个误差下， 10^4 和 6^4 的差值即为 π 的新数有一个最佳值。

对应 r^* 为临界形成核半径 $r > r^*$ 时 $\Delta G < 0$ 则起核成形变化.

11

2011-2

$$\frac{dG_1}{dr} = 4\pi r^2 \Delta G_{1r} + 8\pi r^6 = 0$$

$$r^* = \frac{26}{51.1}$$

① 固溶：指新的元素杂质在出现之前所产生的是结构和性能恶化的阶段；而
固溶：指出现有的元素杂质会逐步取代原有杂质的过程
晶粒长大：指再结晶结束之后晶粒的继续生长

① 固溶再结晶过程：随退火温度时间延长或温度升高，形变组织中位错密度形成亚晶界，亚晶粒长大。固溶阶段主要是长条状的运动，不发生角度滑移等过程，所以晶粒的形状大小，仍与变形前开了系相仿；再结晶阶段首先是晶粒度大的区域产生新的无时效变形核的形成，然后小晶步消耗周围的形变晶体长大，直至形变组织完全转变为颗粒的无时效等轴细晶为止。取向差较大的位错密度的形变晶粒，最后在晶界差应力驱动下，新旧相晶界相互长大。

② 性能变化：了塑性石更及下降，塑性上升（时效阶段明显）而固溶阶段已成明显下降趋势。再结晶阶段也有下降（强度在固溶过程中逐渐降低，再结晶后强度反而升高）。内力：固溶阶段，可消除本部宏观又见内力，但时效内力只有通过再结晶过程

九、在固溶体合金中，溶质原子或杂质原子可以于位错处作用形成溶质原子即柯氏气团。而理位错应力场滑移面以下，位错处的反应力而滑移面以为拉应力，当间隙原子C, N等比溶剂尺寸大的时候，溶质原子存在~~在~~推脱作用偏疏于同型位错下方，以使滑移阶段全部的张力从而使位错简单，稳定性变，当位错处于较低能量状态时，位错在平衡，不滑运动，即P-P位错降低。当位错处于较低能量状态时，位错在平衡，不滑运动，即P-P位错降低。当位错在平衡，不滑运动需在很大应力下作用才能平衡如水平气团的钉扎作用。位错更运动需在很小应力下作用才能平衡如水平气团的钉扎作用。这样就形成上屈服点，而一旦卸去远位错的运动就比卸去气团，因此应力减小时出现下屈服点和屈服平台。

防止：~~减少杂质含量~~。①预变形法，预先进行起过屈服强度的塑性变形使位错脱离气团。②消除杂质元素，减少气团出现，或加入一些稳定杂质。

十、斜元率

十、决定液体冷却至结成玻璃的外部条件是液体冷却速度是冷却速度。如果冷却速度足够快，在任何条件下都可以转变成玻璃。特别是对那些分子结构复杂，材料熔点高的液体，冷却速度很大，即液体层流的摩擦力很大，或是低温运动学迟缓的物质，冷却时原子扩散困难，液体的组成过程很难进行，容易形成过冷液体。随着温度的降低，液体的黏度迅速增加，原子间的相互运动变慢，更加困难，因此当温度下降到某一临界温度时即固化为~~玻璃~~玻璃。

对于金属材料，其晶体结构比较简单且熔点较低，冷却速度很难引起结晶，过冷的稳定性较差，故冷却下的金属大都为晶体。但如果冷却速度冷却速率(10^5-10^6 K/s)时也会出现玻璃化现象。

对于陶瓷材料来说，一般比较硬，特别是能形成三维网络的SiO₂，陶瓷材料中基本的结构单元是 SiO_4 四面体，原子排列方式发生迁移。

另外，陶瓷材料冷却后形成非晶玻璃体。

6. 能够引起化学成分和结构变化的一级相变。从热力学角度来说，一级相变中两相的化学势相等，但化学势的二阶偏微高不等。
- 二级相变是除一级相变之外的其它相变。二级相变过程中新旧两相的化学势相等，二阶偏微高也相等但是其二阶偏高不等。
- 一级相变时有体积的变化同时有热量的吸收或释放。所有一级相变均需要经过形核长大过程。例如，火灾化学。
- 二级相变相变时没有体积变化和相变潜热在相变，而相变体积、火灾和发泡的变化是连贯的。例如火灾体系与铁磁体之间的转变，金属的有序长于无序长之间的转变。
11. 当金属或合金经变形后能量升高，处于不稳定状态，具有向变形前低的自由能的自发趋向的趋势，一旦动力学条件允许，原子具有一定扩散能力时形成后的金属或合金便自发的向自由能降低的方向转变，此过程称为回复再结晶。
其中回复主要是点缺陷的运动，再结晶过程则是原子迁移形成新的无畸变速晶粒的生长。
- 特征：①强度显著下降塑性却上升②电阻下降③密度上升
④回复阶段活性层又恢复活力，再结晶阶段消除，继续再次收缩
⑤至晶尺寸变大

2011-4

北京科技大学

2010年硕士学位研究生入学考试试题

试题编号: 814

试题名称: 材料科学基础

(共 2 页)

适用专业: 材料科学与工程

说明: 所有答案必须写在答题纸上, 做在试题或草稿纸上无效。

一、分析发生下列现象的原因 (30 分)

1. 低碳钢应力-应变曲线的屈服现象 (10 分)
2. 金属及合金凝固时形成树枝状晶 (10 分)
3. 上坡扩散 (5 分)
4. 二次再结晶 (5 分)

二、在面心立方结构的金属中 (111) 面上运动着柏氏矢量为 $b=a/2[\bar{1}10]$ 的位错, 位错线方向也是 $[\bar{1}10]$, 请在单胞中画出 (111) 晶面和 $[\bar{1}10]$ 晶向, 并说明该位错属于什么类型? 如果该位错的运动受到阻碍后, 请判断是否有可能转移到 $(\bar{1}\bar{1}1)$ 、 $(1\bar{1}\bar{1})$ 、 $(1\bar{1}\bar{1})$ 各晶面上继续运动? 说明为什么? (15 分)**三、以含 Al-4wt%Cu 合金为例, 给出其经过不同固溶时效工艺处理后的脱溶贯序; 定性说明各阶段脱溶相的尺寸及分布特点、与母相的界面匹配关系及其强化效果等。 (20 分)****四、讨论晶体结构和空间点阵之间的关系。 (15 分)****五、与液态结晶过程相比, 固态相变有什么特点? 这些特点对固态相变后形成的组织有什么影响? (15 分)**

- ① 熔相变阻力, 固态相变除界面能阻力还有扩散能
② 大多以非均匀形核

六、叙述离子晶体的结构规则 (15 分)

① 负离子配位数偶数

③ 相对于旧相存在一定的取向差

④ 新相界面相对于旧相存在某些干涉带

⑤ 存在过渡相

⑥ 晶粒长大存在惯习现象

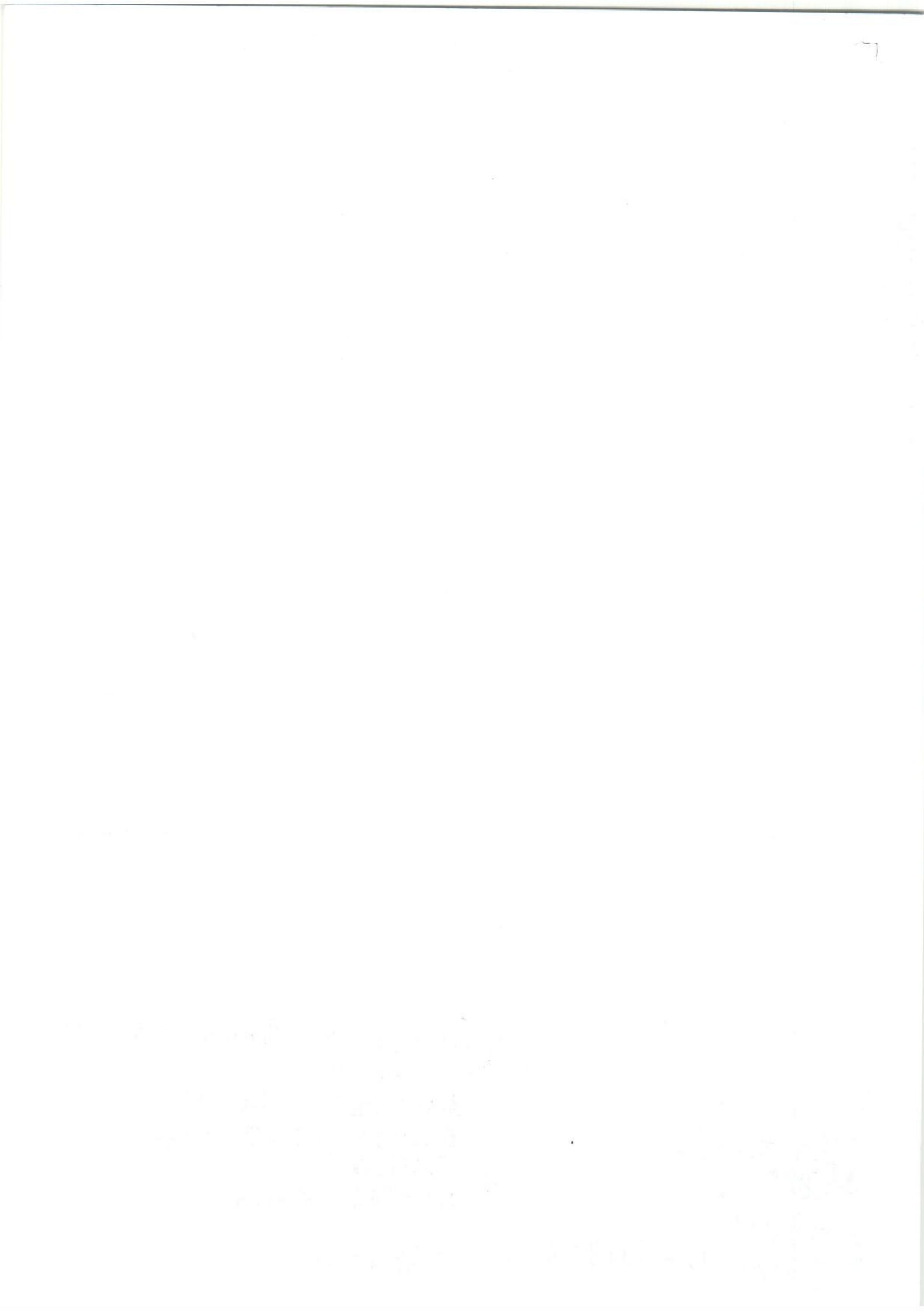
② 配位数小

⑦ 共价键强

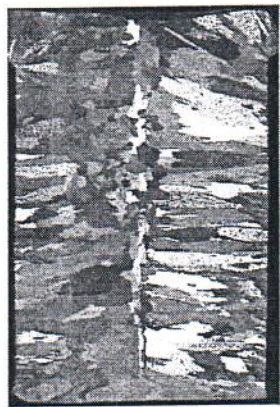
③ 电荷规则

④ 节约规则

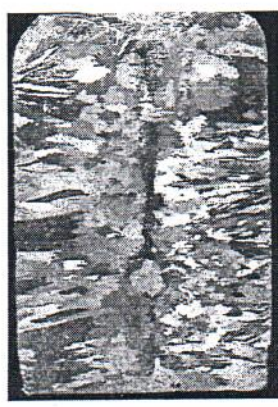
⑤ 不同种类正离子形成多面体连接规则



七、分析形成下列不同铸态组织的可能原因，并说明要得到细小的等轴晶，可采取哪些办法？（20分）

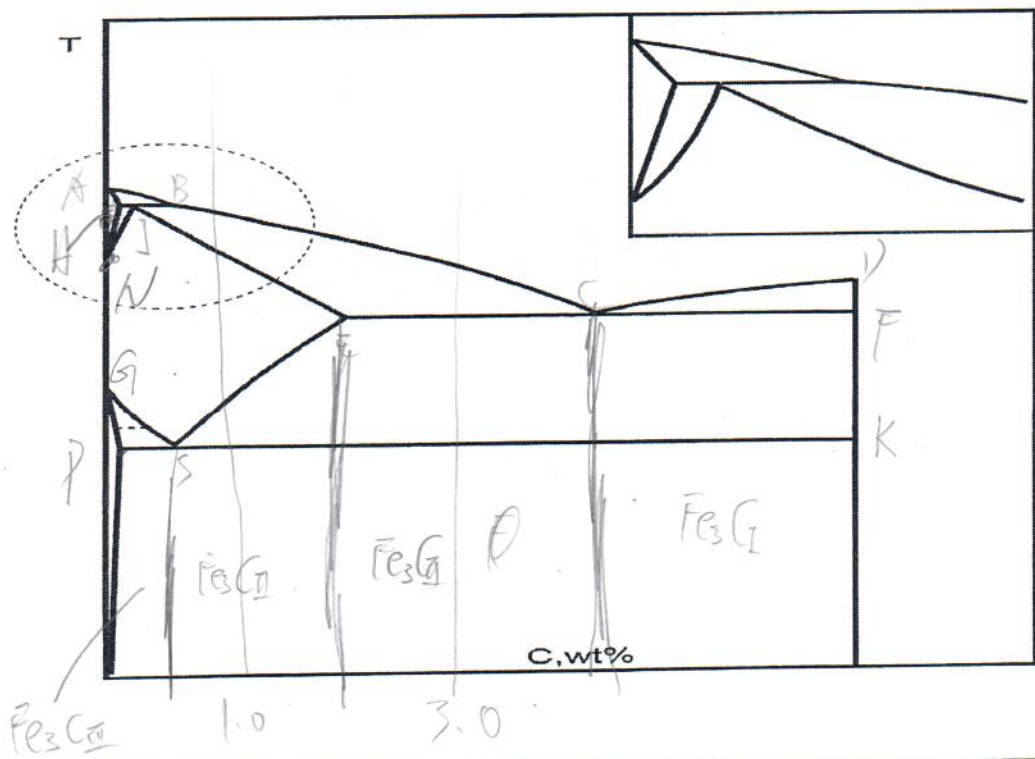


(a)



(b)

八、参考下面提供的示意图，画出按组织分区的 Fe-Fe₃C 相图，写出各三相反应，并说明分别为 1.0wt% C 和 3.0wt% C 的铁碳合金经过缓慢冷却在相关三相反应完成后形成的各组织特点（20 分）。





1. 低碳钢内应力-应变屈服现象的原由

~~答 低碳钢中应力-应变屈服现象的原因是位错与溶质原子(低碳钢中的C)~~

形成柯氏气团，阻碍位错运动。当金属中的位错应力场与溶质原子形成应力场(例如刃型位错滑移面以上位错中心区成为压应力，而滑移面以下为拉应力)。

若间隙原子或比溶剂尺寸大的置换溶质原子存在高浓度时位错运动偏转(γ)而位错的不齐，从而消耗部分或全部的张应力，从而使位错应变能力降低。趁隙原子不易运动，位错再运动必须在更大应力作用下才能平衡先驱点气团的牵引力和移动力，形成上屈服点。一旦脱钩就位错运动就很容易，因此应力减小，出现下屈服平台。

2. 大部分金属及其合金属于 $d < 2$ 的晶体($d \leq 2$ 是半径半径)，这类晶体在高温下生长一旦出现空穴就进入过冷较大的区域，晶体越凸出的地方生长越快，因而长大以树枝状伸向液相中，形成树枝状。

3. 发生扩散现象的真正原因是化学势梯度，一般情况下，化学势梯度与浓度梯度成正比，就表示从高浓度向低浓度扩散，称扩散系数。当化学势梯度与浓度梯度不一致时，表现为低浓度向高浓度扩散为上坡扩散。

4. 二次再结晶：正常晶粒长大过程被抑制而引起的少数晶粒异常长大的现象。正常晶粒长大过程被分散相颗粒或表面的热力学能强烈阻碍，条件：正常晶粒长大过程被分散相颗粒或表面的热力学能强烈阻碍，阻力是晶界能；二次再结晶的驱动力是界面能的降低，阻力主要是界面阻力。

由于①一次再结晶出次级组织②弥散杂质钉扎晶界阻碍材料表面的滑移而导致大颗粒晶粒长大受阻而使得细小晶粒在降低界面能的驱动力下通过不断吞食大颗粒晶粒，形成粗大晶粒。

5. 位错密度是晶体的滑移方向，即外力的方向，可以利用位错密度区分刃型位错和螺型位错。对于刃型位错，位错密度与位移垂直，与位错运动方向平行；对于螺型位错，位错密度与位错线平行与位错运动方向垂直。该位错大而 $[1\bar{1}0]$ 与 $b = \frac{1}{2}[1\bar{1}0]$ 方向平行，则为螺型位错。

对于螺型位错可以产生滑移，但需要克服滑移平面必须包含位错线，此限制 $(1\bar{1}1), (1\bar{1}\bar{1}), (11\bar{1})$ 三个晶面均不包含 $[1\bar{1}0]$ 晶面，因此不能

移动到这三个晶面上运动。

^{同时}在脱碳过程中一般不直接析出新相而是通过亚稳定的过渡相逐步演进而来而这些亚稳定的中间相具有一定的顺序。

三、脱碳顺序就是随时间和温度变化，合金中相变的过程。

将合金加热到 a 区使其均匀化后，分层以不同的速率进行脱碳。当冷却速度很慢，接近平衡冷却时，只会出现所含的局部脱碳带，也就是由粗大 d 相晶界组成，最后形成由 α 、 γ 、 β 等分布的网状组织，此时从脱碳顺序就是 $d \rightarrow \alpha$ ；当冷却速度很快时，则会根据过冷度和过冷度 ΔT 出现 $d \rightarrow \alpha$ 、 $\alpha \rightarrow \gamma$ 、 $\gamma \rightarrow \beta$ 这样三个脱碳步，其中 α 区、 β 区都经过过渡相，整个脱碳过程根据各成分和脱碳条件可能停留在其中任何一个阶段。

第四章 液晶与高分子

- (1) GP区：GP区是铜原子富集区，尺寸很小，圆片状，光学显微镜无法观察。GP区中基体并未分离，无严格界面，可以算完全共存，嵌插在基体中。
- (2) "粗"相：尺寸大于GP区，但仍然无界，用光学显微镜观察到基体中包含的铜圆片状分布。
- (3) "粗"相：尺寸大于"粗"相，可以用光学显微镜观察到基体中存在铜圆片状分布很不均。
- (4) "粗"相：尺寸大于"粗"相，因为尺寸不规则而形状不规则，分布不均，基体非常粗，其中过渡相以及GP区都可以产生一定的圆片状。

四、空间占位限风律，在这个律的作用下期性规则排列所形成的空间限制是晶体结构的抽象表示；晶体结构是将空间占位中的周期规律通过分子子团聚物底的矩阵。

二者共同之处是两者都是由构成的空间结构，不同之处在于由于空间占位每一个都是一个单位，因此具有完全相同的周边环境，所以只有几种空间矩阵，但是对于晶体结构而言，由于阵列位置上的原子不同，周期也就不同，存在无限种可能。

两者具体关系可以表达成：晶体结构=空间占位十结构基元

五、过液态结晶相变和固态相变特点：①过液态相变幅度大，除晶界之外，固态相变还多了一样立变能，从而导致晶界扩散半径和扩散距离大。

②固态相变将以非均形核形式形成。

③固态相变核小且相变之间存在一定取向关系。

④新旧相界面存在共格，半共格关系。

⑤新旧相形成长大时互相存在惯习现象。

⑥新旧相可以以过液态相的方式存在。

⑦出现非扩散转变→马氏体转变。

对固态相变后形成的组织影响：新相组织应是为了适应固态介质结构和组织特点，克服相变阻力而表现出来的综合结果，既受立变能和扩散能影响，也要受相组织结构的影响。

(1)单从立变能角度出发，饼状圆柱状最大，球状最小。

(2)单从界面能考虑，球状圆柱状最大，饼状最小。

(3)所以，新旧相的组织形状主要是取决于晶粒的相变能和界面能谁占主导位置，如果两者的相变能相当，则新旧相将成饼状，如果立变能是主要因素，则饼状组织将占主导，从而形成球状。

六、离子晶体的结构规则

(1) 负离子配位多面体原则。离子晶体中，正离子周围形成一个负离子配位多面体，顶点间平均距离取决于离子半径之和。

(2) 电价规则。在给定的离子晶体结构中，每个负离子的电荷等于它接触的正离子数的电负性平均值。

(3) 共用棱柱面体共用顶棱面体原则。共用棱柱特别是共用面会降低结构稳定性。

(4) 不同种类正离子配位多面体间连接规则。在含有两种以上正离子的离子晶体中。

一些电负较高，而定位数较低的正离子配位多面体之间尽量不发生接触。

(5) 节约规则。在同一种晶体中，同种正离子和同种负离子连接方式应尽量一致。

七、钢化玻璃变质原因主要是(1) 液体过热变大，这样可以使氧化物分离。

(2) 量支撑过大应该很大，全金属太高，膨胀系数过大，(3) 玻璃温度过高，

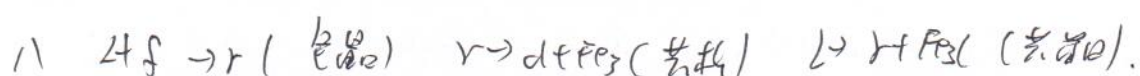
(4) 没有搅拌或者加速液体运动。

图6中中心位置主要是单轴晶区，要得到这样的组织，必须是上述情况相反。

要获得单轴晶区应该(1)降低液体过热变大，以保持玻璃分离，(2) 玻璃温度过大

有利于纤维状晶粒充分发展 (3) 成分温度变大 (4) 玻璃冷却

(5) 加强液体运动，但使单轴晶发展。



1.0wt% 在缓慢冷却时形成过共析钢钢，冷却过程中从液相中结晶出单相奥氏体，到1500℃以下开始析出二次碳化物，二次碳化物在奥氏体晶界处，呈网状分布，到1270℃时碳析出增加至1100℃二次碳化物和珠光体。

3.0wt% 从液相中析出奥氏体，液相成分到达共晶成分时，发生共晶转变形成珠光体，在共晶温度以下，先析出奥氏体和共晶奥氏体都会析出二次碳化物，到达共析温度后发生共析转变，所有奥氏体都

变成珠光体，最后先共析奥氏体转变成细珠光体呈大块出现，其后阶段是变大珠光体。

北京科技大学
2009年硕士学位研究生入学考试试题

试题编号: 814 试题名称: 金属学 (共 2 页)

适用专业: 材料科学与工程

说明: 所有答案必须写在答题纸上, 做在试题或草稿纸上无效。

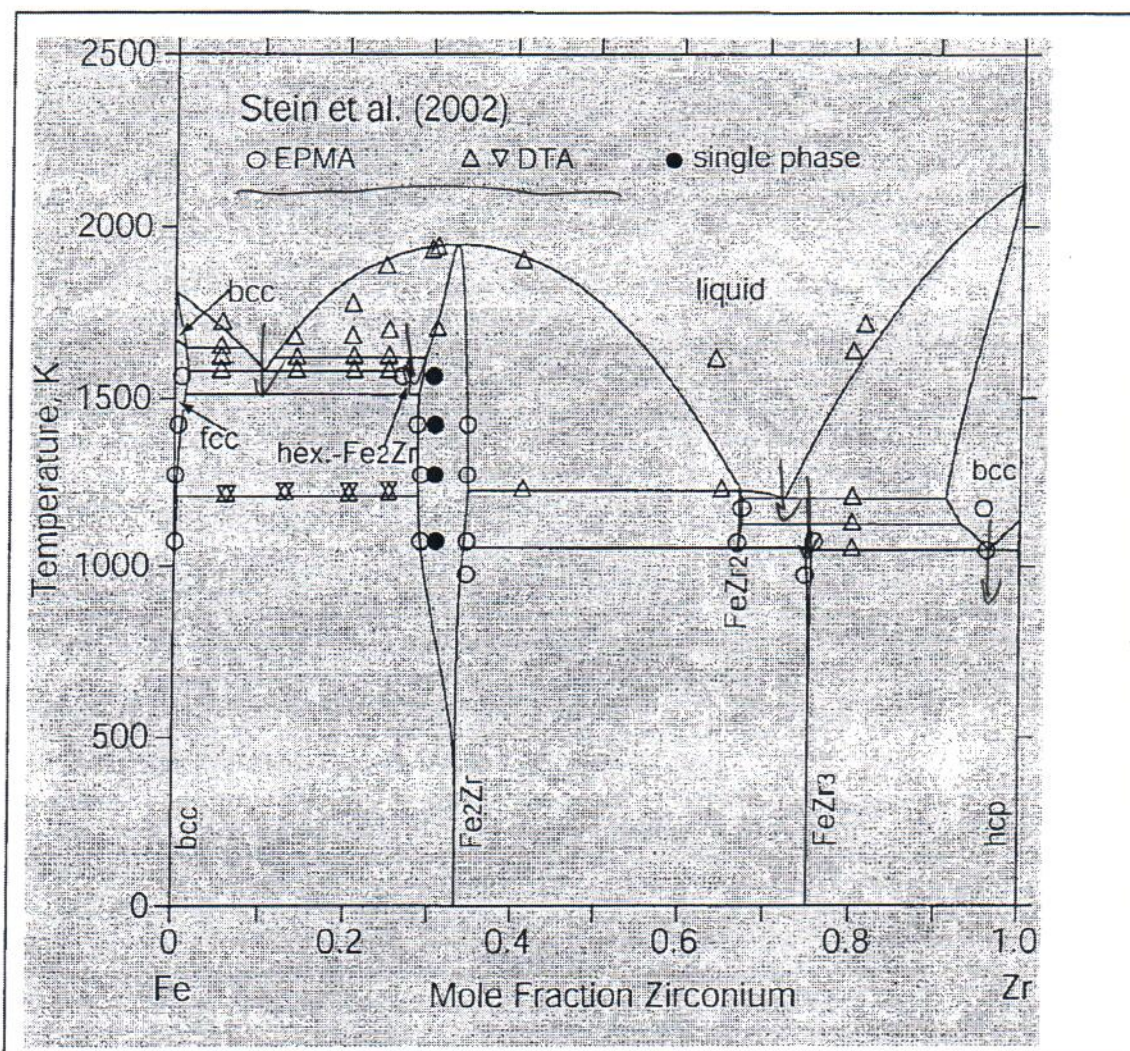
- 一. 从下面所示 A 和 B 原子排列示意图抽象出其二维空间点阵, 并选取最具有代表性的晶胞, 写出其计量成分式(或分子式)。(20 分)(注: 假设 A、B 原子半径相等, 相邻原子之间相切。)

ABABABABABABABAB
BABABABABABABABA
ABABABABABABABAB
BABABABABABABABA
ABABABABABABABAB
BABABABABABABABA
ABABABABABABABAB
BABABABABABABABA
ABABABABABABABAB

- 二. 讨论具有面心立方 (A1) 和密排六方 (A3) 晶体结构的金属其原子排列特点, 如: 异同点、结构相关性等, 并预测两金属因结构不同在机械性能上可能有哪些区别, 说明其原因。(20 分)
- 三. 叙述常见的晶体缺陷。(10 分)
- 四. 讨论纯金属或合金结晶时的生长形貌。(15 分)(提示: 从液-固界面的微观结构和界面前沿液相中的温度分布两方面考虑。)
- 五. 利用铁碳相图和扩散的基本知识给出低碳钢进行渗碳处理工艺的制订原则, 如: 渗碳温度、时间等确定依据。(15 分)(提示: 零件表面碳含量约为 1.0% 及一定厚度的渗碳层。)
- 六. 解释低碳钢的典型应力-应变曲线出现的屈服现象, 探讨上、下屈服点与材料的临界分切应力之间的关系。(20 分)



七. 写出下面所附 Fe-Zr 相图(引自 Calphad, vol.32, p637-649, 2008)中的三相反应。(10 分)

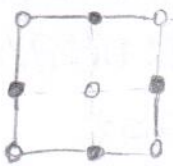


八. 分别指出凝固、脱溶、再结晶和二次再结晶等几个转变过程的驱动力和阻碍力。(20 分)

九. 写出扩散第一定律的表达式，说明表达式中各符号的意义，并解释由 Fe-C 合金和 Fe-C-Si 合金构成的扩散偶中出现的碳“上坡扩散”现象。(20 分)



一八



二、具有面心立方晶体结构的金属排列为ABCABC，密排立方ABAB

相同点：在面心立方和密排六方结构中，密堆积面上的每个原子和最近邻间都是接触的，平均密度均为0.74，是纯金属中最密集的结构。

差异：面心立方的堆积方式为 $ABCABC$ 密堆积方式的原子堆积方式为 $ABABAB$

而以立方晶格金属较密排六方晶格金属，强度小且硬。

面心立方密堆积面为 {111}，密堆积方向为 <110> 黄红键能差

密排四方结构金属室排面为 $\{0001\}$, 密排前面为 $\{11\bar{2}0\}$ 有3个滑移系

面心立方结构滑移系运动机会大。

三、金属键：两个向尺寸都很小，不起到几个原子之间，包括带负电荷的价电子。定位，间隙原子及其复合体。

九月廿六日

线缺陷：缺陷在两个轴上的尺寸很小，第三个方向尺寸很大，可贯穿整个晶体。主要有位错、空位、间隙原子、杂质等。

面锯齿：缺陷在一向向尺寸很小，其余两个方向尺寸很大，外表有各种防滑面。（滑片机锯
等锯面、亚圆齿锯等）

缺陷：金夹杂在三者尺寸都很大；固溶体中偏聚区分布极不弥散的第二相起显微强化粒，起巨显微。

四、结晶界面的温度分布大致有两种情况：一种是由界面到液相具有负的温度梯度，即 $\frac{dT}{dx} < 0$ ，离界面越远液相温度越高；另一种是由界面到液相具有负的温度梯度，即 $\frac{dT}{dx} > 0$ ，离界面越近液相温度越高。

离界面越远 液相中温度越低.

液体主要取水平扩散方向，不管生长有无差别都是平行的。在这种情况下，
正温度梯度将随固-液界面而移动。流动的温度梯度由扩散速度所控制。由于是正温度
梯度，扩散速度随温度梯度而变化。相界面的推移速度受固相传热速度所控制，就会减缓或停止。
但是，当热量通过固体而散热时，相界面的推移速度就会增加。

梯度當界面上保有凸起部分伸入溫度較高的液體中時，這種過程便因液體保溫作用而停止，使凸起部分消失。這種過程便因液體保溫作用而停止，使凸起部分消失。這種過程便因液體保溫作用而停止，使凸起部分消失。這種過程便因液體保溫作用而停止，使凸起部分消失。

固體部分過分吸收水份時會變軟，失去其物理性質。若為光滑表面技術的漆面，則稱為平面漆面。但若為粗糙漆面，其性能差，平面大，漆面會被擦傷。

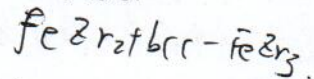
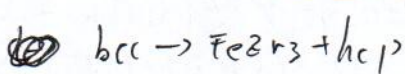
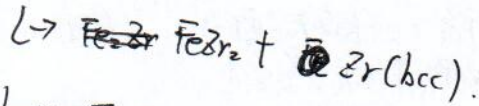
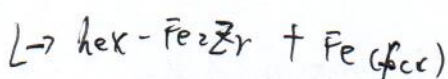
在负温度梯度中，温和温带霜冻条件下，在枝条上部生长点增大，膨胀连同为枝状生长，光滑表面也变成颗粒状生长，但这种特征是局部的。

五、扩散方程应用：一种方法是将待扩散的组元先在固溶体中加热（ $900 - 950^\circ\text{C}$ ）保温，使其发生扩散，经过一定时间冷却下来，这样就形成了扩散层。一定深度范围内达到扩散平衡 $C_0 = 1.0\%$ $C_{(x=0,t)} = s$. $C_{(x=\infty,t)} = 0$ 这些表示为 $(C_0, t) = s \left[1 - \operatorname{erf} \left(\frac{x}{2\sqrt{Dt}} \right) \right]$ 界面浓度始终保持一个值 s ，直至指定浓度时扩散距离的平方成正比。

六、某些含有杂质组元的单晶和多晶固态在一定条件下进行形变时，它们之间会形成明显的上下两个脱层点，滑移运动的抗力较大（上层脱层），而滑移运动抗力较小（下层脱层）。

铁石墨包内由于存在 CN 等杂质元素，使其位能产生变化作用，形成脱层，但脱层并不容易，劳埃钉扎住，在一般应力下不能脱层，从而自形成上下层脱层现象，但一旦脱层后便可在正常应力下运动。

t.



八、脱层、驱动力

阻力。

脱层 滑移两相间的自由能差 引起脱层

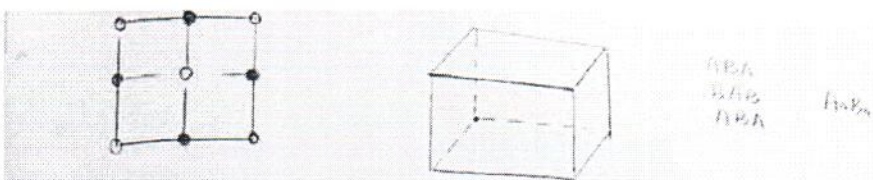
再结晶 形成过饱和未被释放的储存能 脱层能

二次再结晶 原来长大颗粒的界面能

九、菲克第一定律：在扩散过程中，物质的扩散流量，即单位时间内通过单位横截面所输送的扩散组元物质的质量和这个物质穿透越这一截面的浓度梯度成比例的。

$J = -D \frac{dc}{dx}$ J 表示某一组元的扩散流量，单位时间内通过垂直于扩散方向的单位面积所输送的物质质量 $\text{kg}/\text{m}^2\text{s}$ D 为扩散系数 cm^2/s $\frac{dc}{dx}$ 为沿着扩散方向浓度梯度表示扩散流与浓度梯度方向相反。第一定律描述了一种线性扩散即质量浓度不随时间变化。

在一对含碳量基本相同的钢试样中，含碳量少的钢块被推在一起，在长时间扩散后，不含 Si 的一侧含碳量反而由偏低而达到显著偏高，说明（由含 Si 一侧向不含 Si 一侧）进行扩散的速率比不含 Si 一侧快，扩散是由高浓度方向向低浓度方向进行的，扩散方向正好相反称上坡扩散。这是扩散的驱动力不是由高的浓度梯度而是扩散位置梯度。扩散之所以产生正是由于存在化学位梯度，只是一般条件下化学位梯度与浓度梯度一致，所以看起来扩散总向着浓度梯度减小的方向扩散，当化学位梯度与浓度梯度一致就表现为下坡扩散，不致就表现为上坡扩散。



具有面心立方晶格结构的金属原子排列为ABCABC，密排方向为ABABAB。

相隔：在面心立方和密排六方结构中，密排面上的每个原子和最邻近的原之间都是相切的。
致密度均为0.74，是纯金属中最密集的结构。

五：面心立方结构的堆积方式为ABCABC，密排六方结构原子的堆积方式为ABABAB。

面心立方结构金属较密排六方结构金属，塑性较好。

面心立方金属密排面为{111}，密排方向为<110>，共12个滑移系。

密排六方结构金属密排面为{0001}，密排方向为{1120}，有3个滑移系。面心立方的滑移系可平动的机会大，因此塑性较好。

三、点缺陷：三个方向的尺寸都很小，不超过几个原子距离；包括溶质原子引起的畸变区、空位、间隙原子及其复合体。

线缺陷：缺陷在两个方向上的尺寸很小，第三方向尺寸很大，贯穿整个晶体，要有位错。

面缺陷：缺陷在一个方向上尺寸很小，其余两个方向上尺寸很大，外表面上各种内界面（晶界、相界、孪晶界、亚晶界）。

体缺陷：缺陷在三个方向上尺寸都很大；固溶体内偏聚区，分布很弥散的第二相超显微粒、超显微晶。结晶界面的温度分布大致有两种情况：一种是由界面到液相具有正的温度梯度，即 $dT/dx > 0$ ，离界面越远，液相中的温度越高，另一种是由界面到液相具有负的温度梯度，即 $dT/dx < 0$ ，离界面越远，液相中的温度越低。

晶体在正温度梯度条件下成长时，对 $\alpha < 2$ 的晶体来说，晶体界面是平滑的，整体看，大多参差不齐；对 $\alpha > 2$ 的晶体来说，晶体界面虽然粗糙，不具有晶体学小晶面的特征，但从整体来看大多是一与散热方向垂直的平面。这种晶体的亚稳极限(ΔT_a)很小，界面温度差不多与熔点相重合，所以晶体的成长界面只能随液体的冷却而向同一散热方向液相推移，一旦局部偶有凸出，那么便进入亚稳极限以上甚至熔点以上的温度区域，成长会立刻停止，甚至被熔化掉，所以液固界始终可以近似的保持平面。这种条件下，由于晶体界面主要取决于散热方向，不管成长有无差别，都“一切齐”，因此晶体易于成长为任意形的晶粒。

若晶体在负温度梯度条件下成长， $\alpha < 2$ 的晶体界面一旦局部凸出，便进入过冷度较大的区域，晶体越凸出的地方，成长速度越快，界面很难保持平面，大多以树枝状的形式快速伸入液相因而易形成树枝状晶。对 $\alpha > 2$ 的晶体，负温度梯度条件下， α 不甚大时，也可发展为枝状晶。 α 很大时，仍会形成规则的晶体，或具有小晶面的枝晶。



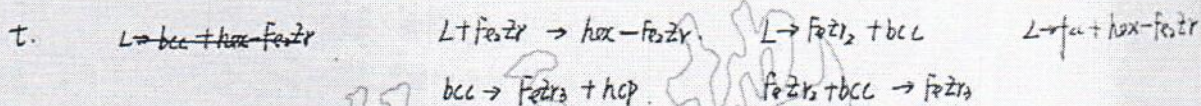
低碳钢调质组织表层为珠光体和网状渗碳体的过共析钢，往里为正火组织。
五、扩散方程应用3：一般方法是将工件放入渗碳气氛中或固体介质中，而后进行加热（900-1000℃）保温，使固态发生扩散，经过一定时间后，再冷却下来，这样就可使工件表层一定深度范围内达到渗碳目的。C₀=1.0%。

C(x=0,t) = C₀, C(x=∞,t) = 0, 渗碳方程 C(x,t) = C₀ [1 - erf(x/D)] 界面浓度始终保一个定值 C₀，达到指定浓度所要扩散时间与扩散距离的平方成正比。 P(x,t) =

六、某些含有溶质组元的单晶体或多晶体，在一定条件下进行形变时，应力-应变曲线上会出现明显的上下两个屈服点。滑移启动的抗力较大（上屈服点），而滑移进行的抗力则较小（下屈服点）。

原因：由于位错与溶质原子交互作用而形成柯氏气团钉扎位错，要位错与柯氏气团分开必须做功，它是位错运动的额外阻力。取出柯氏气团时，必须施加比正常位错运动高的应力才能使位错开动，即上屈服点、抗力较大的原因；位错移动一定距离后，一旦摆脱钉扎后便在正常应力下运动，即下屈服点、应力较小的原因。

上、下屈服点与临界分切应力的关系：



八、
驱动 力 阻 力
凝固：液固两相间的自由能差。 界面能
脱溶：新旧两相间的自由能差。 两相界面能、应变能。
再结晶：形变过程中未被释放的储存能。 晶界能。
二次再结晶：晶粒长大前后的界面能差。 界面能？

九、菲克第一定律：在扩散过程中，物质的扩散流量，即单位时间内通过单位横截面积所输送的物质的量是和这个物质横跨这一截面的浓度梯度成比例的。 $J = -D \frac{dc}{dx}$

J：表示某一组元的扩散流量。单位时间通过单位面积扩散的物质量 g/s·m²。

D：这个组元的扩散系数 m²/s。 $\frac{dc}{dx}$ ：表示这个组元沿着扩散方向 X 的浓度梯度。

负号表示扩散方向与浓度梯度的方向正好相反，即扩散向着浓度梯度减小的方向进行。

第一定律描述了一种稳态扩散，即质量浓度不随时间而变化。

在一对含碳量基本相同的钢试样中，一个含有 4.5%，将它们焊接在一起，在长时间扩散后不含 Si 的一端含碳量反而由偏低而达到显著偏高，说明 C 由含 Si 一侧向不含 Si 的一侧进行扩散。



Si 提高了碳在铁中的化学位而引起的。对于扩散的驱动力不是浓度梯度而是化学位梯度。
普通意义上说,决定组元扩散的基本因素是化学位梯度。不管是上坡扩散,还是下坡扩散,其结果都是导致扩散组元化学位梯度减小,直至化学位梯度为零,在一般条件下化学位梯度与浓度梯度一致,故看起来向浓度梯度减小方向而进行,相反时,化学位梯度本质作用就显露出来了。

$$T = -M \frac{\partial U}{\partial X} = -Mp \frac{\partial G}{\partial C} \frac{\partial C}{\partial X}, \quad D = Mp \frac{\partial G}{\partial C}$$

$D > 0$ 时, T 与 $\frac{\partial G}{\partial C}$ 方向相反, 符合菲克定律, 下坡扩散。



北京科技大学
2008年硕士学位研究生入学考试试题

试题编号: 814 试题名称: 金属学 (共 3 页)

适用专业: 材料加工工程、材料学、材料科学与工程、材料物理与化学

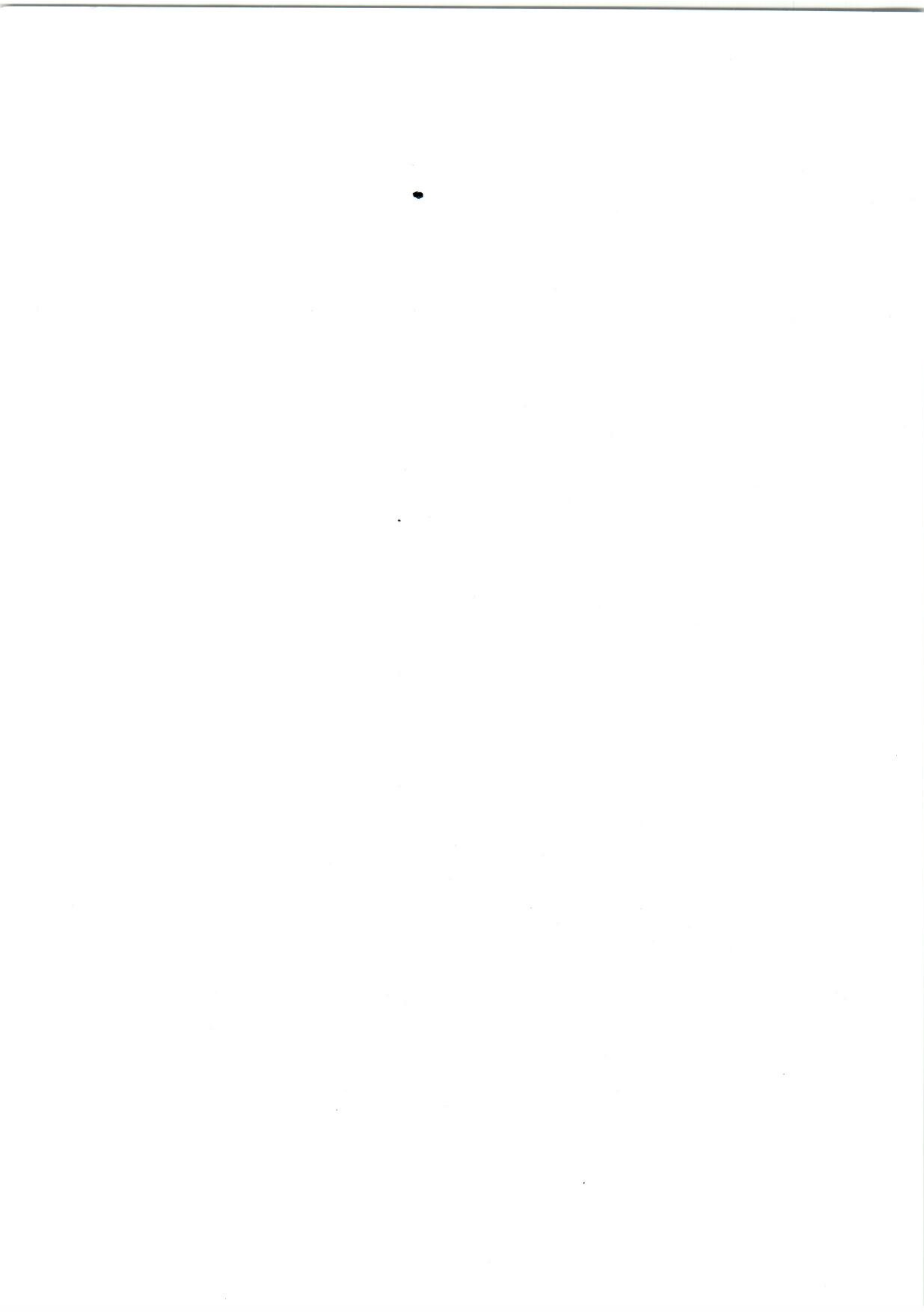
说明: 统考生做一至五题, 单考生做一至三, 六, 七题。若四, 五任做一题, 按一至五题计分;
所有答案必须写在答题纸上, 做在试题或草稿纸上无效。

一. 简述题 (6 分/小题, 共 60 分)

1. 扩散第一定律
2. 位错
3. 二次再结晶
4. 晶体结构与空间点阵
5. 二级相变
6. 孪生
7. 成分过冷
8. 堆垛层错
9. 液固界面微观结构
10. 临界分切应力

二. 叙述相平衡, 相平衡条件和相律的基本概念。(20 分)

三. 分别画出点阵常数为 a 、具有 A2 晶体结构纯金属的八面体间隙、四面体间隙位置及 (110) 晶面原子的排列情况。(20 分)

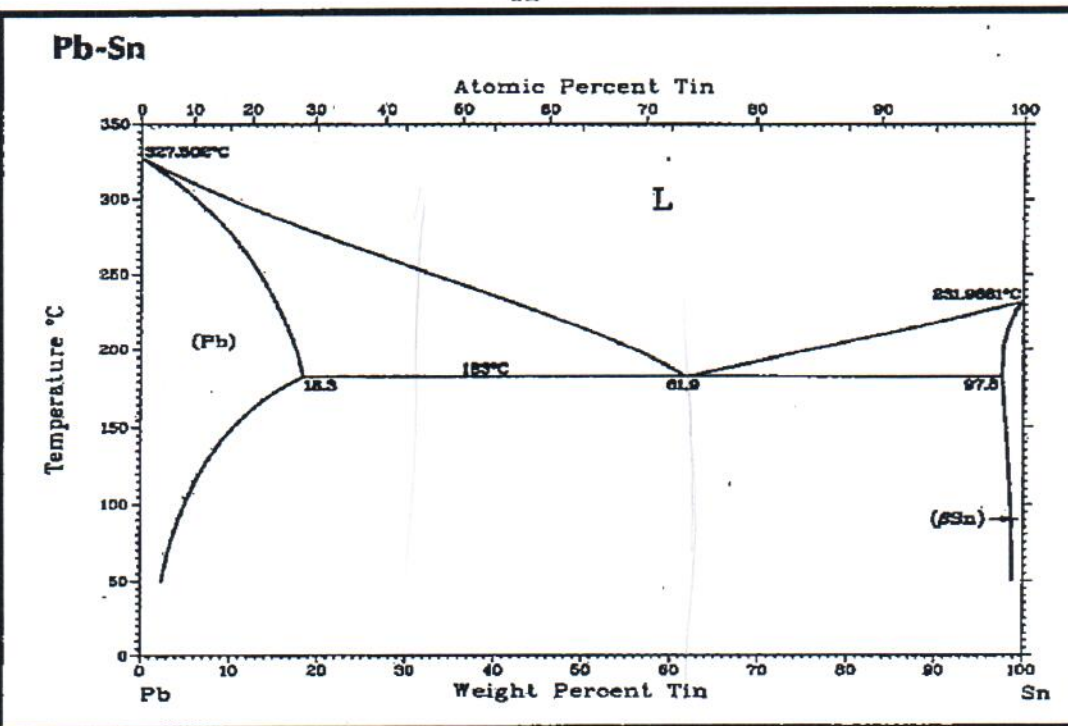


四. 根据所附图 A 为 Pb-Sn 二元相图, B 和 C 是成分为合金(I) 38.1%Pb + 61.9%Sn 或(II) 70%Pb + 30%Sn 合金缓冷时的金相组织, 回答下述问题:

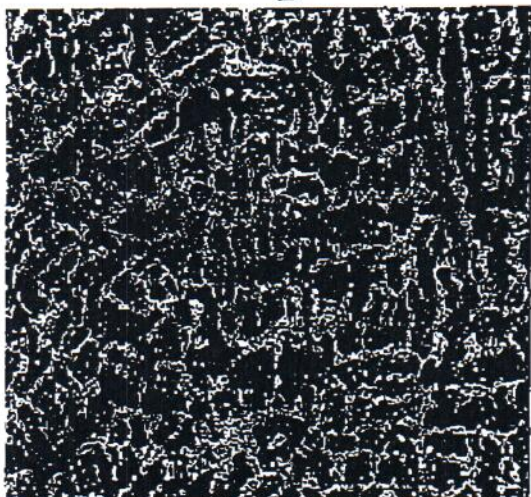
1. B 和 C 合金成分分别是(I)和(II), 还是(II)和(I);
2. 分析 B 和 C 合金金相组织形态特征和形成过程;
3. 分别计算 B 和 C 合金在室温组织相对量。(30 分)

(仅统考生做, 单考生不做, B 和 C 图清晰程度不影响分析计算结果)

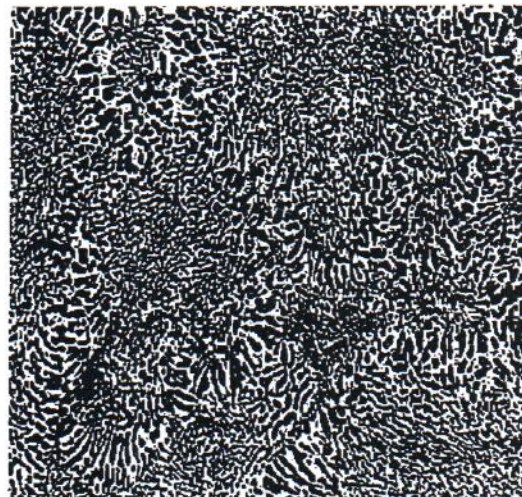
A



B



C



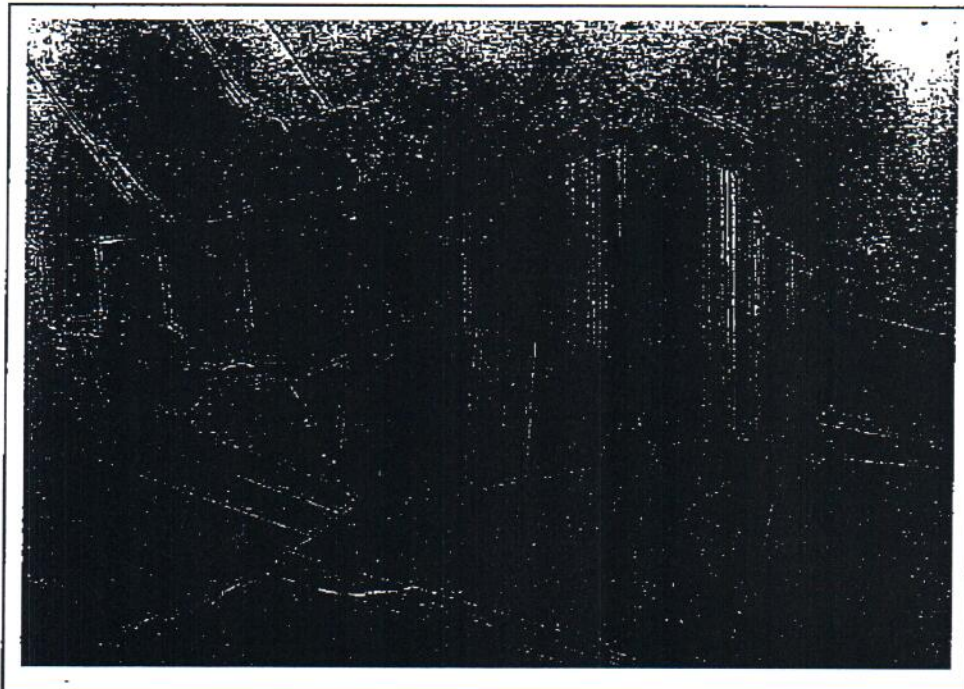
30

第 2 頁

61.9

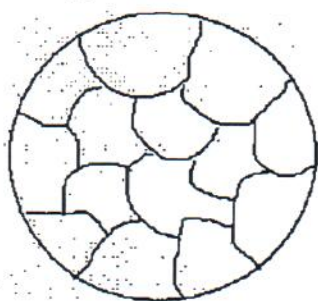


五. 下图为黄铜(Cu-Zn 合金), 经压缩量为 60% 的冷变形后, 在 750°C 保温 30 分钟后形成的组织, 试分析形成原因及过程。(20 分) (仅统考生做, 单考生不做)

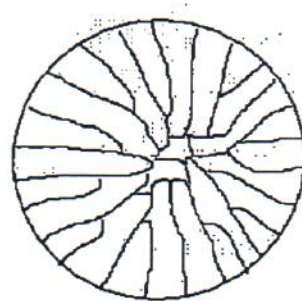


六. 讨论金属单晶体和多晶体的典型应力-应变曲线特点。(20 分)
(仅单考生做)

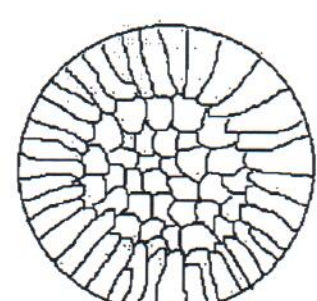
七. 下图示在不同浇铸条件下纯铝铸锭组织示意图, 分析外界条件对铸锭组织的影响。(30 分) (仅单考生做)



砂模 680°C 浇铸



钢模 780°C 浇铸



钢模 680°C 浇铸



2028年

1. 扩散第一定律：在扩散过程中，物质的扩散流量，即单位时间内通过单位横截面积所输送的物质的量与横截面上这一截面的浓度梯度成正比。 $J = -D \frac{dx}{dz}$

J 表示某一组元的扩散流量，单位时间内通过扩散方向单位面积的扩散物质质量（单位 kg/m²s）， D 为扩散系数 m²/s。 $\frac{dx}{dz}$ 表示扩散组元沿 z 方向的浓度梯度，^{物理量} 表示扩散方向浓度梯度的方向相反。

2. 位错：一种线缺陷，其特征是围绕晶体一条很长的线，在一定范围内原子发生有规律的错动，从而离开了平衡位置，而称位错。

3. 二次再结晶：再结晶结束后，正常长大被抑制而发连的少数晶粒异常长大的现象，即出现少数较大的晶粒优先快速成长，逐步吞食其他周围大量小晶粒，最后形成非常粗大的组织。

4. 晶体结构与空间点阵：空间点阵是晶体中层长、排列的几何图案，用以描述和分析晶体结构的周期性和对称性。由于点阵它的周围环境相同故只有几种类型。

而晶体结构是晶体中实际尺寸（原子分子离子）的具体排列情况。① 简单立方点阵 $a=b=c$ 和非特定角度 d ，只随含杂质的不同而变化。但有时候既可以是简单立方密堆积也可以是简单原子层型。因此能组成各种类型的排列。所有存在的晶体结构都是由这三种。

晶体结构是具有物质内部的空间点阵结构，当晶体用完全相同的原子组成，每个原点就是一简单原子可以和点阵一一对应重合。如果晶体结构基元由 1 个以上原子组成，则新结构单元相连接的原子都可作为等同的重复单元构成点阵。

5. 二级相变：从相变热力学上讲，相变前后两相的化学势 $\mu_1 = \mu_2$ 微商相等，但二级微商不等的相变称为二级相变。

6. 剪切：在切应力作用下，晶体的一部相对另一部分沿一定晶面和晶向发生均匀切变。这样的切变并未使晶体的点阵类型发生变化，但使均匀切变反的晶体取向发生变化，变为未切变反晶体呈镜面对称的取向。这一形变过程称剪切。

7. 成分过冷：合金凝固时，由于液固界面温度分布不均，使其实际温度低于理论浇注温度造成的一种特殊过冷现象。（由于温度分布所决定的凝固温度随过冷而降低）。

8. 堆垛层错：实际晶体结构中密排晶胞的正常堆垛顺序有可能遭到破坏，或者重排，从而堆垛层错。简单层错，层错几乎不产生点阵畸变，但它破坏了晶体的完整性和平常的周期性，故使能量有所增加。

9. 液固界面微观结构： $d < 2$ 界面为球团型，界面上固相原子只占其位置的一半。
 $d > 2$ 且 d 相差较大时，界面为平滑型，具有平整界面特征，可出现小台阶。
 $d > 2$ 且 d 相差较小时，界面为平滑与粗糙型的过渡型。

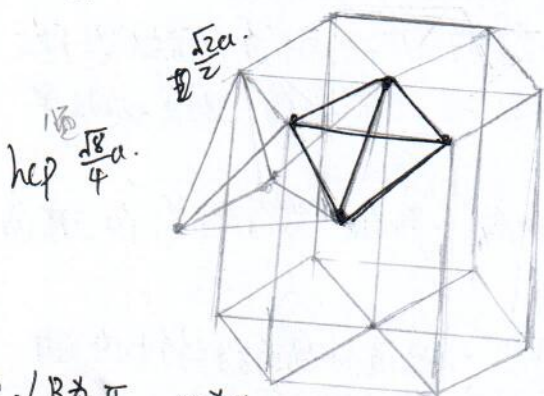
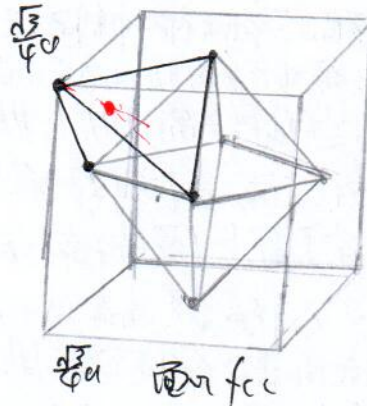
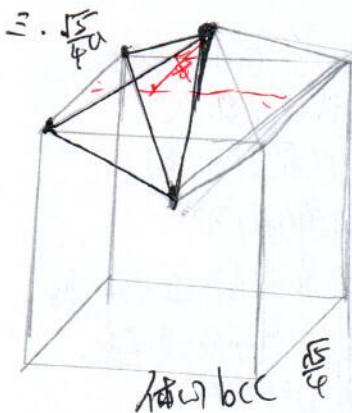
10. 临界切应力：晶体在切应力作用下开始滑移，但其中许多滑移系并非同时参与滑移，只有当外力在某一滑移系中时当切应力达到某一临界值时，该滑移系才发生滑移。

这个切应力叫临界切应力 $\tau_c = \frac{F}{A} = \frac{1}{4} \mu d^2 = 65 \text{ MPa}$

二、相平衡：在指定的温度和压力下，若多相体系中的各相中每一组元的浓度均不随时间而变化，则体系达到相平衡。

相平衡条件：在无化学反应时，每组元各自在各相的化学价处处相等。

相律：判断平衡的一个定律。在平衡条件下系统的自由度数 $f = (P_f) - \frac{f}{2}$ 组元数和平衡相数之间的关系式
 f - 系统的自由度数，即不是由系统状态的条件下的独立可变参数的数目
 P_f - 组成物的组元数即系统组成物质的个数
 P - 系统中能够独立存在的相数，2表示温度压力两个参数。



四面体 $(\frac{2}{3}, \frac{1}{3}, \frac{1}{8})$

④ A为Ⅱ C为Ⅰ

B合金液相随温度降低至液相线以下时 Pb析出，Pb沿固相线成液化，沿固相线成分变化，继续冷却过程中液相不断减少固相成份不断增多当液相成份达到共晶成份时，发生共晶反应 $L \rightleftharpoons Pb + \beta_{Sn}$ ，随后继续冷却 Pb 和 β_{Sn} 成分各自沿固相线凝固相组织；共晶组织分布在先共晶组织周围并呈网状分布。

C合金液相缓慢冷却至共晶点发生共晶反应生成共晶组织 $Pb + \beta_{Sn}$

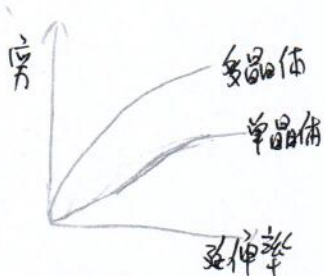
金相组织形态，共晶金层片交替分布的室温组织

$$W(Pb) = \frac{61.9 - 30}{61.9 - 18.3} \quad W(Pb + \beta_{Sn}) = \frac{30 - 18.3}{61.9 - 18.3}$$

$$C(Pb\beta_{Sn}) = 700\%$$

五. 退火孪晶：许多不善于产生形变孪晶的，具有面心立方结构的金属或合金，例如铜和黄铜、奥氏体钢等经常在退火组织中发生孪晶。这种在退火过程中形成的孪晶称为退火孪晶。

而应变孪晶的孪晶面为 $\{111\}$ ，即图中长带间的界面。在再结晶过程中，当一个新晶核的界面活性为 $\{111\}$ 面时，则这个晶粒的正常成长是其界面按ABC ABC...方式向前推移的。如果在界面推移中发生层错取向，例如若界面不是ABC而是BAC，则变为ABCA BCB...这样层错也就形成增殖，按以下ABC(ABC)BAC B序式推移直到恢复正常生长。如此反复可在一个晶粒体内形成许多孪晶面平行的带，相邻两个带和孪晶。



单晶体塑性变形阶段的三阶段组成：滑移阶段
线性硬化阶段 扩物性硬化阶段。

多晶体的塑性变形由于晶界的阻碍作用和晶界之间协调配合要求，各晶粒不能以~~单晶体一样地同时变形~~
~~单一滑移系动作而必须有各组滑移系同时作用。~~

因此多晶的应力应变曲线不会出现单晶曲线的滑移阶段且硬化曲线更陡，细晶粒多晶体在变形开始阶段尤为明显。

2008

一、简述题：

1. 扩散第一定律：在扩散过程中，物质的扩散流量，即单位时间内通过单位横截面积、所输送的物质的量是和这个物质横跨这一截面的浓度梯度成正比例的。 $J = -D \frac{\partial C}{\partial X}$

J 表示某一组元的扩散流量，单位时间通过单位面积扩散的物质量 g/sm²

D 表示这个组元的扩散系数 m²/s， $\frac{\partial C}{\partial X}$ 表示这个组元沿着扩散方向X的浓度梯度。

负号表示扩散方向与浓度梯度方向相反。

2. 位错：一种线缺陷，其特点是围绕晶体一条很长的线，在一定范围内原子发生有规律的错动，都离开了平衡位置，称位错。

3. 二次再结晶：再结晶结束后，正常长大被抑制而发生的少数晶粒异常长大的现象，即出现少数较大的晶粒优先快速生长，逐步吞食其周围的大量小晶粒，最后形成非常粗大的组织。

4. 晶体结构与空间点阵：空间点阵是晶体中质点排列的几何抽象，用以描述和分析晶体结构的周期性和对称性。由于各阵点的周围环境相同，故只有14种类型，而晶体结构是晶体中实际质点（原子、离子、分子）的具体排列情况。①每种点阵的点阵参数a,b,c 和非特定夹角度 α, β, γ 可随各类晶体的不同而变化。②每个阵点既可以是单原子或单离子，也可以是分子或原胞群。因此，能组成各种类型的排列。实际存在的晶体结构是无限的。

晶体结构是具有物质内容的空间点阵结构，当晶体用完全相同的原胞组成，每个原胞就是一个基元。原胞可以和一个对应的点阵重合。如果晶体结构基元由1个以上原胞组成，则每个结构基元相应等同的原胞都可作为等同点抽象构成点阵。

5. 二级相变：从相变热力学上讲，相变前后两相的化学势相等，一次偏微商相等，但二次偏微商不等的相变称为二级相变，如磁性转变，有序无序转变，席导一起导转变。

6. 孪生：在切应力作用下，晶体的一部分相对于另一部分沿一定的晶面和晶向发生滑移切变，这样切变使晶体的点阵类型发生变化，但使相邻切变区的晶体取向发生变更，变为与未切变晶体呈镜面对称的取向。这一形变过程称孪生。

7. 成分过冷：合金凝固时由于液固界面附近溶质深度分布不均，使其实际温度低于理论熔点所造成的一种特殊过冷现象。

8. 堆垛层错：实际晶体结构中密排面的正常堆垛顺序有可能遭到破坏或错排，称堆垛层错。简称层错，层错几乎不引起点阵畸变，但它破坏了晶体的完整性和平常的周期性，以便晶体能量有所增加。

9. 液固界面微观结构：
 $d < 2$ 界面为粗糙型，界面上因相原胞P,G其位置的一半

$d > 2$ 且与2相差较大时，界面为平滑型，具有平整界面特征，可出现台阶。

$d > 2$ 且与2相差不大时，界面为平滑与粗糙的过渡型。



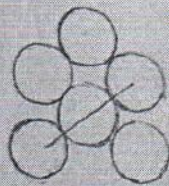
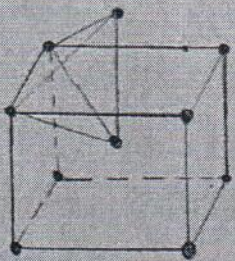
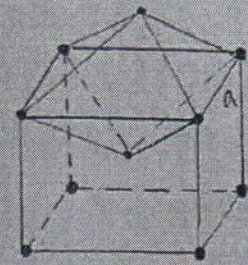
1) 临界分切应力：滑移系开始所需要的最小分切应力。 τ_0 是一个定值。是真正表示晶体屈服实质的物理量。
不随试样取向而变化，只取决于晶体内部实际状态。

平衡：在指定的温度和压力下，多元相体系的各相中每一组元的浓度均不随时间而变化，则体系达到平衡。

相平衡条件：在无化学反应时，每一组元各自在各相中的化学势处处相等。

相律：判断相平衡的一个定律，在平衡条件下系统的自由度数 $f = C - P + 2$ ，组分数和平衡相之间的关系式。

三、



四、1. B合金成分是Ⅱ，C合金成分是Ⅰ

2. B合金：液相逐渐冷却至与固相共存时，即Pb固体析出。 (Pb) 沿固相线成份变化，且 L 沿液相线成份变化。继续冷却过程，液相不断减少，固相不断增加。当液相成份达到共晶成份时，发生共晶反应 $L \rightleftharpoons Pb + \beta Sn$ ，随后继续冷却， Pb 和 βSn 各自沿固相线成份变化。

金相组织形态：共晶组织，在共晶点处共晶组织的晶界析出，各组织分布不均。

C合金：液相缓慢冷却至共晶点，发生共晶反应，生成共晶组织 $Pb + \beta Sn$ 。

金相组织形态：共晶合金层片交错分布的室温组织。

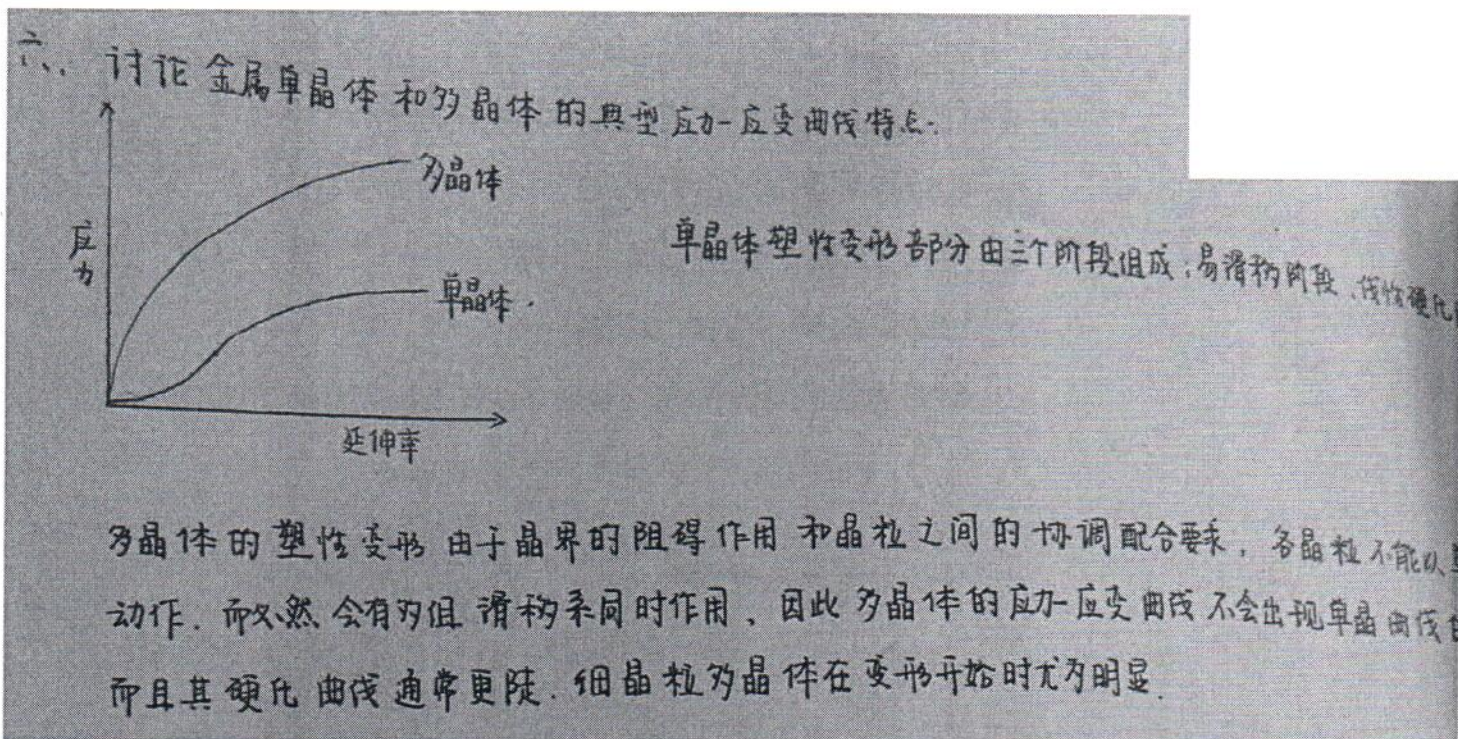
3. B合金 $W(Pb + \beta Sn) = \frac{30-193}{61.9-193} \% =$ $W(Pb) = \frac{61.9-30}{61.9-193} \% =$

C合金 $W(Pb + \beta Sn) = 100\%$

1. 退火孪晶：许多不易于变形变孪晶的，具有面心立方结构的金属或合金，例如铜， α 黄铜，奥氏体钢等。经常在退火组织中发现孪晶。这种在退火过程中形成的孪晶称退火孪晶。

面心立方结构的孪晶面为 {111}，即图中长带间的界面，在再结晶过程中，当一个新晶核的界面恰为 {111}面时，则这个晶核的正常生长是其界面按 ABCABC... 序列向前推移。如果在界面推移中发生层错现象，例如，假设第七层不是 A 而是 B，则变为 ABCABCBA 这样的序列。这样即出现孪晶界面以下将按照 ABCABCBA 序列向前推移，直到恢复正常序列 ABCABCBA...ABC。便形成一个带，如此反复，可在一个晶粒内形成横跨晶粒的许多带，相邻两个带合称孪晶。







2007.10.31

北京科技大学

2007年硕士学位研究生入学考试试题

试题编号: 414 试题名称: 金属学 (共 2 页)

适用专业: 材料加工工程、材料学、材料科学与工程、材料物理与化学

说明: 统考生做一至八题, 单考生做一至七和九题。若七至九题全做, 三题均按零分计;
所有答案必须写在答题纸上, 做在试题或草稿纸上无效。

一、简述题 (5 分/小题, 共 50 分)

1. 调幅分解
2. 再结晶温度
3. 晶体缺陷
4. 马氏体相变
5. 滑移系
6. 影响扩散的主要因素
7. 布拉菲 (Bravais) 点阵
8. A1 和 A3 晶体结构中原子的堆垛方式
9. 金属键
10. 固溶体

二、从热力学方面分析金属结晶均匀形核时临界晶核的形成过程。(15 分)

三、分别画出铁碳合金相图和 3.0wt%C 亚共晶白口铸铁从液相缓慢冷却到室温时组织转变示意图, 并计算在室温时各组织的相对量。(20 分)

四、论述扩散第一定律及对“上坡扩散”现象的解释。(10 分)

五、分析冷变形金属或合金的回复与再结晶过程及相关性能变化。(15 分)



六、写出所附 Pd-Zr 相图(Fig. 1, 摘引自 Calphad, 2006, v30, p486)中的不变反应。(10 分)

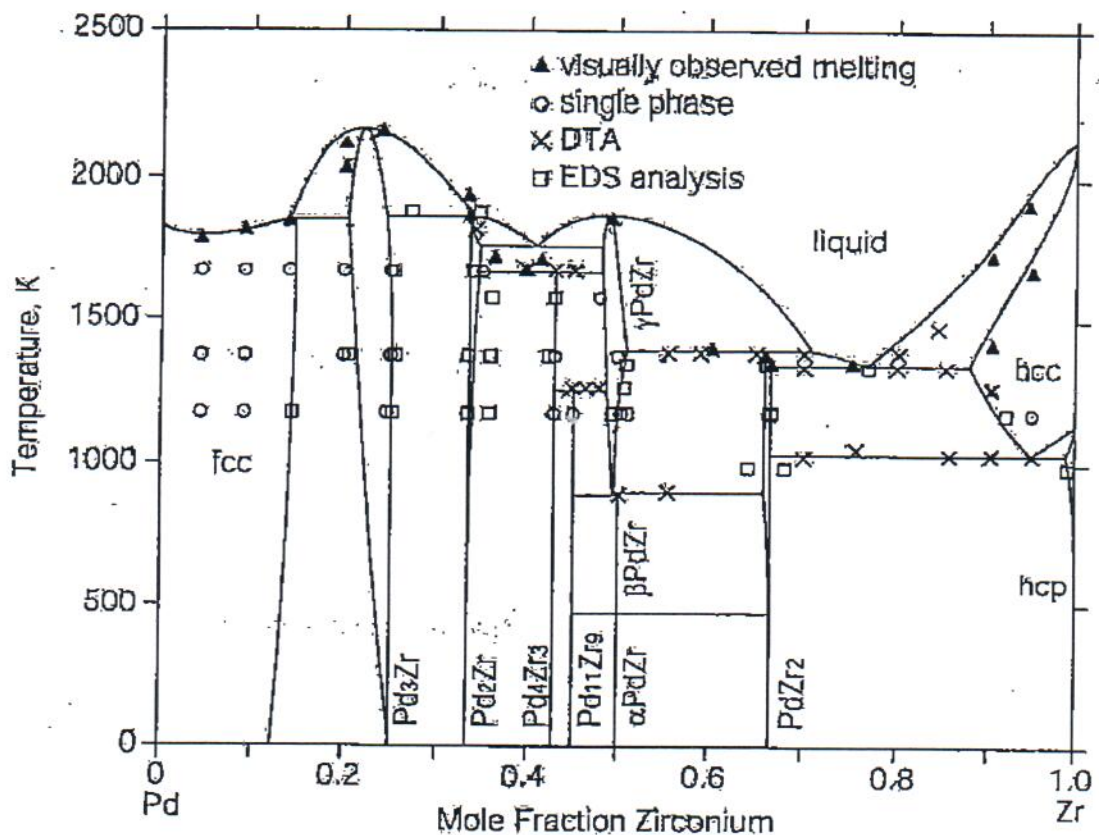


Fig. 1. Calculated Pd-Zr phase diagram by the present thermodynamic description with the experimental data measured by Waterstrat et al. [15].

七、分别画出点阵常数为 a 、具有 A1 晶体结构金属的八面体间隙、四面体间隙位置及 (110) 晶面原子的排列情况。(15 分) (仅统考生做, 单考生不做)

八、讨论具有 A1、A2 和 A3 结构金属单晶体典型的应力-应变曲线特点。(15 分)
(仅统考生做, 单考生不做)

九、分析金属铸锭的低倍组织、常见缺陷及形成原因。(30 分) (仅单考生做)



2007年.

- 一、固溶体分离：分解时不形成阶段，过饱和固溶体在一定条件下，通过自身成分的张落由上坡扩散，使杂质成分不断增加，分解成各相与母相固溶，但成分不同的固相和母相固溶体（使浓度随能下降）
2. 再结晶温度：液态金属在规定时间完成再结晶或达到规定再结晶程度时的温度
在显微可用金相法或透射法测定，以显微镜下出现第一晶核或成核率 $\frac{dN}{dt}$ 或成核速度 $\frac{dn}{dt}$ 随温度工业上以较大变形量（~7%以上）的变形金属，经1h延时完成再结晶（约24%）所对应的温度
3. 晶体缺陷：在实际晶体中由于原子（或离子对）的热运动以及晶体的形成条件一定热力学过程和其他热辐射、杂质等因素的影响，实际晶体中原子的排列不可能再除某些情况外，常存在各种偏离理想结构的情况即晶体缺陷。
4. 有序相变：固态相变由于温度变化，原子扩散困难而无法进行，且旧的习性不能保有时，可以通过扩散方式无扩散的转变成另一新相，一维长程这类型相变称固溶体相变。
5. 滑移系：晶体中一个可滑移的晶面和其上一个可滑移的晶向组合称为一个滑移系
6. 扩散的主要因素：①温度②界面③其它结构起伏④化学成分⑤晶体缺陷⑥尺寸
7. 布拉菲点阵：除考慮晶胞外形外，还考虑点阵点位的相对位置。
- （按照布氏点阵周围环境相同的要求，用数学方法推导出能成立的布氏点阵全称布氏点阵平面点体阵列，这种点阵也称布拉维点阵）
8. A_1 和 A_3 晶体中原子堆垛顺序： A_1 (面心立方 fcc) A_3 (ABCABC... 方式堆积)
- A_3 (000) 平面 AB 方式堆积
9. 金属键：聚集在一起的金属原子，全部或部分的贡献出价电子，形成电子云，金属原子则变成带负电荷浸在电子云中，依靠电子云静电作用而结合。（最外层电子数很少，就算挣脱成为自由电子，沉漫在金属正离子组成晶格中而形成电子云。由金属中的电子与金属正离子相结合而形成的键称为金属键，电子共有化元素的性质和特性。
10. 固溶体：以某一种元素在其晶体点阵中掺入该元素所形成的混合固溶体保持原有溶剂晶体结构。

二、热力学角度分析金属均形扩散时临界晶核形成速率

当液态金属中有在造桥的张落和能量涨落，可通过形成新晶核的量时，这个过程中系统自由能变化 $\Delta G = -V \Delta G_P + S \delta = -\frac{4}{3} \pi r^3 A \Delta G_P + 4 \pi r^2 \delta$

ΔG_P 变化，存在一个对应的最大值，此时称为临界形核半径，只有达到临界形核半径后，晶核才能稳定生长。 $\Delta G_P = \frac{4 \pi r}{R}$

（晶体液相结构的长程有序程度是有序，但液体中原子热运动较为混乱，在其平衡位置停留时间短故这种局部有序排列的原子集团因此消散快，即前述的结构起伏大。当温度降到一定以下，在液体中瞬聚时微小的原子集团就可能成为均形核的晶核。当过冷液体中出现晶核时，在液体中瞬聚时微小的原子集团就可能成为均形核的晶核。当过冷液体中出现晶核时，在这个区域由液体聚集为液体的晶核状态，使体系的能量降低这是相变一方面生新晶核表面引起表面能的增加，这们成为相变阻力。

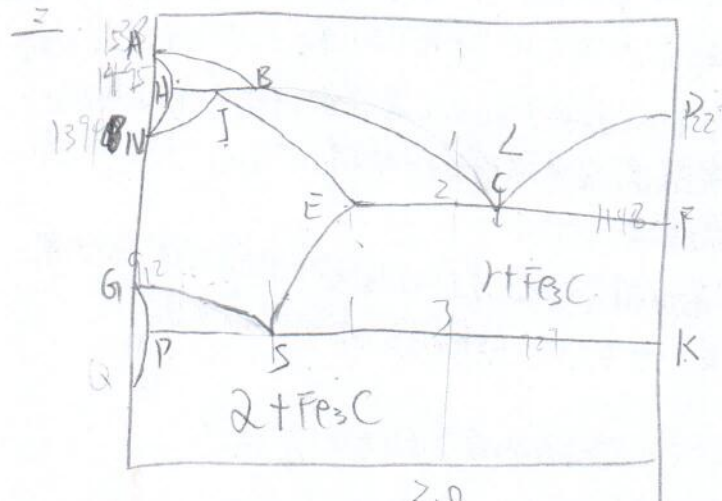
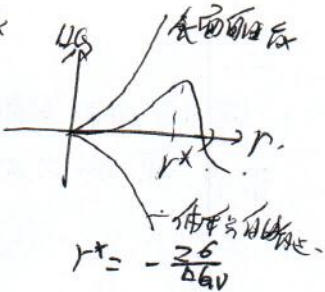
假定晶胞为球形半径为 r 进入液体中出现一个晶胞，其自由能变化

$$\Delta G = \frac{4}{3}\pi r^3 \delta G_V + 4\pi r^2 \delta F$$

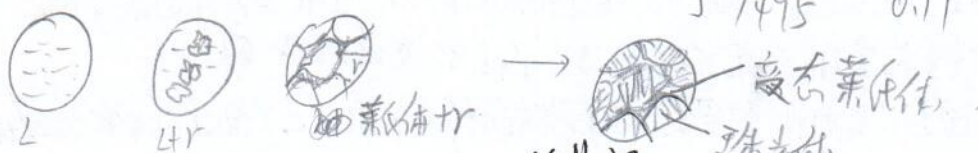
$$\Delta G_V = -\frac{2\pi a T}{r}$$

ΔG_V 与 r 是反角变化 ΔG 是 r 的函数，有一个最大值，如图，最大值对应的 r^* 为临界形核半径 $r < r^*$ 是形核不稳定。

$r > r^*$ 则 $\Delta G < 0$ 晶胞逐渐成为稳定的晶胞。



A	1538	0
B	1495	0.53%
C	912	43%
D	1227	6.69%
E	1148	2.11%
F	1148	6.69%
G	912	0
H	1495	0.09%
I	1495	0.17



$$\text{珠光体组织} = \frac{6.69 - 3.0}{6.69 - 0.77} = 6.69 \times \frac{100\%}{6.69 - 0.77} = 80.6\%$$

$$\gamma \text{ 水平 } \text{Fe}_3\text{C} = 80.6\% \times \frac{2.11 - 0.77}{6.69 - 0.77} = 18.2\% \text{ 为二次渗碳体。}$$

$$\text{珠光体完全由} \gamma \text{ 转变而成} \quad \text{先共析} \gamma = \frac{4.3 - 3}{4.3 - 0.77} = 59.4\%$$

$$\text{珠光体: } \frac{6.69 - 2.11}{6.69 - 0.77} \times 59.4\% = 46\% [(\text{Fe}_{\text{Fe}}) \times \text{共析} \gamma]$$

珠光体的量 = $46\% \times 80.6\% = 36.9\%$

珠光体的量 = $18.2\% \times 59.4\% = 10.8\%$

其中水水平的量 = $10.8\% \times 46\% = 4.9\%$

④ 扩散 第一定律及对上坡扩散 现象的解释

扩散第一定律：物质的扩散流量（单位时间内通过单位横截面所扩散的物质的量）与该物质横跨这截面的浓度梯度成正比。

数学表达式 $J = -D \frac{dP}{dx}$ J 是扩散流量 D 是扩散系数， $\frac{dP}{dx}$ 是浓度梯度。

负号代表从高浓度向低浓度扩散。

上坡扩散：指物质自发地浓度向高浓度扩散的现象。

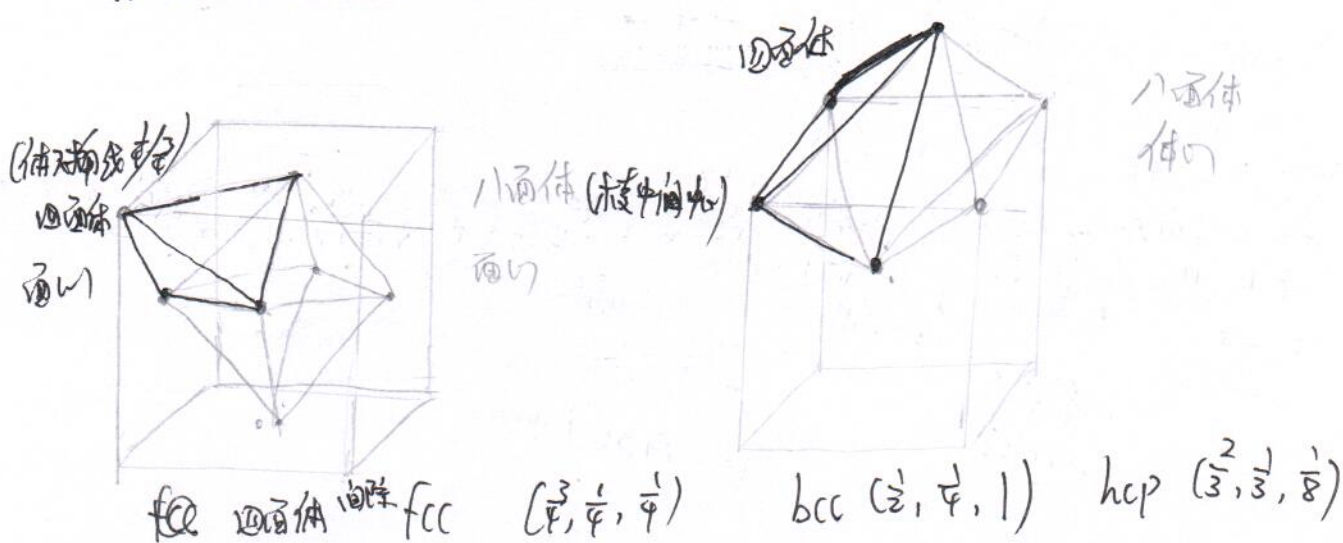
扩散的驱动力实质上是化学位能差，只是大多数时候化学位能与浓度梯度方向相同。

表现为下坡扩散的，当两者方向不一致时，即表现为主坡扩散。

五、塑变形金属 全身固溶与再结晶过程及相关性变化

① 固溶与再结晶过程：随退火时间延长或温度升高，形变组织中位错密度形成亚晶，亚晶生长，长大。固溶阶段主要是点缺陷的运动，不发生大角度界面迁移，所以晶粒形状大小不变并包围；再结晶阶段首先是在变形大的区域产生新的无组织晶粒核心，然后逐步消除包围形变基体长大，直到形变组织完全转变为主晶的无组织等轴晶粒为止，取代了长条状高密度的位错晶粒。最后在晶界表面能与云母、氧化物晶粒互相吞食长大。

② 性能变化： a. 强度硬度下降，塑性好（再结晶阶段，最明显）。 b. 电阻在固溶阶段呈明显下降趋势，再结晶阶段也有下降。 c. 在固溶过程中逐渐降低电导率，过量杂质增加 d. 内应力因点缺陷消除而大大降低，热膨胀系数也只在通过再结晶过程





各种晶格类型的实际曲线因其晶体结构类型、晶体性质、杂质含量以及试验温度等因素的不同而有所变化，但总的来说有相似的规律。图中面心立方和体心立方显示出典型的三阶段加工硬化情况。只是当含有微量杂质时，体心立方晶体则因杂质原子与滑移带互相作用，将产生不同于上述的屈服现象，并使曲线有所变化。

至于密排六方金属单晶体的滑移阶段很长远远超过其它结构晶体，以至于线性硬化阶段还未充分发展，便已进入单晶体，其滑移曲线如图。

第一阶段是滑移阶段，当它达到晶体的后，便产生很大的应力，其余率 α ($\alpha = \frac{d\sigma}{dr}$ 或 $\alpha = \frac{d\sigma}{d\varepsilon}$) 即加工硬化率。

第二阶段 线性硬化阶段 随着应变的增加应力继续增长此成直线。且余率越大，加工硬化率越高。

第三阶段 批量硬化阶段 随着应变的增加应力增长减慢 (主要机制之一定在奥氏体晶界中形成合金化滑移带和群带的应力集中使得从释放，故使硬化率下降。可见越易滑移的材料第三阶段开始越早)。



2007年。

过饱和固溶体在一定条件下

1. 液中固分解：分解时无形核阶段，通过自身成分张落，由上坡扩散使溶质成分浓度不断增加，分解成结构与母相相同，但成分不同的两种固溶体。（使体系自由能下降）。

2. 再结晶：冷变形金属在规定时间内完成或达到所规定的再结晶程度的最低温度。

3. 晶体缺陷：实际晶体中原子排列不可能像那样规则完整，常存在各种偏离理想结构的情况，称为晶体缺陷。

4. 马氏体相变：固态相变由于温度低、原子扩散困难而无法进行，旧相又难于稳定保存时，可以通过切变方式无扩散的转变成另一新相—马氏体，这类

5. 滑移系：晶体中一个可滑移的晶面和其上一个可滑移的晶向称为一个滑移系。

6. 影响扩散的主要因素：①温度；②界面；③其它结构缺陷；④化学成分（第三组元）
⑤晶体结构；⑥熔点。

7. 布拉菲点阵：除考虑晶胞外形外，还考虑点阵点位置所构成的点阵。

8. Al 和 A_3 晶体中原子堆积方式：都是紧密堆积，配位数都是 12，不同的是 Al 中

Al 沿 $\{111\}$ 面按 ABCABC 方式堆积， A_3 沿 $\{0001\}$ 面按 ABABAB 方式堆积。

9. 金属键：聚集态的金属原子，全部或部分的贡献出价电子，形成电子云，金属原子则变成离子，沉浸在于电子云中，依靠电子云静电作用而结合。

10. 固溶体：以某一固元为溶剂，在其晶体点阵中溶入溶质组元的原子所形成的均匀混合固溶体，保持原溶剂组元晶体结构。

二、从热力学角度分析金属结晶均勻形核时临界晶核形成过程

答：液态金属中存在结构张落和能量张落，从而形成稳定的晶核，这个过程中系统自由能变化 $\Delta G = -V \Delta G_p + S \Delta T = -\frac{4}{3} \pi r^3 \Delta G_p + 4 \pi r^2 \Delta T$

由 ΔG 随 r 变化，存在一个对应的极小值，此时的 r 称为临界晶核半径；只有达到临界晶核半径后，晶核才能稳定出现 $\Delta G_p = \frac{\Delta \Omega T}{T_E}$

由此得出



三、分别画出 Fe-C 合金相图 3.0% wt 亚共晶白口铸铁从液相缓慢冷却至室温时组织转变示意图，并计算室温时各组织相对量



$$\text{珠光体} = \frac{4.3-3.0}{4.3-2.1} \times 100\% = 60\%$$

$$\text{变态莱氏体} = \frac{2.0-0.77}{4.33-0.77} \times 100\% = \text{变态莱氏体: } 40\%$$

二次渗碳体 = 沉淀

先算出总共有多少奥氏体。因为二次渗碳体是从奥氏体中析出的，不论是共析还是 L 中的。

$$Y\% = \frac{6.69-3}{6.69-2.1} = 80.6\% \quad \text{这 } 80.6\% \text{ 的奥氏体会析出多少二次 } Fe_3C \text{ 呢？}$$

$$80.6\% \times \frac{2.11-0.77}{6.69-0.77} = 18.2\% \text{ 的二次渗碳体}$$

珠光体完全由共析子转变而成 共析子: $\frac{4.3-3}{4.3-2.1} \times 100\% = 59.4\%$

$$\text{变态 } L \text{ 会转变成珠光体呢? } \frac{6.69-2.1}{6.69-0.77} \times 59.4\% = 46\%$$

$$\text{变态 } L: 1 - 18.2\% - 46\% = 35.8\%$$

四、简述扩散的第一定律及对“上坡扩散”现象的解释

答：扩散第一定律：某物质在单位时间内的扩散流量（单位时间内通过单位横截面积所传输的物质质量）与该物质横跨这一截面的浓度梯度成正比。

数学表达式： $J = -D \frac{dx}{dz}$ J 是扩散流量，D 是扩散系数， $\frac{dx}{dz}$ 是浓度梯度。

负号代表从高浓度流向低浓度。

上坡扩散是指物质自发由低浓度向高浓度扩散的现象。

扩散的驱动力实质上是化学梯度，只是有时候化学梯度与浓度梯度方向相同，表现出下坡扩散，当两者方向不一致时即表现出上坡扩散。

五、分析冷变形金属或合金回复与再结晶过程及相变性能变化。

答：① 回复与再结晶过程：随退火时间延长或温度升高，形变组织中位错缠结成形形成亚晶，亚晶合并、长大。回复阶段主要是点缺陷运动，不发生大角度晶界迁移，所以晶粒形状、大小仍与变形态相同；再结晶阶段，

② 位错密度与亚晶界的关糸？ P188



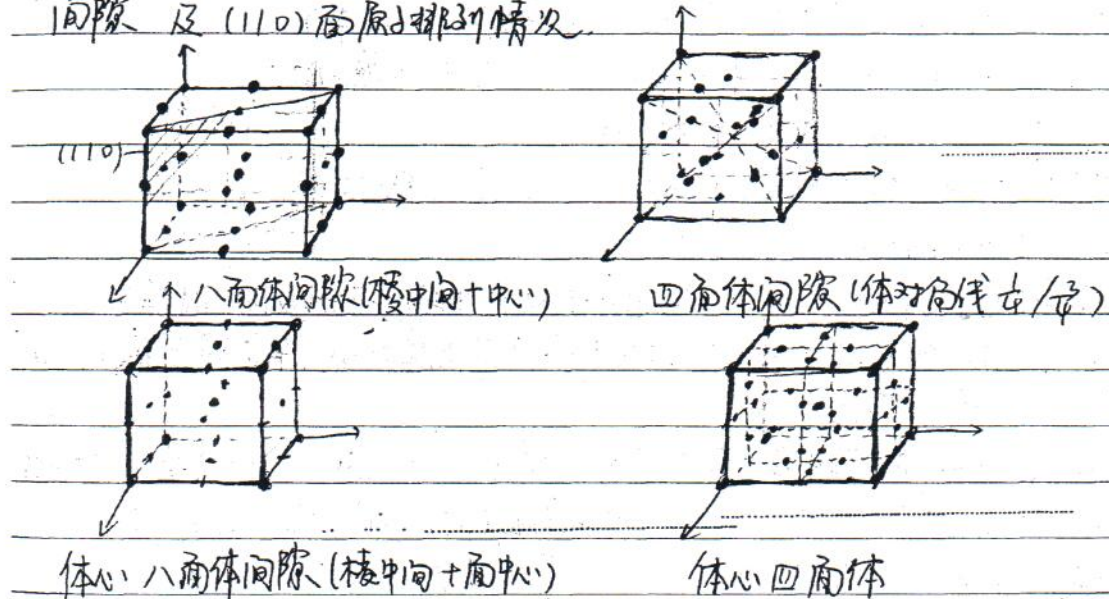
首先是畸变度大的区域产生新的畸变度晶核核心，然后逐步消耗周围形变基体长大，直到形变组织完全成为新的、畸变度的等轴细晶为止，取代了长条状高位错密度的形变晶粒。最后在晶界表面能驱动下，新相晶粒互相吞食长大。

③性能变化：①强度、硬度下降，塑性上升（再结晶阶段）②电阻在回复阶段已成明显下降趋势，再结晶阶段也有下降；③密度在回复过程逐渐升高，再结晶过程急剧增高。

④内应力：回复阶段可消除大部分宏观应力，微观内应力只有通过再结晶过程。

~~四、回火~~ 六、讨论

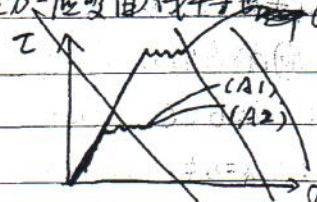
七、分别画出点阵常数为 a ，具有A1晶体结构金属的八面体间隙、四面体间隙及(110)面原子排列情况。



八、讨论具有A1、A2、A3结构金属单晶体典型的应力-应变曲线特点

猜测：

八：见 Φ_{40} (本)





2006 年攻读硕士学位研究生入学考试试题

考试科目：金属学

适用专业：材料加工工程、材料学、材料科学与工程

说 明：统考生做一至八题；单考生做二、三、四（2）、五、六、七（1）、八至十一题

一、晶体结构（20 分）

1. (以面心立方晶胞为例) 描述晶体结构(晶胞)特征的常用参数有哪些?
2. 在体心立方晶胞中画出一个最密排方向并标明晶向指数；再画出过该方向的两个不同的低指数(简单)晶面，写出对应的晶面指数。这两个面和与其平行的密排方向构成什么关系？

二、合金相（20 分）

1. (以金属为基的) 固溶体与中间相的主要差异(如结构、键性、性能)是什么?
2. 纯金属中溶入另一组元后(假设不会产生新相)会带来哪些微观结构上的变化?这些变化如何引起性能上的变化?

三、晶体缺陷（20 分）

1. 点缺陷(如间隙原子或代位原子)和线缺陷(如位错)为何会发生交互作用?这种交互作用如何影响力学性能?
2. 举例或画图说明什么是小角晶界的位错模型?描述大角晶界有何模型?其含义是什么?

四、相图及凝固（30 分）

1. 图 11-1 为铁碳相图和一个含 3.5% C 的铁碳合金缓冷凝固组织。说明或示意画出此合金由液相缓冷到共析温度以下的组织变化过程，并说明图 11-1b 的最终组织；计算图 11-1b 中箭头所指的树枝状组织的重量百分量；再分别计算共析转变后合金中铁素体和全部的珠光体组织重量百分量 (Fe_3C 含 6.69% C)。
2. 图 11-2 为一连铸坯低倍组织照片，说明各晶区的名称及成因；若想得到更多的等轴晶粒，可采用哪些方法或措施？



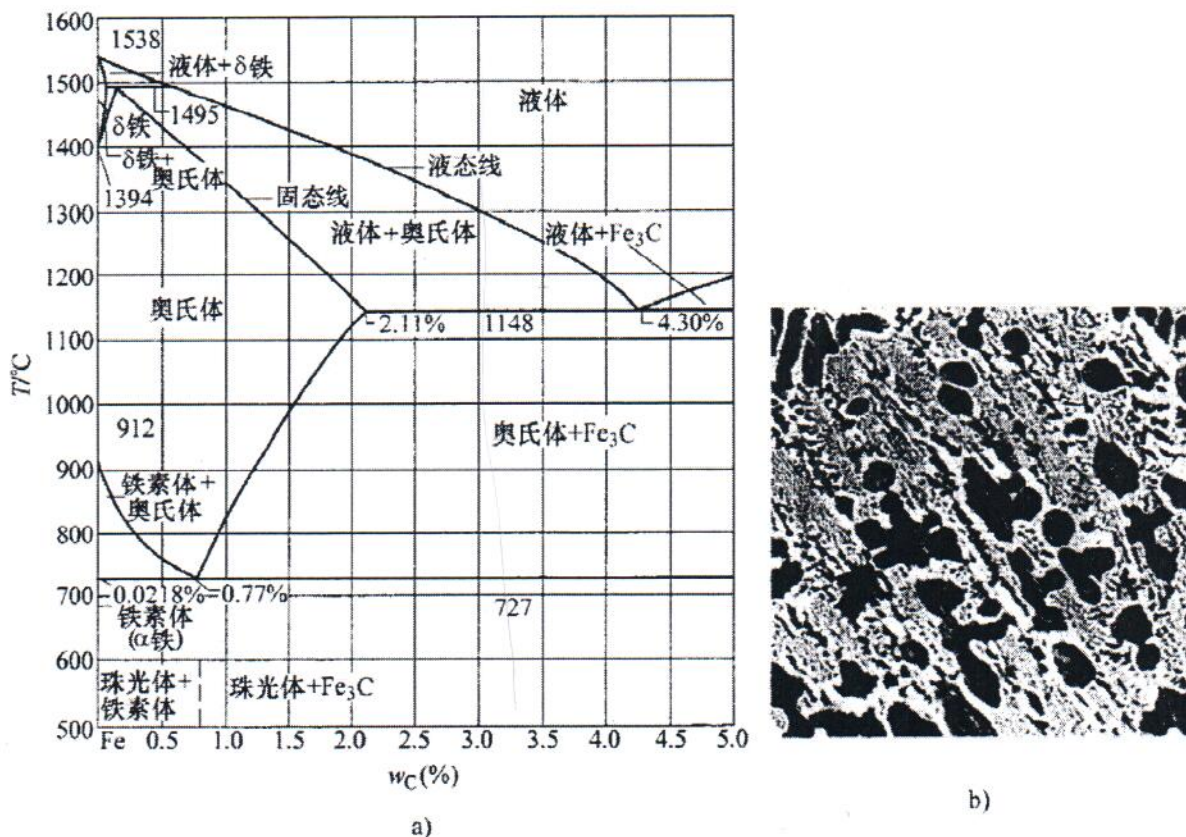


图 11-1 第四题第 1 小题图

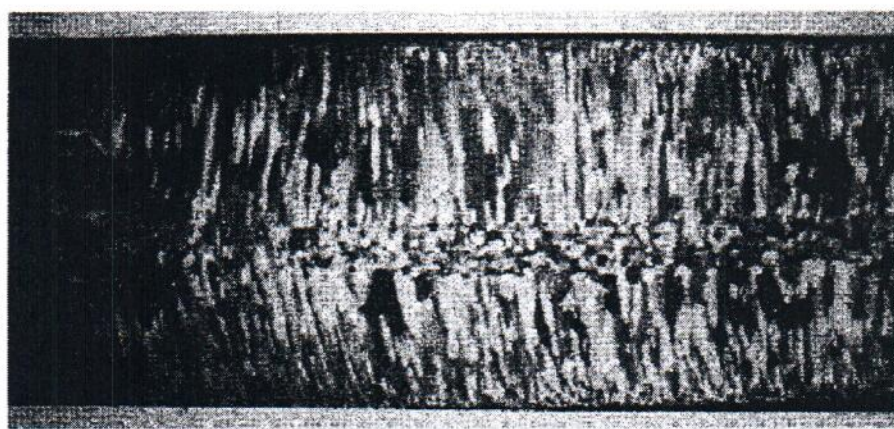


图 11-2 第四题第 2 小题图

五、扩散 (10 分)

扩散的微观机制有哪些？一般情况下，哪种机制扩散快一些？一个经凝固而有微观非平衡偏析的合金，采用哪些措施可加速扩散使合金均匀化？描述该过程应用哪种扩散第二定律的解？

六、形变 (20 分)



1. 写出面心立方金属的一个具体的滑移系；多晶体变形时，在一定的形变量下，为何有的晶粒内是单系滑移而另一些晶粒内是多系滑移？为何有的晶粒内滑移量大而另一些晶粒内滑移量小？

2. 什么是形变织构？有哪几类？如何表示？

七、再结晶（20分）

1. 简述回复再结晶退火时材料组织和性能变化的规律；为何实际生产中常需要再结晶退火？

2. 再结晶形核地点有什么特点或特征？哪些地点可能是优先的形核地点？

八、固态相变（10分）

什么是连续脱溶？若一个过饱和固溶体在不同时效条件下分别得到如图 11-3 所示的规则形状和不规则形状析出物，该现象说明什么？形成两种组织的大致条件（或工艺）各是什么？

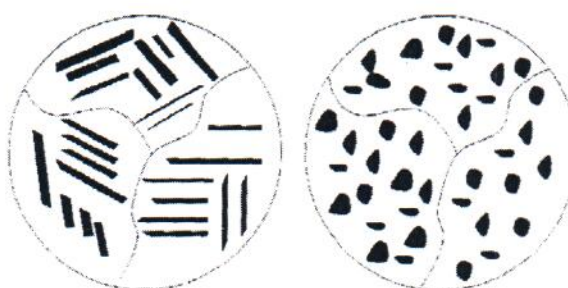


图 11-3 第八题图

九、晶体结构（20分）

1. （以体心立方晶胞为例）描述晶体结构（晶胞）几何特征的常用参数有哪些？

2. 在面心立方晶体结构晶胞中画出一个最密排方向并标明晶向指数；再画出过该方向的两个不同的低指数（简单）晶面，写出对应的晶面指数。这两个面和与其平行的密排方向构成什么关系？

十、相图及凝固（20分）

参照图 11-1a（第四题）提供的铁碳相图，说明并示意画出含碳 1.3% 的铁碳合金由液相缓冷到共析温度以下的组织变化过程；计算该合金二次渗碳体的最大重量百分量；再分别计算共析转变后合金中铁素体和珠光体组织重量百分量。

十一、再结晶（10分）

再结晶完成后的晶粒长大过程中，晶粒的平衡形貌（二维条件下）是直的六边形；多于六边的晶粒将吞并少于六边的晶粒而长大。解释原因。



	面心 fcc	体心 bcc	密排 hcp
点阵系数	a	a	a
原子半径	$\frac{\sqrt{2}}{4}a$	$\frac{\sqrt{3}}{4}a$	$\frac{3}{4}a = \frac{1}{2}c_L$
原子数	6	2	4
配位数	12	8	12
致密度	0.74	0.68	0.74
(1) 四面体间隙 大小	8 $0.225R$	12 $0.291R$	12 $0.225R$
八面体间隙 大小	4 $0.414R$	6 $0.0070.154R$ $0.1080.633R$	6 $0.444R$
体心立方， $\langle 110 \rangle$	$\langle 111 \rangle$	面心立方 密排面 $\langle 111 \rangle$ 密排面 $\langle 110 \rangle$	面心立方 密排面 $\langle 111 \rangle$ 密排面 $\langle 110 \rangle$
	$\langle 101 \rangle$	体心立方 密排面 $\langle 110 \rangle$ 密排面 $\langle 111 \rangle$	体心立方 密排面 $\langle 110 \rangle$ 密排面 $\langle 111 \rangle$
	$\langle 110 \rangle$	构成晶带关系	



面心立方 密排面 $\langle 111 \rangle$
密排面 $\langle 110 \rangle$

体心立方 密排面 $\langle 110 \rangle$
密排面 $\langle 111 \rangle$

构成晶带关系

二、固溶体与中间相关系

固溶体保持纯金属的晶体结构，中间相的结构一般比两组元的结构都简单；固溶体原子间以金属键为主，中间相以共价键及离子键为主。固溶体塑、韧性好，中间相强度高，韧性较差。

2. 引起晶格畸变，晶格常数会改变，对于置换固溶体当原子半径 $r_B > r_A$ (溶质半径大于溶剂)

纯金属溶入另一组元后 不产生新相说明形成了固溶体
溶质原子周围晶格膨胀平均晶格常数增大，当 $r_B < r_A$ 时溶质原子周围晶格收缩晶格常数减小；对于间隙固溶体而言，晶格常数随着溶质原子的溶入量而增大的。

除发生晶格畸变以外，还会发生局部偏聚和有序化过程，甚至出现第二相。
发生固溶强化致使强度提高，塑性降低。

物理性能变化：电阻率一般增大，电阻温度系数降低，还可以提高磁导率。

三、点缺陷与线缺陷的交互作用：

点缺陷产生点阵畸变，使局部能量提高，附近有弹性应变场，位错也是如此。
但位错周围不同位置应力场状态不同，有的为压应力，有的为拉应力，点缺陷会聚集到位错上使应变能降低，使系统的能量下降。吸附溶质的位错是一种能量很高的；
此时位错被钉扎而难以运动，使之强度提高，会产生上下屈服之现象。

2. 小角度晶界可看成是由大量的，两侧原子完全对位/匹配的好坏和一些平行或相垂直的位错组成。取向差完全是靠位错产生的；晶界能是位错能量的加和。

小角度晶界分为（位错模型）

平行称化角度晶界：可看成由一系列平行的而位错垂直堆积而成

不对称化角度晶界：可看成由一系列相互垂直的而位错交叉堆积而成

扭转变晶界：由一系列的螺型位错组成

大角度晶界模型有

过渡模型：晶界处原子处于过渡状态取向折中位置

小岛模型：晶界区一部分原子是正常的平行排列好且另一部分不配合为不规则/杂乱/如岛屿似的分布在晶界处。

重叠层模型：一些大角度晶界界上一部分原子归属于两侧的晶面而过其堆积时能量最低。

大角度晶界能：断续带以及临近层，原子错位化产生的能量。

④ 钢铁碳相图中含3.5%的铁碳合金缓冷凝固组织。

液相冷却时先形成共晶奥氏体枝晶，剩余的液体进行结晶形成莱氏体。

凝固完毕，继续冷却时奥氏体枝晶周围析出二次渗碳体，到共析温度后，奥氏体转变至共析体，最后得到枝晶状分布的正共析体和变态共析体。

黑色为枝晶状正共析体是由奥氏体枝晶共析转变而来，其相对量为

$$W_{\text{正共析}} = \frac{4.3 - 3.5}{4.3 - 2.11} \times 100\% = 36.36\%$$

平衡计算时还应扣除，即为过冷度即

$$W_{\text{正共析}} - W_{\text{奥氏体}} \times \frac{(2.11 - 0.77)}{6.69 - 0.77} = 36.36\% - 8.17\% = 28.19\%$$

$$W_{\text{铁素体}} = (6.69 - 3.5) / (6.69 - 0.0218) \times 100\% = 47.84\%$$

$$W_{\text{正共析}} = (6.69 - 3.5) / (6.69 - 0.77) \times 100\% = 53.89\%$$

2. 该照片显示出激冷区，柱状晶区和粗大等轴晶区。① 因铸模温度低造成离铸模近区形成陡峭的温度梯度同时发生对流，使内部液体加快流动

加之铸模壁提供非常的形核场所，在此以铸件外层迅速形成细晶粒外壳。

② 柱状晶区：由于外层铸模壁于液体分离，冷却速度慢（如金属收缩和结晶潜热的吸收）液体和温度梯度变小，形成率下降，使得靠近液体侧的小晶粒可以以枝晶形式充分生长，其生长与底层生长的枝晶生长迅速并伸进二级枝，生长迅速抑制其它枝晶，最终形成粗大的柱状晶。

3. 柱状晶生长到一定距离，由于前边液体远离铸模壁，散热困难，因此水冷壁

柱状晶生长，溶液温度降低到一定以下时出现许多晶粒并沿各方向生长，就形成了晶区。

4. 缓冲方法：加强电弧丝机构或搅拌加入非极性的防锈剂或润滑剂。

5. 增大扩散等轴晶区。

五. 微观机制有 ① 交换机制 ② 间隙机制 ③ 空位机制

① 交换机制：相邻原子互换位置，会引起大的畸变和大的扩散能不太可能

② 间隙机制：间隙扩晶中，原子从晶体中间间隙位置迁移到另一个间隙位置

(即空位存在在晶体中间隙中，扩晶过程是间隙原子从所处的间隙掠过晶格原子空隙，至达相交之另一间隙)

③ 空位机制：在 ~~交换固溶体~~ 中存在空位周围原子的势能运动可能进入空位，即利用空位最后到达迁移。

④ 晶界扩晶及表面扩散。

间隙机制扩散更快，因间隙原子尺寸小，又不需要空位。
若是固态有观察非平衡偏析的合金可以利用扩散退火，形变后再退火，高能点子能量
提高空位浓度加强扩散（但不经济，不实用）。适用于正弦解扩散时扩散时扩散体
取点偏析合金中某点成分与合金平均成分相似做为坐标原点，因其组成成
分随时间变化，因此此由淬火冷却分布类似于正弦曲线 $C = C_0 \sin \frac{\pi x}{L}$
随时间增加，浓度由高浓度向低浓度扩散，扩散系数 $D = D_0 \exp(-\frac{E}{RT})$
随扩散方向的角 $\theta = \left(\ln \frac{C_0}{C} \right)^2 e^{-\frac{E}{RT}}$ 随时间增加扩散系数减少
并趋零。

在浓度峰值处 $C_{\text{max}} = C_0 \sin \frac{\pi x}{L} = \pm 1$ $\theta = \frac{L^2}{4D_0} \ln \frac{2x}{L} = \pm 1$ $D = D_0 \exp(-\frac{E}{RT})$
乙级降低扩散平均化速度， a 增加退火温度 $\rightarrow D \uparrow$ ，扩散系数 D 和扩散系数 θ

六. ~~(111), fcc (111) <110>~~ - 一个滑移系，晶粒中某一个滑移系相对平行面的取向

因子相对滑移开动，取向因子小的后滑移开动，拥有细滑移系的晶体，滑移首先在
取向最有利的滑移系中进行，但由于变形对晶面转动力的差异，另一组滑移面上的运动
也可能逐渐增加到足以发生滑移的临界值以后，于是晶体的滑移系就可能在两个或更多个
滑移面上进行或交替进行从而产生多滑移系，这也是为何晶粒运动有的是单系滑移而有时是
多系滑移 - 一晶面转动力的结果。

除会有多系滑移外，还可能发生双滑移，即两个或两个滑移系同时向同一方向同时运动
滑移，这就可以使得其在一个面上遇到阻碍从另一位置可从原滑移面转移至使之运动
的另一滑移面上继续滑移，这也是为何有的晶粒内滑移量大而另一些晶粒内滑移量小的原因

② 形变织构：在塑性变形过程中随着形变程度的增加，各个晶粒的滑移面和
滑移方向都随变形方向转动逐渐使各晶体在空间取向上呈现一定规律性，这一类
组织择优取向，这种组织状态称形变织构。

由加工变形方式不同分板组织和丝组织。拉丝时形成的组织称为丝组织，特征组织
粒度某晶面大致与拉丝方向相平行；轧板时形成的组织称为板组织，其主要特征：
各晶粒的某一晶面和晶向趋于与轧面和轧向相平行，用 $\langle UUVW \rangle$

七、1. 随退火温度的升高或退火时间的延长，形变组织中的位错密度将演变为亚晶，亚晶进行合并长大；在形变不均区发生再结晶形核及长大，等轴晶取代形成长条晶片；随后是晶粒正常长大；在恒温区：强度硬度下降，塑性下降，韧性提高，冲击提高。这些过程在再结晶阶段比回复阶段更显著。材料不能塑性恢复而造成强烈的硬化，这又以继续加热；同时，形变组织不稳定，韧性差，使用性能不好；再有，强度和硬度增加的形成也是不希望的。

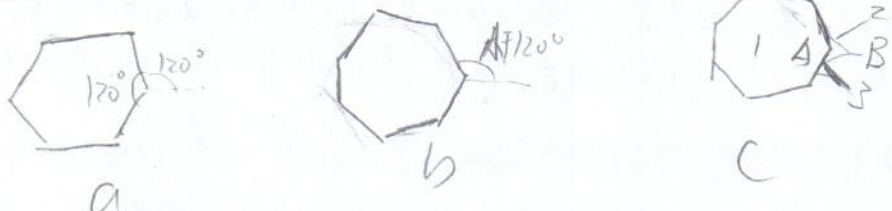
2. 局部晶粒的位置易变，变形储存能，或有大的位错密度带，高迁移率大角晶带，优先形核于其中：原始晶界，形变时形成的高大角晶带或通过亚晶长大逐步形成大角晶带，第二相粒子附近等。

八、脱溶：脱溶的过程也在温内进行。基体成分在脱溶时连同平衡地由过饱和状态变为饱和状态，这种脱溶过程称为连续脱溶。

从图中两个图不同可知，因为固溶相度系数和形核形状和应力有关，当界面能大于颗粒起作用时易形成针状图①，当界面能起主导作用时易形成球状。若是脱溶完成后，可能会发生颗粒聚集的现象，新相逐渐变成球状，所以图②。若是脱溶完成后的不稳定性，图①可能是仍有互相接触的亚颗粒相。

脱溶完成后的不稳定性，图①可能是高温度扩散或低温时效下长时间时效，图②若是完成了脱溶过程，那么可能是高温时效或高温度时效，时效效果基本已经消失。图①若是过液相，则在图②低温度时效或高温度时效时，时效效果有。

九、晶粒呈直六边形且两边各成 120° 夹角时，界面张力平衡，晶界无张力，如图A。若晶粒呈十边形，则角小于 120° 而造成过大的向外的界面张力，从而使三叉晶界结合并向晶界外移动至B，以保持结合处的界面张力平衡至保持 120° 的夹角，其结果使相邻两个晶界为向外凸的弯曲界面，产生向外的压力并由此关系；其结果使相邻两个晶界为向外凸的弯曲界面，产生向外的压力并由此关系；其结果使相邻两个晶界为向外凸的弯曲界面，产生向外的压力并由此关系；其结果使相邻两个晶界为向外凸的弯曲界面，产生向外的压力并由此关系。



参考答案

一、

1. FCC 晶胞中的原子个数 4，密排面 $\{111\}$ 及密排方向 $<110>$ ，配位数 12，原子半径 $\sqrt{2}a/4$ ；间隙位置（八面体间隙在体心及等效位置）及个数 4，堆垛顺序 $ABCABC$ ，致密度 0.74。

2. 如图 11-4，构成晶带关系。

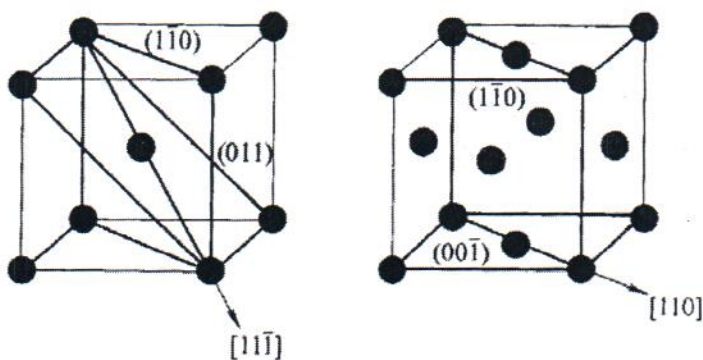


图 11-4 第一题第 2 小题解答图

二、

1. 固溶体保持纯金属的晶体结构，中间相的结构一般与两组元的结构都不同；固溶体原子间以金属键为主，中间相以共价键及离子键为主；固溶体塑、韧性好，中间相的强度高，韧性较差。

2. 引起点阵畸变，点阵常数会改变；会产生局部偏聚或有序，甚至出现超结构。因固溶强化使强度提高，塑性降低；电阻一般增大。

三、

1. 点缺陷产生畸变，使局部能量提高，附近有弹性应变场；位错也是如此，但位错周围不同位置应力场状态不同，有的为压应力，有的为拉应力；点缺陷会聚集到位错上使应变能降低，使系统的能量下降，吸附溶质的位错是一种稳定组态；此时位错被钉扎而难以运动，使强度提高，会产生上下屈服点效应。

2. 小角晶界可看成是由大量的、两侧原子完全对应/匹配的好区和一组平行或相互垂直的位错组成，取向差完全是靠位错产生的；晶界能是位错能量的加和。大角度晶界模型有非晶模型、小岛模型、重合位置点阵模型，后者的含义是特殊的大角晶界内一部分原子同属界面两侧点阵，重合点本身构成一超点阵，晶界过其密排面时能量较低。



四、

1. 液相冷却时，先形成先共晶奥氏体枝晶，剩余的液相进行共晶形成莱氏体，凝固完毕。继续冷却时奥氏体枝晶周围析出二次渗碳体，到共析温度后，奥氏体转变为珠光体，最后得到枝晶状分布的珠光体和变态莱氏体。

箭头所指的是枝晶状珠光体，它是由奥氏体枝晶转变来的，其相对量为：

$$w_{\text{奥氏体}} = (4.3 - 3.5)/(4.3 - 2.1) \times 100\% = 36.36\%$$

严格计算时还应扣除二次渗碳体，即：

$$w_{\text{奥氏体}} - w_{\text{奥氏体}} \times (2.1 - 0.77)/(6.69 - 0.77) = 36.36\% - 8.17\% = 28.19\%$$

$$w_{\text{铁素体}} = (6.69 - 3.5)/(6.69 - 0.0218) \times 100\% = 47.84\%$$

$$w_{\text{珠光体}} = (6.69 - 3.5)/(6.69 - 0.77) \times 100\% = 53.89\%$$

2. 该照片显示出激冷区、柱状晶区和粗等轴晶区。因铸模温度低造成激冷而形成细等轴晶区；因正的温度梯度和固定的散热方向而形成平行的柱状晶区；因中心液相区内的过冷或冲刷过来的碎枝晶而独立形核形成中心粗等轴晶。

加强电磁或机械搅拌，加入非均匀形核剂或孕育剂，预热钢模快冷，可扩大等轴晶区。

五、扩散的微观机制主要有间隙机制和代位机制。按间隙机制扩散时更快，因间隙原子尺寸小，又不需空位的存在。可通过加热退火、形变后再退火、高能粒子辐射提高空位浓度加强扩散（但不经济不实用）。用正弦解可描述扩散时的浓度分布。

六、

1. 如 $(111)[\bar{1}10]$ ；这是形变的不均匀性；晶粒中某一滑移系相对于力轴的取向因子大时先滑移开动，取向因子小时后滑移开动，所以各晶粒的形变量不同；硬取向力轴引起多系滑移，如 $<111>$ 、 $<100>$ 、 $<110>$ 方向，软取向力轴对应单系滑移，如 $<123>$ 方向。

2. 形变过程导致晶粒发生转动，最后各晶粒内的某些晶向趋于平行，这种因形变而导致取向择优称为形变织构。织构分为板组织和丝组织；板组织表示为 $\{HKL\} <uvw>$ ，表示经轧制变形后，晶粒的 $\{HKL\}$ 面转向平行于轧面，晶粒的 $<uvw>$ 方向转到平行于轧向。丝组织表示为 $<uvw>$ 。答轧制织构、拔丝组织也得分。

七、

1. 随退火温度的升高或退火时间的延长，形变组织中的位错缠结演变为亚晶，亚晶进行合并并长大；在形变不均匀区内发生再结晶形核及长大，等轴晶取



代形变长条晶粒；随后是晶粒正常长大；在性能上，强度、硬度下降，电阻下降；塑、韧性提高，密度提高。这些过程在再结晶阶段比回复阶段更显著。材料不断的塑性变形造成强烈的加工硬化，难以继续加工；同时，形变组织不稳定，韧性、塑性差，使用性能不好；再有，强的形变织构的形成也是不希望的。

2. 局部高的位错密度/形变储存能，或有大的位错密度差异；高迁移率大角晶界附近。优先形核地点为：原始晶界、形变时形成的新大角晶界处或通过亚晶长大而逐步形成的大角晶界、第二相粒子附近等。

八、脱溶均匀地在晶内进行，基体成分在脱溶时连续平缓地由过饱和状态变为饱和状态，这种脱溶称为连续脱溶。所示图说明有强烈的应变能或界面能的阻力作用，析出相形态可控制。左图说明新相与基体有特定的取向关系，可能是亚稳相；右图一般不存在特定的取向关系，多为稳定相。

左图组织可能在较低温度时效，或稍高温度短时间时效得到；右图可能为高温时效，或低温长时间过时效得到。

九、

1. BCC 晶胞中的原子个数 2，密排面 {110} 及密排方向 <111>，配位数 8 + 6，原子半径 $\sqrt{3}a/4$ ；间隙位置（八面体间隙在面心及等效位置）及个数 6，致密度 0.68。

2. 见前面第一题第 2 小题答案。

十、液相冷却时，先形成先共晶奥氏体枝晶或等轴晶，直至凝固完毕。继续冷却时奥氏体枝晶无变化，到渗碳体在奥氏体的溶解度曲线后，沿晶界析出少量二次渗碳体。到共析温度后，剩余的奥氏体转变为珠光体，最后得到珠光体和少量网状渗碳体。

网状二次渗碳体的最大重量百分量：

$$w_{\text{渗碳体}} = (1.3 - 0.77) / (6.69 - 0.77) \times 100\% = 8.95\%$$

共析转变后合金中铁素体重量百分量：

$$w_{\text{铁素体}} = (6.69 - 1.3) / (6.69 - 0.0218) \times 100\% = 80.83\%$$

珠光体组织重量百分量：

$$w_{\text{珠光体}} = (6.69 - 1.3) / (6.69 - 0.77) \times 100\% = 91.05\%$$

十一、晶粒呈直六边形且两边界成 120° 夹角时，各界面张力平衡，晶界稳定，如图 11-5a 所示；若晶粒呈直七边形，则外角小于 120° 而造成过大的向外的界面张力合力，从而使三叉晶界结点 A 向晶外移动到 B，以保持结点张力平衡到保持 120° 的夹角关系；其结果使相邻两侧晶界为向外凹的，生向外的压力并向外迁移，从而使该晶粒 1 变大，2、3 晶粒缩小 c 所示。少于六边晶粒的变化可类似讨论。



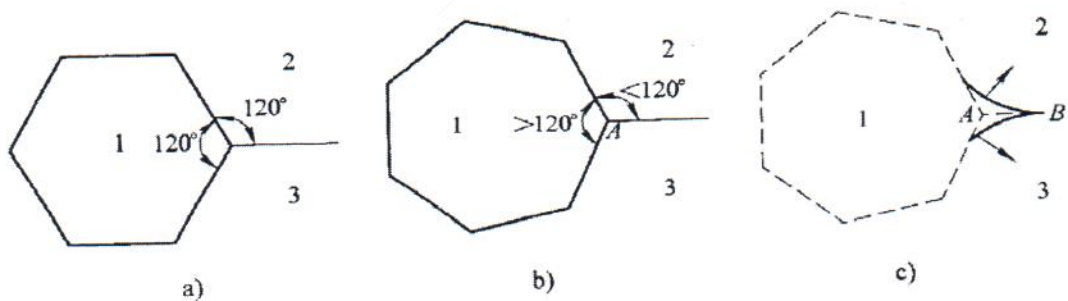


图 11-5 第十一题解答图



2005 年攻读硕士学位研究生入学考试试题

考试科目：金属学

适用专业：材料学、材料科学与工程、材料加工工程

说 明：统考生做一至九题；单考生做一至六和十至十二题

一、晶体结构 (20 分)

- 什么是晶面族？ $\{111\}$ 晶面族包含哪些晶面？
- 面心立方结构金属的 $[100]$ 和 $[111]$ 晶向间的夹角是多少？ $\{100\}$ 面间距是多少？
- 面心立方结构和密排六方结构金属中的原子堆垛方式和致密度是否有差异？请加以说明。

二、合金相 (15 分)

- 解释间隙固溶体和间隙相的含义，并加以比较。
- 为什么固溶体的强度常比纯金属高？

三、晶体缺陷 (15 分)

- 晶体内若有较多的线缺陷（位错）或面缺陷（晶界、孪晶界等），其强度会明显升高，这些现象称为什么？强度提高的原因是什么？
- 上述的两类缺陷是怎样进入晶体的？举例说明如何提高这些缺陷的数目？

四、相图热力学 (10 分)

利用图 10-1 的自由能-成分曲线说明，公切线将成分范围分成三个区域，各区域内哪些相稳定？为什么？

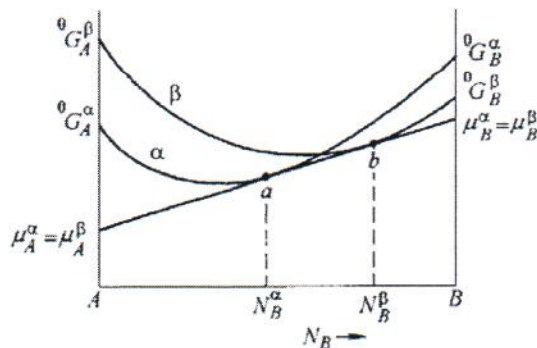


图 10-1 第四题图



五、凝固 (20 分)

- 相同过冷度下比较均匀形核与非均匀形核的临界半径、临界形核功、临界晶核体积，哪个大？
- 合金凝固时的液/固界面前沿通常比纯金属液/固界面前沿更容易出现过冷？为什么？
- 典型的金属（如铁）和典型的非金属（如硅，石墨）在液相中单独生长时的形貌差异是什么？

六、扩散 (20 分)

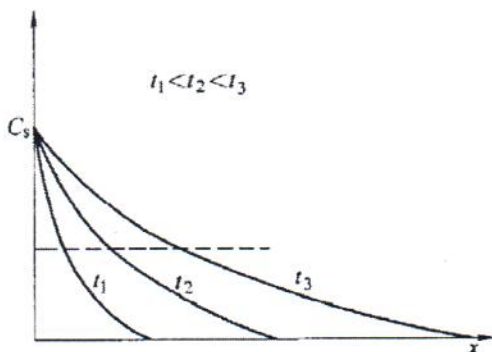


图 10-2 第六题第 1 小题图

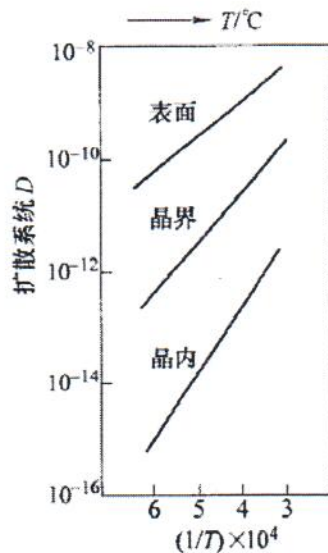


图 10-3 第六题第 2 小题图

1. 菲克第二定律的解之一是误差函数解， $C = A + B \operatorname{erf}\left(\frac{x}{2\sqrt{Dt}}\right)$ ，它可用于纯铁的渗碳过程。若温度固定，不同时间碳的浓度分布则如图 10-2。已知渗碳 1 小时后达到某一特定浓度的渗碳层厚度为 0.5mm，问再继续渗碳 8 小时后，相同浓度的渗层厚度是多少？

2. 图 10-3 为测出的钽在不同温度及以不同方式扩散时扩散系数与温度的关系，从该实验数据图中能得出哪些信息？

七、形变 (20 分)

1. 常温下金属塑性变形有哪些主要机制？它们间的主要差异是什么？

2. 面心立方金属铜在三种不同条件下的真应力-应变曲线如图 10-4。说明它们可能是在怎样的温度和应变速率下形成的？为何有

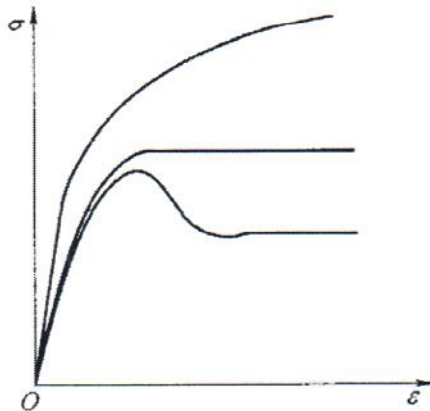


图 10-4 第七题第 2 小题图



这样的形状？

3. 什么是上、下屈服点效应（在纯铁或低碳钢中）？原因是什么？

八、再结晶（20分）

1. 给出金属发生再结晶的基本条件（驱动力）。

2. 指出再结晶、结晶、固态相变之间的主要区别。

3. 图 10-5 示意画出一种常见的再结晶形核机制，请解释该地点优先形核的原因和形核过程。

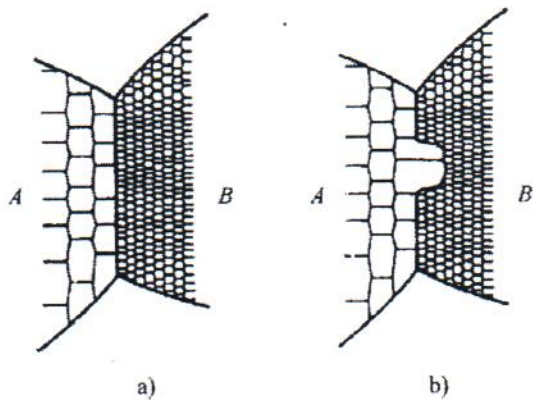
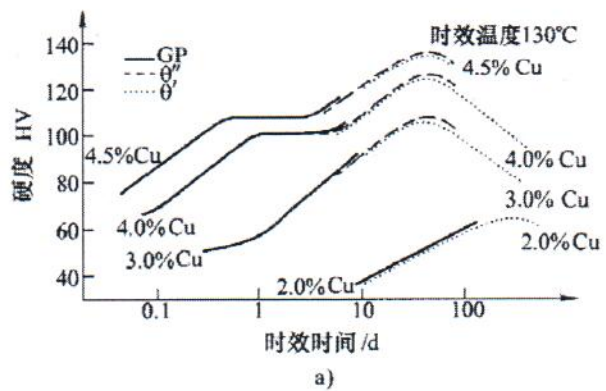
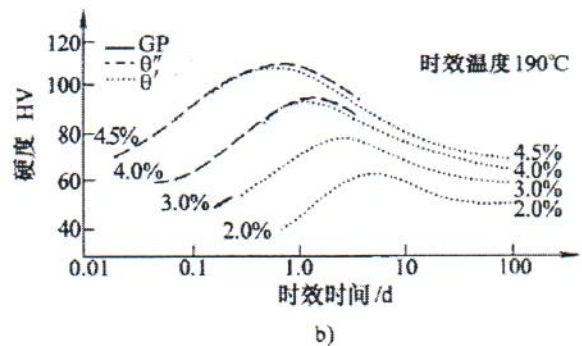


图 10-5 第八题第 3 个小题图



a)



b)

图 10-6 第九题图

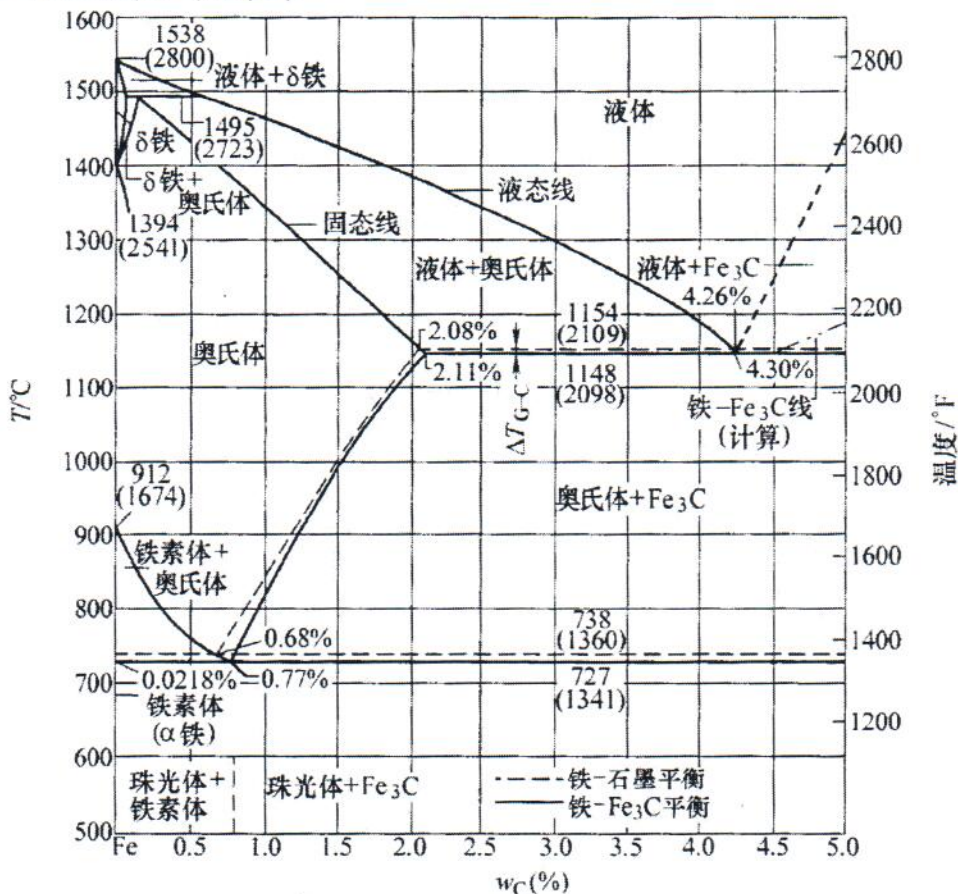


4. 再结晶动力学公式为 $X = 1 - e^{-kt^n}$, 各参数表示的含义是什么? 以 $X-t$ 的关系作图, 曲线的形状大致是怎样的? 如何处理可得一条直线? 处理成直线有何用途?

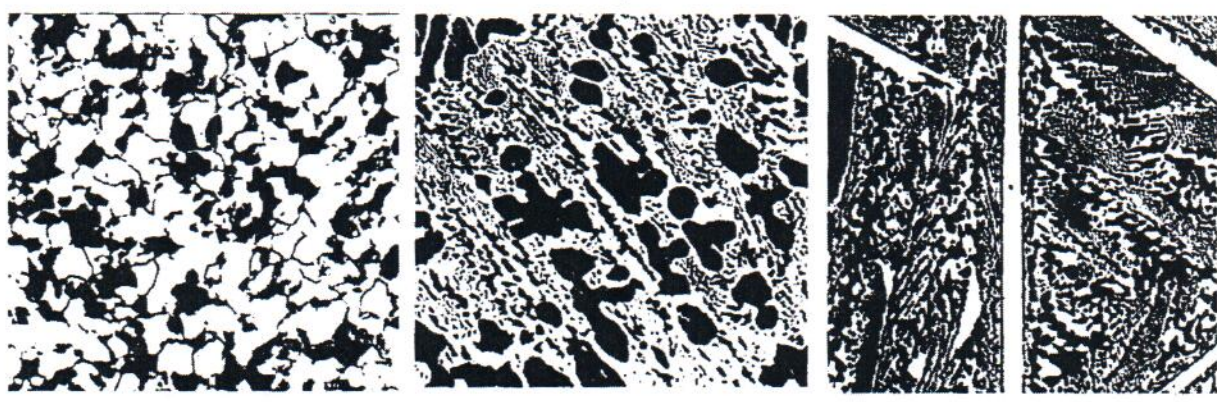
九、固态相变 (10 分)

图 10-6 为两组铝铜合金的时效强化曲线; 讨论成分变化及时效温度对力学性能 (这里是硬度值) 的影响, 分析可能的原因。

十、固态相变 (15 分)



a)



b)

c)

d)

图 10-7 第十二题图



一、
1. 晶体中原子或分子按一定规律排列的组合称为晶面族。按对称关系，这些面族彼此不平行。立方系 {111} 晶面族包括 (111) (−111) (1−11) (−1−1) 四个。

2. 面心立方结构金属的 [100] 和 [111] 面向的夹角是 φ : $\sqrt{100}$ 面间距离。

$$n\theta = \frac{1}{1 \cdot \sqrt{3}} = \frac{\sqrt{3}}{3} \Rightarrow \varphi = 54.7^\circ \quad \text{面间距 } \sqrt{100} \text{ } \textcircled{d} = \sqrt{\frac{1}{(a)^2 + (b)^2 + (c)^2}}$$

$$d = \frac{a}{\sqrt{1^2 + 0^2 + 0^2}} = a \quad \begin{cases} \text{体心立方} & h+k+l = \text{奇数} \\ \text{面心立方} & h+k+l \text{ 不全为奇数或全为偶数} \\ \text{密排立方} & h+k = 3n \quad (n=1, 2, \dots) \text{ 且为奇数} \end{cases}$$

$$d = \frac{a}{2}$$

3. 面心 fcc $bABCABC\dots$ 排列，致密度 $\frac{nV}{V} = \frac{4 \times \frac{4}{3}\pi r^3}{a^3}$ $r = \frac{\sqrt{2}}{4}a$
密排六方 hcp $bABAB\dots$ 排列，致密度 $\frac{nV}{V} = \frac{6 \times \frac{4}{3}\pi r^3}{6 \times \frac{1}{2}a \cdot \frac{\sqrt{2}}{2}a \cdot c}$ $r = \frac{a}{2}$
 $c = a \times \sqrt{6/3}$

4. ① 间隙固溶体是固溶体：溶液溶入溶剂晶格中取代溶剂形成间隙。
所形成的固溶体，它保留了溶剂的类型。

间隙固溶体：属于杂质（与原子尺寸相关的缺陷），且 AB 原子形成间隙。
两者性能上有很大差异，前者韧性好，后者硬，塑性差。
共价，两者中的金属组元都在间隙位置，本身尺寸很小。

② 固溶体中杂质原子尺寸不匹配引起位错运动造成固溶强化。阻碍了位错的运动，造成强度硬度上升。（固溶体强度比纯金属强度大的原因）

二、这些现象称形变强化和晶界强化。原因：这些缺陷的存在会阻碍位错的运动。
例如，线缺陷的存在。位错运动过程与其发生交互作用而使运动的位错被钉扎而致使需要更大的外力才能使其脱开钉扎造成了强度升高。
例如面缺陷，面缺陷处位错聚集（被塞积，而相邻晶界取向不同而无法直接运动过去造成晶界处应力提高对晶内产生反作用力阻止位错运动）。

2. 位错的生成

① 晶体生长过程中产生位错

① 由于熔体中杂质原子在凝固过程中不断分布使晶体先后凝固部分的成分不同从而导致常数也有差异
形成的位错可能用以下证据

② 由于温度梯度，浓度梯度，机械扰动等的影响，致使生长着的晶体偏转或弯曲引起相邻晶块之间有位相差，它们之间就会形成位错。

③ 在晶体生长过程中，由于相邻晶块发生碰撞或因液流冲击，以及冷却时体积变化的热应力的原因，会使晶体表面产生台阶或受力变形形成位错。

(2) 由于高温较快的扩散及冷却速率，晶体内部存在大量过饱和空位，空位的聚集形成位错。

(3) 晶体内部的某些界面（如第二相质点、孪晶、晶界等）和微裂纹的附近，由于热应力和组织应力的作用，往往出现应力集中现象。当应力高到足以使该局部区域发生滑移时，就在该区域生成位错。

位错的增多主要靠形变，通过萌生位错在晶粒内不断产生位错；晶粒细化可以通过淬火时加非均形核剂或高的冷却速度获得，也可通过大形变，或再结晶，或相变的方法。

④.

~~在~~ 在 $A - N_B^d$ 中 d 的自由能明显低于 β 因此在此区域 d 相会生成。

在 $N_B^\beta - B$ 中 β 相的自由能明显低于 d ，因此此区域中 β 相会生成。

而在 $N_B^d - N_B^\beta$ 成分区域中 斜线在 A 线上的意义为 A 组元在 d 相于

~~β 相中~~ 在 B 成分线上 截距表示 B 组元在 d 相于 β 相中 化学势一样

(在任一-相的吉布斯自由能成分曲线上有一切线，其两端分别于纵坐标相截，A 组元的截距表示 A 组元在固溶体成分与纯成分时的化学势 μ_A ；B 组元在固溶体成分与纯成分时的化学势 μ_B)。

在二元系中当两相 (如固相 d 和 β) 所共存时 摩尔热力学条件 $\mu_A^d = \mu_A^\beta \mu_B^d = \mu_B^\beta$ 。即两组元分别在两相中化学势相等。

在 $N_B^d - N_B^\beta$ 成分时 此时化学势为混合物 即两相共存时最低。因此在 $N_B^d - N_B^\beta$ 中 $d + \beta$ 最不稳定。

五. 1. 临界半径相同：临界形核功是均的形核时高；临界晶核体积也是均的形核时大。
2. 合金界面的冶金学组成过冷，即界面附近杂质的富集提高了局部的过冷度。

$$R^* = -2G_v / \Delta G_v \quad \Delta G_v = -L \times \partial T / \partial m$$

临界半径由过冷度决定，而临界形核功 ~~对形核来说~~ 很小，因为非均形核是在母相中存在的杂质处形核，借助于外来表面，所以所需形核功小。

临界半径相同但均形核时形成球状晶体，非均形核形成球冠状晶体因此两者之间均形核时临界晶核体积大。

六、温度扩散系数均不变

1. 根据题意可得 $(-A + Berf(\frac{D_{0.5}}{2NDx}) = 0)$ ①

$$(-A + Berf(\frac{x}{2NDx}) = 0) \quad ②$$

由①②可得 $x = 1.5 \text{ mm}$

2. ① 随温度升高，扩散速度加快；
② 表面扩散最快，深层扩散最慢。
③ 扩散系数与温度呈指数关系，即设图是 $D = D_0 \exp(-Q/RT)$ 对数处理
④ 利用直线关系可求半扩散系数 D_0 和扩散能 Q 。

七、塑性变形的形变机制与滑移孪生

差异：滑移孪生

晶体中的位向

滑移

孪生

孪生 李晶和基体的结合力

~~晶体已滑移部分与基体的结合力~~

位向差

晶体中已滑移部分与未滑移部分之间位向

位移的量

原位移是沿滑移面上原间距离传递且在同一滑移面上

塑性变形的贡献

贡献大 即总变形量大

贡献小 变形量小

变形应力

有确定的分切应力

所需分切应力一般高于滑移分切应力

变形条件

一般情况下先进行滑移

当滑移很难进行时或晶体对称强度很低温度很低，加载速度高时

变形机制

滑移是全位错运动的结果

孪生是部分位错运动的结果

2. (1) 最上面的一条曲线具有明显的加工硬化现象，说明它是在低温或低变速率下工作的。强度随着提高，而塑性下降很快，即产生了加工硬化现象。产生这种现象的原因是因为塑性变形时晶界的阻碍和晶格之间的大力调整困难，要求变形量不可能以单一的滑移来发挥作用，而是多组滑移同时发生作用，因此硬化曲线十分陡峭。

(2) 中间的曲线具有明显的动态再结晶现象，因此中间的曲线是在中温或中等变速率下工作的。出现这种现象的原因是在微变形阶段，应力增大很快，导致加工硬化，随后应力增加而迅速增加，不发生动态再结晶，即微变形阶段。

应力增加很快导致加工硬化，之后材料开始塑性变形，同时出现动态再结晶，在后面的动态再结晶阶段，加工硬化与动态再结晶近乎平衡，加工硬化率趋近于零，呈现应力不再随应变增加的稳定状态。

(3) 最下面的一条曲线具有明显的动态再结晶现象，因此是在高温或高变速率下工作的。这种现象的原因主要是材料随应变的增加而迅速增加，不发生动态再结晶。

即在微变形阶段，随后出现动态再结晶软化作用，但是加工硬化阶段仍占主导地位，当应力到达某一值后随应变增加，应力随应变降低，最后进入动态再结晶阶段，加工硬化与动态再结晶软化达到平衡，进入动态再结晶阶段。

3. 因为低碳钢中存在 C, Mn 等杂质原子，杂质原子与位错互相形成杂质原子气团，即柯氏气团。它对位错有钉扎作用。对于低碳钢进行拉伸时，位错要从气团中挣脱出来需要较大的力。这就形成了上屈服点。而一旦从气团中挣脱之后，位错的滑移就比较容易。因此应力降低，出现下屈服点。

11.

1. 基本条件(再结晶)：有一定的形变储存能、一定的温度

2. (1) 将冷变形金属加热到一定温度之后，在原变形组织中产生了无堆垛的新晶粒而性能也发生了明显的变化并恢复到变形前的状态，这个过程称再结晶。再结晶只是组织变化没有结构变化，马氏体是形变中的储存能。

(2) 结晶是从非晶态的液相、气相或固态非晶态中产生了晶体的过冷这是种结构变化，驱动力为化学自由能差。

(3) 固态相变是一种固态组织在温度压力变化时，转变成另一种或多相固态组织的过程，固态相变导致成分组织有序化均发生改变，并且具有一定的热力学稳定性。其驱动力是新旧组织的自由能差。

3. 冒出形核机制：晶界两侧应变量不同，位错密度不同形变储存能也不同，造成高应变能的一侧被低应能的一侧吃掉形成新晶核。

高应变能一侧被低应变能的一侧吃掉形成新晶核。
对于变形度较小（一般小于 20%）的金属，其再结晶机制多以晶界形核机制为主，诱导晶界移动，或称凸出形核机制。当变形量较小时，晶界之间形变不均匀，晶界处的某些亚晶将开始通过晶界凸入到高位错密度晶界区，吞食 B 颗粒，从而形成无堆垛的再结晶形式。

$$x = 1 - \exp(-Bt^k)$$

X 为再结晶分数，t 是时间，k, n 都是常数。k 主要与形变速率和长大速率有关，n 主要和形核机制、温度和新相形核有关。从 X-t 的关系作图，曲线有 S 形，当是 S 或 G 形状时 50% 转变量时转变速度最快。对数处理可得一直线，外延成直线可通过以不同时间的再结晶量求出 k, n 值。

九. 铜合金中含铜量提高，时效和应力加大，时效驱动力加大，析出速度加快。
硬度值增加。时效温度越高，扩散速度加快，析出加快，但过时效减小，时效
驱动力也减小，时效或亚共析相可能不出现。时效强化主要靠 GP 区和 T' 相，因
两者细小弥散，有共格或半共格界面，强化效果好。

十. 时效强化的工艺路线

经高温加热及快速冷却的固溶处理得到过饱和单相组织，然后在一定温度和时间内时效到最高硬度/强度，令其至平衡，其析出的强化相。

十一. 固素异晶转变主要是纯金属在不同温度下的相变，没有成分变化，是通过扩散的过程控制。

马氏体相变是无扩散，切变型相变在纯金属及合金中都会出现，是通过扩散控制的。
脱溶出现在金属中有成分变化主要是长程扩散控制。

十一. 单向压缩条件下，从侧面观察，随变形量加大，晶粒由等轴状变为长条状，晶粒内部位错增多，形成位错缠结，亚晶界或孪生的大角晶界；当压缩度提高，塑性下降，形变温度提高，晶粒变成长条状的速度变慢，因为激活作用增强，亚晶界加快分离，亚晶尺寸趋于稳定，甚至出现动态再结晶组织。强度提高和塑性下降的现象同时发生。

十二. 图 b 组织为 0.6% C 合金，即共析钢；先共析铁素体（白色）和渗碳体（黑色）组成，在这个过程中

金钢石晶核反应生成出固溶体，接着在 349°C 下发生包晶反应 ~~由平行晶面的过冷液相~~ 由平行晶面的过冷液相生成奥氏体，因此液流相继续凝固成奥氏体，继续冷却时过冷奥氏体不断生长，还有剩余液相，因此液流相继续凝固成奥氏体。继续冷却时奥氏体发生共析转变形成珠光体。

随着温度下降铁素体增多，当温度降至 727°C 时剩余奥氏体完全共析转变形成珠光体。
图 c 组织为 3.4% C 合金，即亚共析白口铸铁。图中未对枝状片状黑色组织描述是先共析奥氏体转变成的珠光体，其余部分为液体莱氏体。先共析奥氏体析出的二次渗碳体依附在共晶液体上而难以区分。

图 d. 组织为 4.7% C 合金，即过共析白口铸铁。合金淬火首先冷却至 -1148°C 时发生共晶转变形成莱氏体，继续冷却其组织中的奥氏体不发生共析出二次渗碳体，此时在当温度降至 727°C 时共晶奥氏体中含碳量降至共析点 0.77% 此时在恒温下发生共析转变，形成珠光体。最后得到的组织室温莱氏体，称变质莱氏体，用 L'_f 表示，它保持原莱氏体的形态只是共晶奥氏体转变成共析体。



1. 简述时效(强化)处理的工艺路线及原理。
2. 同素异晶转变、马氏体相变、脱溶转变有何主要区别?

十一、形变(15分)

简述单向压缩条件下,形变量、形变温度对金属组织及性能的影响(包括晶粒形状和位错亚结构的变化)?可用示意图表示。

十二、铁碳相图(20分)

1. 图10-7a为铁碳相图,图10-7b、c、d分别为3个不同成分(设为0.45% C、3.4% C、4.7% C)的铁碳合金缓冷凝固组织(包括随后的固态相变、硝酸酒精浸蚀)。说明它们各是哪个成分的合金,为什么?
2. 分析图10-7d组织的凝固过程,并计算该合金中白色长条状组织的重量相量(Fe_3C 含6.69% C)。

参考答案

一、

1. 晶体中原子或分子排列相同的晶面的组合称为晶面族。因对称关系,这些面往往不止一种。立方系 $\{111\}$ 晶面族包括 (111) 、 $(\bar{1}\bar{1}1)$ 、 $(1\bar{1}\bar{1})$ 、 $(\bar{1}\bar{1}\bar{1})$ 四个。

2. 晶面间夹角 $\cos\varphi = 1/\sqrt{3}$; $\varphi = 54.7^\circ$ 。面间距 $d = a/2$ (a 为点阵常数)。

3. FCC按ABCABC方式堆垛,而HCP按ABABAB堆垛;致密度无差异,都是0.74。

二、

1. 前者为固溶体,保持溶剂的晶体结构,且溶解度很低;后者是中间相(尺寸因素化合物),且A、B原子数成比例。性能上有很大差异,前者韧、塑性好;后者硬,塑性差。共性是两者中的合金组元都在间隙位置,本身尺寸很小。

2. 因合金中两类原子尺寸不同,引起点阵畸变,阻碍位错运动,造成固溶强化。

三、

1. 称形变强化和晶界强化(或细晶强化)。原因是两类缺陷的增多都明显阻碍位错的运动,从而提高强度。

2. 位错的增多主要靠形变,通过萌生与增殖在晶粒内不断产生位错;晶粒细化可通过凝固时加非均匀形核剂或高的冷却速度获得,也可通过大形变,或再结晶,或相变的方法。

四、左侧 $A \sim N_B^\alpha$ 范围是 α 相稳定,因它的自由能最低;右侧 $N_B^\beta \sim B$ 范围是 β 相稳定,也因其自由能最低;两公切点之间 $N_\beta^\alpha \sim N_\beta^\beta$ 范围是 $\alpha + \beta$ 两相共存稳定,因任意一个单相存在时的自由能都不如它分解为成分为公切点处的 $\alpha + \beta$ 时



两相自由能的加权值（在公切线直线上）低。

五、

1. 临界半径相同；临界形核功是均匀形核时高；临界晶核体积也是均匀形核时大。

2. 合金界面前沿会出现组成过冷，即界面前溶质的富集提高了局部区域的熔点，所以更易出现过冷。

3. 因两者分别是粗糙型（铁）和光滑型界面（硅等），前者是外形均匀的等轴晶或枝晶，后者为规则多边形、有棱角的形状。

六、

1. 因浓度 C 、扩散系数 D 都不变，有 $\frac{X_1}{X_2} = \sqrt{\frac{t_1}{t_2}}$ ，代入相应值得： $X_2 = 3X_1 = 1.5\text{mm}$ 。

2. 随温度升高，扩散速度加快；表面扩散最快，晶内扩散最慢。扩散系数 D 与温度 T 是指数关系，即该图是 $D = D_0 \exp(-Q/RT)$ 对数处理的结果；利用直线关系可求常数 D_0 和激活能 Q 。

七、

1. 主要形变机制是滑移和孪生；滑移产生的切变量是原子间距的整数倍，孪生产生的切变量是原子间距的一个分数；由此产生一系列其他方面的差异。答其他方面差异的也酌情赋分。

2. 有明显加工硬化的是在低温（或高应变速率）下变形；出现硬化、软化抗衡（动态回复）的是在中温（或中等应变速率）下变形；有一明显软化阶段（动态再结晶）的是在高温（或低应变速率）下变形。

3. 含 C、N 间隙原子的低碳钢形变时，滑移启动时的抗力较大（上屈服点），滑移进行时的抗力较小（下屈服点），在应力应变曲线上可明显看出。原因是间隙原子聚集在位错上（柯氏气团）钉扎了位错，出现上屈服点，位错一旦摆脱钉扎后便不受影响（对应下屈服点）。

八、

1. 要有一定的形变储存能，一定的温度。

2. 再结晶只是一种组织变化，没有结构变化，驱动力是形变储存能；结晶是从非晶态的液相、气相或固态非晶体中形成晶体的过程；固态相变是固/固相的结构变化。后两者的驱动力都是化学自由能差。

3. 这是应变诱导晶界迁移机制；晶界两侧应变量不同，位错密度不同，形变储存能不同，造成高应变能的一侧被低应变能的一侧吃掉，形成新晶粒。

4. X 是再结晶分数， t 是时间， k 、 n 都是常数， k 主要与形核率和长大速度有关， n 主要和形核机制、地点和新相形状有关。以 $X-t$ 的关系作图，曲线的



形状是 S 或 σ 形状，50% 转变量时转变速度最快。对数处理可得一条直线；处理成直线可通过测不同时间的再结晶量求出 k 、 n 值，了解更多的微观信息。

九、随铝中含铜量提高，过饱和度加大，脱溶驱动力加大，析出速度加快，硬度值增加。时效温度越高，扩散速度加快，析出加快，但过饱和度减小，脱溶驱动力也减小，GP 区或亚稳相可能不出现。时效强化主要靠 GP 区和 θ'' 相，因两者很细小弥散，有共格或半共格界面，强化效果好。

十、

1. 经高温加热及快速冷却的固溶处理得到过饱和单相组织，然后在一定温度和时间内时效到最高硬度/强度，得到弥散、共格析出的强化相。

2. 同素异晶转变主要是纯组元固态下出现的相变，没有成分变化，短程扩散过程控制；马氏体相变是无扩散、切变型相变，在纯金属及合金中都会出现，是界面过程控制的。脱溶出现在合金中，有成分变化，主要是长程扩散控制的。

十一、从侧面观察，随形变量加大，晶粒由等轴状变为长条形，晶粒内部位错增多，形成位错缠结、亚晶界或新的大角晶界；强度、硬度提高，塑性下降。形变温度提高，晶粒变成长条状的速度变慢，因热激活作用增强，亚晶界加速形成，亚晶尺寸趋于稳定，甚至出现动态再结晶组织。强度提高和塑性下降的速度都变慢。

十二、

1. 图 10-7b 组织为 0.45% C 合金，即亚共析钢，因其由等轴铁素体（白色）和珠光体（黑色）组成。图 10-7c 组织为 3.4% C 合金，即亚共晶白口铸铁，因其有枝晶状珠光体（黑色，原奥氏体晶粒形状）和变态莱氏体组成。图 10-7d 组织为 4.7% C 合金，即过共晶白口铸铁，因其由板条状白色一次渗碳体和变态莱氏体组成。

2. 液相冷却时，先形成板条状一次渗碳体，再形成共晶莱氏体，冷至室温后莱氏体变为变态莱氏体。一次渗碳体的相对量为： $(4.7 - 4.3) / (6.69 - 4.3) = 16.7\%$ 。



2004 年攻读硕士学位研究生入学考试试题

考试科目：金属学

适用专业：材料学、材料科学与工程、材料加工工程

说 明：统考生做一至十一题；单考生做一至八和十二至十四题

一、简述题（4分/小题，共40分）

- | | |
|-------------|---------------------|
| 1. 滑移临界分切应力 | 2. 金属键 |
| 3. 中间相 | 4. 布喇菲 (Bravais) 点阵 |
| 5. 再结晶温度 | 6. 滑移系 |
| 7. 位错 | 8. 二次再结晶 |
| 9. 偏析 | 10. 马氏体相变 |

二、单相金属或合金各晶粒间的界面一般称之为晶界，通常晶界又分为小角度晶界和大角度晶界两大类，试问：划分为两类晶界的依据是什么？并讨论构成小角度晶界的结构模型。（10分）

三、分别画出立方晶系晶胞内的(110)、(112)晶面和[110]、[111]晶向。（10分）

四、讨论晶体结构和空间点阵之间的关系。（10分）

五、什么是固溶体？讨论影响固溶体溶解度的主要因素。（10分）

六、分析和讨论冷加工金属或合金塑性变形后回复再结晶过程中组织和性能的变化特征。（10分）

七、画出 Fe-Fe₃C 相图，分析含碳量为 1.1wt%（重量百分比）的铁碳合金从液相平衡凝固到室温时的转变过程，画出组织转变示意图，并计算出室温时各组织的相对含量。（20分）

八、分析和讨论影响金属或合金中原子扩散的主要因素。（10分）

九、以 Al-4.5% Cu 合金为例，分析过饱和固溶体的脱溶分解过程（脱溶贯序），并讨论脱溶温度对脱溶贯序的影响。（10分）

十、金属的固态相变与金属的结晶过程基本一样，大多也包括形核和生长两个基本阶段，但在固态相变过程中新、旧两相的比容不同，使系统额外增加了应变能以及由相界面上的原子不匹配而引起的弹性应变能，因此固态相变在许多方面与结晶过程有着显著的差异。试分析固态相变的一般特点。（10分）



十一、写出所附 Au-Hf 体系相图 (图 9-1) 中的三相反应，并划出虚线框内部分的相平衡关系局部扩大示意图。(10 分)

十二、分析固态相变和回复再结晶过程的驱动力。(10 分)

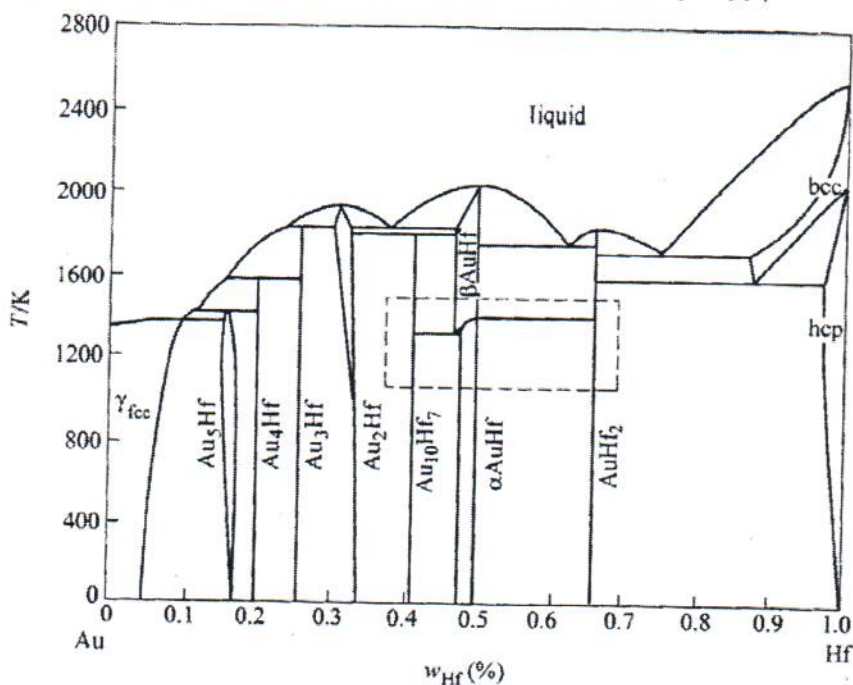


图 9-1 第十一题图

十三、叙述钢锭中常见的宏观组织缺陷，消除或改善方法。(10 分)

十四、叙述常见的金属晶体中的内外界面。(10 分)

参考答案

一、

1. 滑移临界分切应力：滑移系开动所需的最小分切应力；它是一个定值，与材料本身性质有关，与外力取向无关。

2. 金属键：自由电子与原子核之间静电作用产生的键合力。

3. 中间相：合金中组元之间形成的、与纯组元结构不同的相。在相图的中间区域。

4. 布喇菲点阵：除考虑晶胞外形外，还考虑阵点位置所构成的点阵（或：除考虑旋转对称性外，还考虑平移对称性，经有心化后构成的全部阵点）。

5. 再结晶温度：形变金属在一定时间（一般 1h）内刚好完成再结晶的最低温度。

6. 滑移系：晶体中一个可滑移面及该面上一个可滑移晶向合称一个滑移系。

7. 位错：是晶体内的线缺陷，其特点是沿一条线方向原子有规律地发



- 一、临界分切应力：晶体在力的作用下滑移，但其中许多滑移系并不同时发生滑移，而只有外力在某一滑移系中的分切应力达到一定临界值时，该滑移系方可发生滑移滑移。该分切应力称滑移的临界分切应力。 $\tau_c = \frac{F}{A} \cos \varphi \sin \lambda = 6s \text{ (MPa)}$ 。 s 为取向因子。
2. 金属键：~~金属中自由电子与原子核之间静电作用产生的键合~~。
3. 中间相：合金中组元之间形成的半独立元素结合而成的相，在相同的中间区域。
4. 布喇维空间阵：除考虑滑移胞外还考虑阵点位错所构成的空间阵（按每个阵点周围环境完全相同的要求数学方法推导出能够反映空间点阵全部特征的单位平面六面体，有14种，这14种空间点阵也称布喇维空间阵）
5. 再结晶温度：冷变形金属发生再结晶的最低温度，可用金相法或确定法测定，即以显微镜中出现第一颗新晶粒时的温度或以硬度下降5%所对应的温度称再结晶温度。工业上：以最大变形量(70%)时冷变形金属经1h退火后能完成再结晶(70%)所对应的温度。
6. 滑移系：晶体中一个可滑移面及该面上一个可滑移多面向会有一个滑移系。
7. 位错：是晶体内部的一种线缺陷，其特点是沿一条直线使原子有规律地发生错排，通过这种缺陷用一线方向和一个柏氏矢量共同描述。
8. 二次再结晶：再结晶结束后，正常长大过程被干扰而出现的少数晶粒异常长大现象。
9. 偏析：合金中化学成分不均匀性。
10. 马氏体相变：是一类非扩散型的固态相变，其转变产物(马氏体)通常为亚共析。

- 二、相邻晶粒位向差小于 10° 的晶界 — 小角度晶界
 相邻晶粒位向差大于 10° 的晶界 — 大角度晶界
 小角度晶界模型为位错模型。
 对称轴倾轧晶界：由一系列垂直于堆积分成。
 不对称轴倾轧晶界：由一系列垂直于堆积分成。
 扭转晶界：由互相交叉的螺型位错组成。
 大角度晶界
 重合位置点阵模型。

- 三、
- 四、两者之间关系可用“空间点阵+基元=晶体结构”来描述
 空间点阵是晶体中原子排列的几何抽象，用以描述和分析晶体结构的周期性和对称性。
 由于点阵点的周围环境相同，故它只能有14种；而晶体结构则是指晶体中原子实际的排列情况，它们能组合成各种类型排列。例如原面心立方点阵的 Cu、NaCl、CaF₂三种晶体结构有很大差异，如 Cr、CsCl 的晶体结构虽然同是体心立方结构，但 Cr 属体心立方，CsCl 为简单立方。

五、固溶体：溶质原子以原子态溶入溶剂的晶格空隙中形成的单一成分的固溶体。其特点是保有溶剂的晶体结构，无阵类型。

影响固溶度的因素

① 晶体结构：拥有相同的晶体结构是无限固溶体的必要条件。

② 原子半径差：在其他条件相同时情况下，原子半径差 $< 15\%$ 时形成溶解度大的固溶体。

③ 电负性因素：溶质于溶剂中负电性越小，溶解度越大。

④ 价价因素：
同一溶剂金属 溶质的原子价越高，溶解度越小。
高价溶质溶入低价溶剂较反之要大。溶解度

六、固溶再结晶时材料组织变化：退火过程中主要分为固溶和再结晶两个阶段。

固溶阶段由于发生大角度晶界迁移，所以晶粒的形状大小与变形前相似，仍保持着纤维状或扁平状。从显微组织上几乎没有变化，但亚组织发生变化，在再结晶阶段，首先产生大角度的无扭曲的无扭转变形晶粒核心，然后逐渐消耗周围变形机体而长大，直至形成强度大的无扭曲的无扭转变形晶粒。为止，最后在表面晶界能自由运动下，新晶粒组织完全改组为新的无扭曲的无扭转变形晶粒，从而得到在该条件下一个比较稳定的尺寸。

相互吞食长大，从而得到在该条件下一个比较稳定的尺寸。

固溶再结晶材料性能的变化：在固溶阶段金属仍保持很高的含碳密度所以强度硬度变化很小；但是压延晶粒含碳密度显著降低，从而导致了强度硬度明显降低。

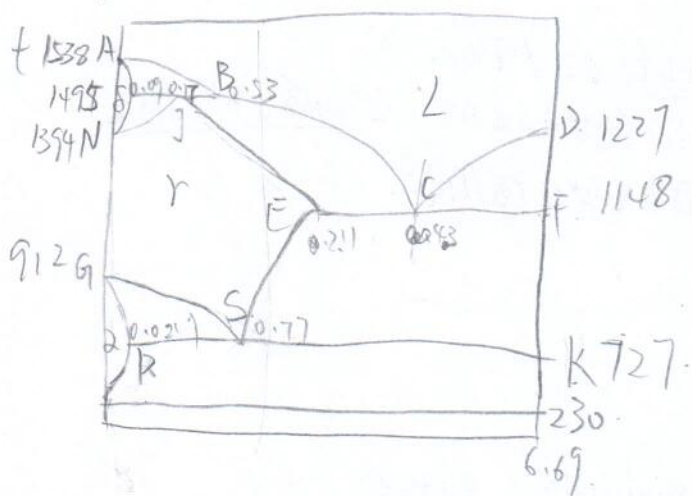
固溶阶段由于晶界处的位错密度减小，使电阻率下降。固溶阶段大部分

固溶阶段由于晶界处的位错密度减小，使电阻率下降。

当合金冷却到一定温度时，而继续加热则只有通过再结晶方可消除。

固溶前期亚晶粒尺寸变化不大，但在后期尤其接近再结晶时，亚晶粒尺寸就呈

着增大，变形金属密度在再结晶阶段显著上升。



1) 影响扩散的主要因素

- ① 温度 是影响扩散的最主要因素，温度越高，原子热运动能越大，越容易发生迁移，扩散系数也越大。
- ② 固溶体类型。间隙固溶体的扩散激活能一般较小，置换固溶体的激活能较大。
- ③ 晶体结构对扩散有影响，当晶体结构改变后，扩散系数也发生较大变化。
- ④ 晶体缺陷。晶体缺陷处能量高，扩散能小，扩散系数小。
- ⑤ 化学成分 一般对扩散影响较为复杂。
- ⑥ 应力作用 应力会提供原子扩散的驱动力。

2. Al-4.5% Cu 合金固溶处理后，在最佳时效温度 150°C 时，会出现时效强化

过饱和固溶体 $\rightarrow \text{GP 区} \rightarrow \text{B}'' \rightarrow \text{B}' \rightarrow \gamma$

其中 GP 区是铜原子富集区。

B'' 、 B' 是四方柱状亚稳相，圆锥状沿基体的 $\langle 100 \rangle$ 方向，具有平行于其棱界面与基体存在一定的取向关系。

也是四方结构系不定相，不规则形状。

提高时效温度，时效增加快，但过时效温度减少，而且会使运动减少，可能导致直接析出平衡衍射，时效强化能力减弱。时效温度过低，则情况相反，达到最佳时效时间长。

生错排；这种缺陷用一线方向和一个柏氏矢量共同描述。

8. 二次再结晶：再结晶结束后，正常长大过程被抑制而发生的少数晶粒异常长大的现象。

9. 偏析：合金中化学成分的不均匀性。

10. 马氏体相变：其过程遵循无扩散、切变方式的相转变。

二、依据是按界面两侧晶粒间的取向差， $< 15^\circ$ 的称小角度晶界， $> 15^\circ$ 的称大角度晶界。小角度晶界的结构模型是位错模型，比如对称倾转晶界用一组平行的刃位错来描述。

三、见图 9-2。

四、两者之间的关系可用“空间点阵 + 基元 = 晶体结构”来描述。

空间点阵只有 14 种，基元可以是无穷多种，因而构成的具体的晶体结构也是无穷多种。

五、溶质原子以原子态溶入溶剂点阵中而组成的单一均匀固体；溶剂的点阵类型被保留。

影响固溶度的因素有：

①原子尺寸因素。当溶剂、溶质原子直径尺寸相对差小于 $\pm 15\%$ 时，有利于大的代位固溶体溶解度；当两组元的直径相对差大于 41% 时，有利于高的间隙固溶体溶解度。

②负电性因素。溶剂、溶质的负电性差越小溶解度越大，一般小于 0.4~0.5 会有较大溶解度。

③电子浓度因素。有两方面的含义：一是原子价效应，即同一溶剂金属中，溶质的原子价越高，溶解度越小；二是相对价效应，即高价溶质溶入低价溶剂时的溶解度高于相反的情况。

六、随退火温度的升高或时间延长，出现亚晶合并长大，再结晶形核及长大，无（或低密度）位错的等轴再结晶晶粒取代长条状高位错密度的形变晶粒，然后是晶粒正常长大。储存能逐渐被释放，特别是再结晶阶段释放的最显著；硬度及强度下降，伸长率上升；电阻降低，密度提高。再结晶时各种性能变化都比回复时强烈得多。

七、铁碳相图略。

1.1% C 的钢由液相冷却时先进入 $L + \gamma$ 奥氏体两相区，形成枝晶或等轴状 γ 奥氏体，然后进入奥氏体单相区；继续冷却到 $\sim 760^\circ\text{C}$ ，沿晶界析出二次渗碳体，在 727°C 剩余的奥氏体转变为珠光体，最后的组织是珠光体 + 网状二次渗碳体，如图 9-3 所示。

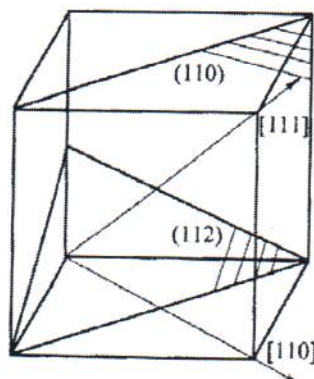


图 9-2 第三题解答图



珠光体相对含量为: $\frac{6.67 - 1.1}{6.67 - 0.77} \times 100\% = 94.4\%$

网状渗碳体相对含量为: $\frac{1.1 - 0.77}{6.67 - 0.77} \times 100\% = 5.6\%$

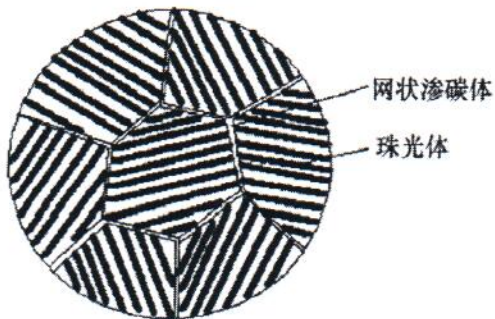


图 9-3 第七题解答图

八、影响扩散的因素有：

温度：满足 $D = D_0 e^{-Q/RT}$ 的关系，温度升高，扩散加快。

界面、表面及位错：它们是扩散的快速通道。

第三组元：可对二元扩散有不同影响，如 Mo、W 降低 C 在 γ -Fe 中的扩散系数；Co、Si 加速 C 的扩散；Mn、Ni 的影响不大。

晶体结构：低对称性的晶体结构中，存在扩散系数的各向异性，如六方结构晶体，平行与垂直于基面(0001)的扩散系数不同。

熔点：同一合金系中，同一温度下熔点高的合金中扩散慢，熔点低的扩散快。

九、Al-4.5% Cu 合金固溶处理后，在最佳时效温度 $\approx 150^{\circ}\text{C}$ 时效，会出现脱溶贯序：

过饱和固溶体 \rightarrow GP 区 $\rightarrow \theta'' \rightarrow \theta' \rightarrow \theta$ 。

其中 GP 区是铜原子富集区； θ'' 、 θ' 是四方结构亚稳相，圆盘状，沿基体的 {100} 面析出，具有共格/半共格界面，与基体存在特定的取向关系； θ 是四方结构稳定相，不规则形状。

提高时效温度，脱溶加快，但过饱和度减少，相变驱动力减少，可能导致直接析出平衡相 θ ，时效强化能力减弱；时效温度过低则情况相反，达到最佳性能的时间过长。

十、

① 相变阻力中多了应变能一项。

② 形核方面：非均匀形核为主；具有特定的取向关系；相界面常为共格或半共格的。

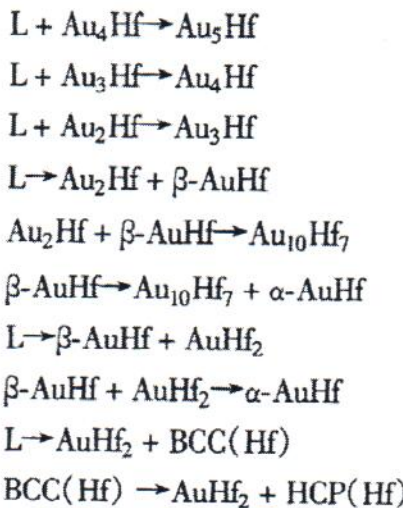
③ 生长方面：具有惯习现象，有特定的组织形态，如片状、针状。

④ 有亚稳相。

十一、







虚线框内部分可能的相平衡关系局部扩大示意于图 9-4。

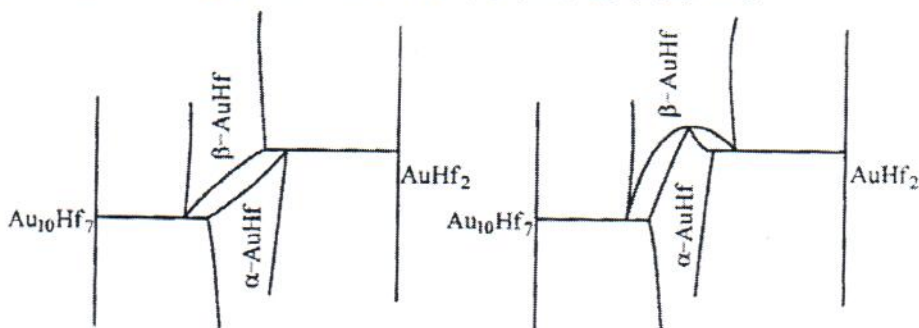


图 9-4 第十一题解答图

十二、固态相变的驱动力是新、旧两相间的自由能差，回复再结晶的驱动力是形变储存能。

十三、宏观缺陷有：宏观偏析（如正常偏析、反常偏析、比重偏析）和带状组织以及缩孔、疏松、气泡等。严格讲，也包括三晶区的组织不均匀性。

宏观缺陷（化学不均匀性、物理不均匀性和组织不均匀性）往往是相互联系的，一般希望尽可能多而细的中心等轴晶，可采用加孕育剂、加大冷速、加强液体运动（如电磁搅拌、机械搅拌）等方法，细化晶粒，消除柱状晶，这样，与柱状晶/枝状晶区相伴随的宏观偏析和缩孔、气泡也就明显改善了。

十四、它们包括晶界、相界、表面、孪晶界、层错。

晶界是同种晶粒之间的交界面；相界是结构、成分不同的相间的交界面；表面是晶体与大气或外界接触的界面；孪晶界是发生孪生后产生的新界面，是特殊的大角晶界，可是共格的或半共格的；低能层错是单相晶体内因堆垛顺序反常变化后出现的新界面，也是低能界面，与孪晶界能量相近。



2003 年攻读硕士学位研究生入学考试试题

考试科目：金属学

适用专业：科学技术史、冶金物理化学、钢铁冶金、有色金属、材料
加工工程

说 明：统考生做一至十一题；单考生做一至七、十二至十五题

一、名词解释（30 分）

- | | |
|----------------|------------|
| 1. 刃型位错和螺型位错模型 | 2. 晶界与界面能 |
| 3. 同分凝固与异分凝固 | 4. 形变织构 |
| 5. 二次再结晶 | 6. 淬透性与淬硬性 |

二、简述二元系中共晶反应、包晶反应和共析反应的特点，并计算其各相平衡时的自由度。（12 分）

三、什么是点阵参数？正方晶系和立方晶系的空间点阵特征是什么？画出立方晶系中 $(1\bar{2}\bar{3})$ 的晶面。（12 分）

四、凝固过程中形核和长大与再结晶过程中形核和长大主要区别是什么？简述再结晶过程中核心的产生方式。（12 分）

五、简述菲克第一定律和菲克第二定律的含义，写出其表达式，并标明其字母的物理含义。（12 分）

六、简述晶界和晶粒大小对多晶体范性变形的作用与影响。（12 分）

七、什么是一次带状组织和二次带状组织？分析一次带状组织和二次带状组织形成的原因。（12 分）

八、画出 Fe-C 相图，标明 Fe-C 相图中各点的温度和含碳量。（12 分）（统考生做，单考生不做）

九、简述固态相变的一般特点。（12 分）（统考生做，单考生不做）

十、简述凝固过程的宏观特征，叙述凝固过程中晶体成长的机理。（12 分）（统考生做，单考生不做）

十一、什么是固溶体？影响固溶度的原因有哪些？固溶体与其纯溶剂组元相比，其结构、力学性能和物理性能发生了哪些变化？（12 分）（统考生做，单考生不做）



2003年

1. 用型位错：将晶体上半部分拉开，插入半个晶面，再粘合起来；这样，在相当于原晶面为基准的附近一定范围，原子发生有规则的错动。其特点是上半部受压，下半部受拉。这与实际晶体中的刃位错造成的情况相同，称刃位错模型。

虫噬型位错：将晶体的前半部分拉开，以原晶面为界使左右两部分沿上下发生一原子间距的相对切变，再粘合起来，这时在已切开和未切开交界线附近，原子错动情况与真实的虫噬位错相似，称虫噬位错模型。

2. 晶界是成分结构相同但取向不同的界面称晶界。

晶界上的原子处在倾斜状态，具有超常的能量。平均在界面单位面积上所耗能量叫界面能。

3. 同分异构型：结晶出的晶体和母液化学成分完全一样，即在结晶过程中只发生结构的改变而无化学成分变化。

异分异构型：结晶出的晶体和母液化学成分不一样，即在结晶过程中成分和空间取向发生变化。

4. 形变组织：在塑性变形中随变形程度的增加，原来取向不同的晶粒随变形方向而重新排列使其空间取向有一定规律，这种现象称辉光取向，这种组织状态称形变组织。

5. 二次再结晶：再结晶结束以后，再结晶粒的正常长大被抑制而出现少数晶粒异常长大的现象。

6. 延伸性与淬硬性：

延伸性指金属变成晶体的能力，主要与临界速度有关，大小用延伸率表示。

淬硬性：指钢淬火后能达至的最高硬度，主要与钢的含碳量有关。

二.

共晶反应：液相同时凝固出两个不同成分的固相，两固相互相连生长，一般长成片层状。

共析反应：母相为固相，一个固相同时生成另两个成分不同的固相。

包晶反应：液相与一个固相反应生成另一个固相，新生成的固相包围原有的固相，反应后固相中扩散。

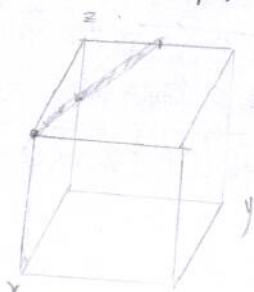
$$f = C - P + 2 \quad \text{以述反应中 } C=1 \quad f=3-P \quad f \geq 0 \quad P \leq 3 \quad \text{可知} \quad f=0 \quad \text{时加}$$

三.

点阵参数：描述点阵单位几何形状的基本参数，由三个参数组成，即 a, b, c 三个边长； α, β, γ 三个夹角。

正方晶系点阵参数解得 $d = \beta = r = 90^\circ \quad a = b = c$

立方 $d = \beta = r = 90^\circ \quad a = b = c$



四 焊接过程：形核和长大的驱动力是新旧相化学差。

形核通常为均形核，形核与取向无关。

再结晶过程：形核长大驱动力是形变过程中的储存能。

形核为不均形核，常在形变不均匀处，晶界附近，切变带，形变带 第二相粒子周围。

再结晶长大时可能存在一定的取向关系。

再结晶形核的产生方式：①晶界引起形核 即原有晶界位移成核也称变质诱导晶界近形核；②亚晶成核，即通过亚晶合或长大形成新形核。

五、菲克第一定律 数学形式 $J = -D \frac{dp}{dx}$, J 代表扩散通量 即单位时间内通过垂直于扩散方向的 x 的单位面积的扩散物质质量. 其单位为 $\text{kg}/(\text{m}^2 \cdot \text{s})$, D 为扩散系数 单位 (m^2/s) . $\frac{dp}{dx}$ 表示 深度梯度 P 是扩散物质的质量浓度 单位 kg/m^3 . 负号表示物质的扩散方向是从高浓度区向低浓度区扩散.

菲克第二定律 ~~$\frac{\partial C}{\partial t} = D \frac{\partial^2 C}{\partial x^2}$~~ $\frac{\partial C}{\partial t}$: 浓度随时间变化率 $\frac{\partial I}{\partial x}$: 流量浓度梯度

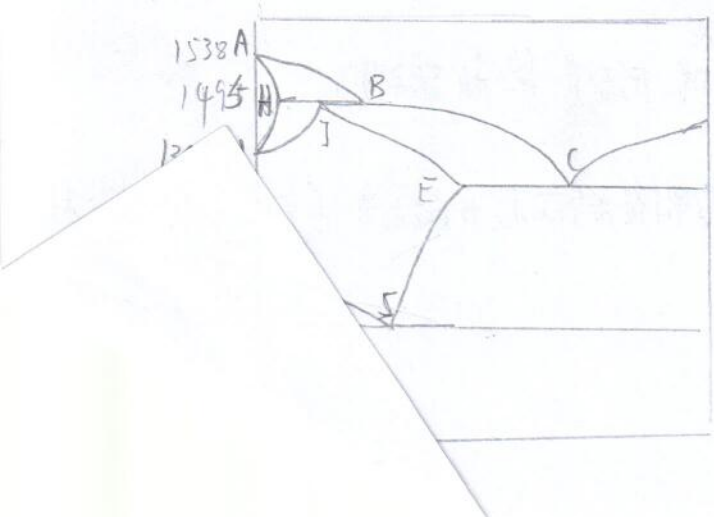
六、多晶中，每个晶粒与周围相邻晶粒质变不同，滑移开始的条件也不同。滑移系数也不同。晶粒之间的协调，是靠有独立滑移条件的开行来来实现的，即某一晶粒在一定应力作用下，取向因子大的滑移先开动，当相邻晶粒相接触的区域或受周围晶粒的影响而不能随自己主滑移系开动时，进行滑移时，由开动次生的新的滑移带，以协调各种晶粒的形变速率； fcc bcc 结构都有五个方向的滑移带，平衡状态下一种方式的形变。但是界两侧滑移带面不平行，而且界一方面位移运动的障碍造成壁积和强化。同时要求晶界附近多处滑移的出现，以协调晶界两侧的形变。

的形成。
晶粒大小对形变的影响是：晶粒细小，整个晶粒可被形变的，不同的滑移系较少；晶粒过大，对形变的限制是：晶粒粗大，而通过形变中滑移不同区域，不能相互协调，要求不同的滑移系组合并开始晶粒粗大时，形变过程中的不同区域，不能相互协调，要求不同的滑移系组合并开始“脱晶粒化”，即一个大晶粒，随形变的进行而碎化成几部分，不同部分内不同常数，脱晶粒化；即晶粒越细，脱晶粒化程度越强，形变越大，滑移速率越快。
晶粒越细，晶界对运动位错阻碍越显著，提高了强度，幅度过大。

t. 一次带状组织. 是沿晶界形成枝晶. 热轧后成带状而平行的.
一次带状组织. 是沿晶界形成枝晶. 热轧后成带状而平行的.
在 CuCl₂ 浸蚀下, 黑色条带是枝晶干(含溶质少), 白色条带是富集杂质的枝晶间也可
见. 在硝酸酒精浸蚀下, 白色带状是先共析铁素体. 黑色带状
原始带状.

一次带状组织产生的原因：极值偏析或夹杂物在压力加工过程中被拉长而产生带状。

一次帶狀



	A 1538 °	0	5727 0.77
	B 1495 °	0.53	K727 6.69
D 1227	C 1148 °	4.3	
F 1148	D 1227 °	6.69	
	E 1148 °	2.11	
	F 1148 °	6.69	
K 727	G 912	0	
	H 1495	0.09	
	J 1497	0.17	
	N 1399	0	
	P 727	0.0218	

九、固态相变一般特征

- ① 相变阻力中多了一项应变能（由新旧两相此消彼长引起的）
- ② 形核太难：非均形核，存在棘轮的取向关系（K-S关系 相变要走阻力小的路径，但道是多的，一般会选择界面能低的界面优先形成） 第一阶段或半共格界面。
- ③ 生长面：出现小颗粒现象，即有脱溶现象；导致规则的组织形式如片状针状。
- ④ ~~避免小颗粒产生脱溶现象~~ 有亚晶析出以减少相变阻力。

十.

端固定的宏观特征是：要有一定的过冷度，会放出明显的结晶潜热。

成长机理有三类：连续式成长，二维晶核及借助台阶助生长，借来累进生长。

- ① 连续长大：粗糙界面上一半位置正虚位以待，液相原子可进入这些位置，晶体生长。

晶体使连接向液相生长。

- ② 二维晶核 指一定大小的单分子或单原子的平面薄层。若为光滑界面，二维晶核在相界面上形成后，液相原子沿着二维晶核侧边所形成的台阶不断地附着上去，使此薄层很快扩展而铺满整个表面，又很快长成一层如此重复。

- ③ 借台阶生长：若光滑界面上存在杂质型位错时，垂直于位错线的表面上形成台阶的台阶，晶体借助台阶进行生长。

十一、无限固溶体：溶质原子进入溶剂原子晶格空隙所形成的单一的固态晶体
它保持着溶剂的晶格空隙。

影响固溶度的因素：

- ① 晶体结构：晶体结构相同是无限固溶的必要条件。

- ② 原子半径：当溶剂原子与溶质原子半径差 $\Delta r < 15\%$ 时形成无限大的置换固溶体。

- ③ 电负性因素：电负性相差大时形成化合物。溶剂与溶质电负性差越大，溶解度越大。

- ④ 中子亲和因素：同一溶剂金属，溶质原子价越高，溶解度越小。

- ⑤ 电子亲和因素：同一溶剂金属，溶质原子价越高，溶解度越高。

高价溶质溶入低价溶剂时的溶解度高于相反情况。

结构：空隙常数发生变化，产生了空隙或变化，出现原子偏聚或有序化，甚至形成有序固溶体。

力学性能：强度硬度提高，塑性下降。

物理性能变化：电阻增大，导电率下降。



十二、列举三种增加凝固过程中核心数的方法，简要分析其增加核心数的原因。（12分）（单考生做，统考生不做）

十三、简述含碳量为0.25%钢的结晶过程和固态组织转变过程。（12分）（单考生做，统考生不做）

十四、简述连续脱溶和不连续脱溶的含义。（12分）（单考生做，统考生不做）

十五、根据缺陷相对于晶体尺寸和其影响范围的大小，缺陷可以分为哪几类？简述这几类缺陷的特征。（12分）（单考生做，统考生不做）

参考答案

一、

1. 刃型位错和螺型位错模型：将晶体上半部切开，插入半个晶面，再粘合起来；这样，在相当于刃端部位为中心线的附近一定范围，原子发生有规则的错动。其特点是上半部受压，下半部受拉。这与实际晶体中的刃位错造成的情景相同，称刃型位错模型。同样，将晶体的前半部切开，以刃端为界使左右两部分沿上下发生一个原子间距的相对切变，再粘合起来，这时在已切动和未切动交界线附近，原子错动情况与真实的螺位错相似，称螺型位错模型。

2. 晶界与界面能：晶界是成分结构相同的同种晶粒间的界面。界面上的原子处在断键状态，具有超额能量。平均在界面单位面积上的超额能量叫界面能。

3. 同分凝固与异分凝固：凝固时不发生成分变化的称同分凝固；反之，凝固时伴随成分变化，称异分凝固。

4. 形变织构：多晶形变过程中出现的晶体学取向择优现象。

5. 二次再结晶：再结晶结束后正常长大过程被抑制而发生少数晶粒异常长大的现象。

6. 淬透性与淬硬性：淬透性指合金淬成马氏体的能力，主要与临界冷速有关，大小用淬透层深度表示。而淬硬性指钢淬火后能达到的最高硬度。主要与钢的含碳量有关。

二、共晶反应是：液相同时凝固出两个不同成分的固相，两固相相互配合生长，一般长成片层状。

共析与共晶相似，只是母相是固相，即一个固相同时生成另两个不同成分的固相。

包晶反应是：液相与一个固相反应生成另一个固相，新生成的固相包围原有的固相，反应需要固相中的扩散，速度较慢。

这三种反应出现时，自由度都是0，即三相成分固定，温度也固定。



三、点阵参数是描述点阵单胞几何形状的基本参数，由六个参数组成，即三个边长 a 、 b 、 c 和它们之间的三个夹角 α 、 β 、 γ 。

正方晶系的点阵参数特征是 $a \neq b \neq c, \alpha = \beta = \gamma = 90^\circ$ 。

立方晶系的点阵参数特征是 $a = b = c, \alpha = \beta = \gamma = 90^\circ$ 。

立方晶系中 $(1\bar{2}\bar{3})$ 的晶面如图 8-1 所示。

四、凝固时形核和长大的驱动力是新、旧相化学位差，再结晶形核和长大的驱动力只是形变储存能。

凝固时的形核常为均匀形核；再结晶形核常在现有的形变不均匀区中，如晶界附近、切变带、形变带、第二相粒子周围；凝固长大时与母相不会有取向关系，再结晶长大时可能有一定的取向关系。

再结晶核心产生方式：①原有晶界推移成核，也称应变诱导晶界迁移式形核；②亚晶成核，即通过亚晶合并或长大形成新晶粒。

五、菲克第一定律 $J = -D \frac{dc}{dx}$ 。 J ：扩散流量，即单位时间通过单位面积的物质量， $\text{g}/\text{m}^2 \cdot \text{s}$ ； D ：扩散系数， m^2/s ； $\frac{dc}{dx}$ ：浓度梯度， g/m^4 。

菲克第二定律 $\frac{dc}{dt} = \frac{d}{dx} \left(D \frac{dc}{dx} \right)$ 。 $\frac{dc}{dt}$ ：浓度随时间的变化率， $\text{g}/\text{m}^3 \cdot \text{s}$ ； $\frac{dJ}{dx}$ ：流量的梯度， $\text{g}/\text{m}^3 \cdot \text{s}$ 。

六、多晶中，每个晶粒与周围相邻晶粒取向不同，滑移开始的早晚不同，滑移系数目也不同；晶粒间的协调是靠有足够的独立滑移系的开动来实现的，即某一晶粒在一特定力轴作用下，取向因子大的滑移系先开动，当相邻晶粒相接触的区域受周围晶粒的影响而不能随自己主滑移系开动进行形变时，可开动次生的、新的滑移系，以协调各种复杂的形变方式；FCC/BCC 结构都有 5 个独立滑移系，可实现任一种方式的形变。晶界两侧滑移面不平行，晶界一方面是位错运动的障碍，造成塞积和强化；同时要求晶界附近多系滑移的出现，以协调晶界两侧的形变。晶粒大小对形变的影响是：晶粒细小，整个晶粒可较形变均匀，不同的滑移系组合少；晶粒粗大时，形变过程中晶内不同区域，不能相互协调，要求不同的滑移系组合并开动，常常出现晶粒“碎化”，即一个大晶粒，随形变的进行“碎化”成几部分，不同部分内有不同的滑移系开动。

对性能的影响遵循 Hall-Petch 关系 $\sigma_s = \sigma_0 + Kd^{-1/2}$ ，即晶粒越细，晶界越多，晶界对运动位错阻碍越显著，提高强度幅度越大。

七、一次带状组织是凝固时形成枝晶，热轧后成带状而产生的；在 CuCl_2 浸

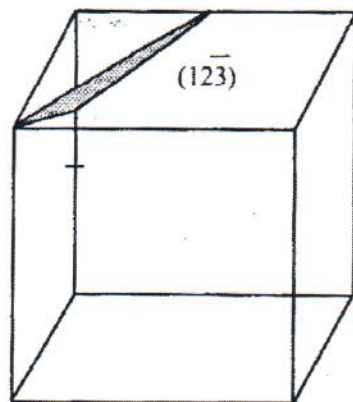


图 8-1 第三题解答图

